



OFICINA ESPAÑOLA DE PATENTES Y MARCAS

**ESPAÑA** 



11) Número de publicación: 2 648 967

51 Int. Cl.:

C12N 15/82 (2006.01) C07K 14/415 (2006.01) A01H 5/00 (2006.01)

(12)

## TRADUCCIÓN DE PATENTE EUROPEA

T3

(86) Fecha de presentación y número de la solicitud internacional: 12.03.2013 PCT/GB2013/050599

(87) Fecha y número de publicación internacional: 19.09.2013 WO13136057

(96) Fecha de presentación y número de la solicitud europea: 12.03.2013 E 13721003 (5)

(97) Fecha y número de publicación de la concesión europea: 18.10.2017 EP 2804949

(54) Título: Genes involucrados en la producción de noscapina

(30) Prioridad:

13.03.2012 GB 201204407

Fecha de publicación y mención en BOPI de la traducción de la patente: **09.01.2018** 

(73) Titular/es:

SUN PHARMACEUTICAL INDUSTRIES (AUSTRALIA) PTY LIMITED (100.0%) Level 4, 1 Acacia Place Notting Hill VIC 3168, AU

(72) Inventor/es:

WINZER, THILO; GRAHAM, IAN ALEXANDER y WALKER, TRACEY CAROL

74 Agente/Representante:

PONS ARIÑO, Ángel

### **DESCRIPCIÓN**

Genes involucrados en la producción de noscapina

#### 5 INTRODUCCIÓN

Esta descripción se refiere al aislamiento y secuencia de una molécula de ácido nucleico que incluye un grupo de genes que comprende 10 genes de una noscapina que produce el cultivar *Papaver somniferum* [adormidera]; células transgénicas transformadas con dicha molécula de ácido nucleico, variantes de secuencia de los genes; el uso de dichos genes/proteínas en la producción de alcaloides opiáceos; y el uso de genes como marcador de plantas de *P. somniferum* que sintetizan alcaloides opiáceos, noscapina en particular.

## Antecedentes de la divulgación

15 La noscapina pertenece a la subclase ftalidaisoquinolina de los alcaloides de isoquinolina estructuralmente diversos, mientras que la codeína, morfina, tebaína y oripavina pertenecen a la subclase morfinano. Si bien la biosíntesis de los morfinanos se ha dilucidado a nivel molecular, nuestro conocimiento de la biosíntesis de la noscapina no ha avanzado significativamente desde la demostración que usó el etiquetado de isótopos en la década de 1960, que se deriva de la escoulerina. Comprender la genética bioquímica que sustenta la biosíntesis de la noscapina debería permitir una producción mejorada de noscapina y moléculas relacionadas tanto en la adormidera como en otros sistemas de expresión.

P. somniferum es la planta de la que se extrae el opio. La amapola de opio es la única amapola comercialmente explotada de la familia Papaveraceae y es la principal fuente de opiáceos naturales. El opio se extrae del látex cosechado de las vainas de semillas verdes. Otra fuente de alcaloides opiáceos es la paja de adormidera que es la planta madura seca. P. somniferum es una fuente de alcaloides opiáceos clínicamente útiles como morfina, codeína, tebaína, noscapina [también conocida como narcotina] y papaverina. La aplicación clínica de estos alcaloides opiáceos y sus derivados es amplia y tiene uso como analgésicos, antitusígenos y antiespasmódicos. Aunque no se usa como un agente farmacológico en sí mismo, la tebaína es un opiáceo particularmente útil que se puede convertir en una gama de compuestos tales como hidrocodona, oxicodona, oximorfona, naltrefina, naltrexona, buprenorfina y etorfina. Estos productos intermedios también tienen amplias aplicaciones farmacéuticas. Por ejemplo, oxicodona, oximorfona y etorfina se utilizan ampliamente como analgésicos para el dolor moderado a intenso y, a menudo, se combinan con otros analgésicos como el ibuprofeno. La buprenorfina se usa en el tratamiento de la adicción a la heroína y el dolor crónico. Naltrexona se usa en el tratamiento del alcohol y la adicción a los opiáceos.

La presente descripción se refiere al análisis transcriptómico de *P. somniferum* que producen variedades de noscapina en comparación con cultivares de *P. somniferum* que no producen noscapina. El análisis ha revelado la manifestación exclusiva de un grupo de genes principalmente de citocromo P450 y metiltransferasa en una variedad de amapola que produce noscapina. Estos genes están sorprendentemente ausentes de los genomas de dos 40 variedades que no producen noscapina. El análisis de un mapeo de la población F2 indicó que los genes están estrechamente relacionados en la variedad de la noscapina y la secuenciación cromosómica artificial bacteriana confirmó que existen como un nuevo conjunto de genes para la biosíntesis de alcaloides opiáceos.

## Declaraciones de la invención

45

De acuerdo con un aspecto de la invención, se proporciona una molécula de ácido nucleico aislada que comprende un grupo de genes que codifica dos o más polipéptidos implicados en la biosíntesis de alcaloides opiáceos o intermedios, en donde uno de dichos dos genes comprende una secuencia de nucleótidos seleccionada del grupo que consiste en;

50

- i) una secuencia de nucleótidos como se expone en la SEQ ID NO: 9;
- ii) una secuencia de nucleótidos donde dicha secuencia está degenerada como resultado del código genético de la secuencia de nucleótidos definida en (i);
- iii) una molécula de ácido nucleico cuya cadena complementaria se hibrida en condiciones de hibridación rigurosas
   55 con la secuencia en la SEQ ID NO: 9 y que codifica un polipéptido que tiene actividad deshidrogenasa/reductasa de cadena corta: v
- iv) una secuencia de nucleótidos que codifica un polipéptido que comprende una secuencia de aminoácidos como se expone en la SEQ ID NO: 19 o una secuencia de nucleótidos que codifica un polipéptido que tiene una identidad de secuencia de aminoácidos del 46% a través de la secuencia de aminoácidos de longitud completa expuesta en la 60 SEQ ID NO: 19 donde dicho polipéptido tiene actividad deshidrogenasa/reductasa de cadena corta.

La hibridación de una molécula de ácido nucleico se produce cuando dos moléculas de ácido nucleico complementarias experimentan una cantidad de enlaces de hidrógeno entre sí. La rigurosidad de la hibridación puede variar de acuerdo con las condiciones ambientales que rodean a los ácidos nucleicos, la naturaleza del 5 método de hibridación y la composición y longitud de las moléculas de ácido nucleico utilizadas. Los cálculos con respecto a las condiciones de hibridación requeridas para alcanzar grados particulares de rigor se discuten en Sambrook y col., Molecular Cloning: A Laboratory Manual (Cold Spring Harbor Laboratory Press, Cold Spring Harbor, NY, 2001); and Tijssen, Laboratory Techniques in Biochemistry and Molecular Biology-Hybridization with Nucleic Acid Probes Part I, Chapter 2 (Elsevier, New York, 1993). La T<sub>m</sub> es la temperatura a la que el 50% de una 10 cadena dada de una molécula de ácido nucleico se hibrida con su cadena complementaria. Lo siguiente es un conjunto ejemplar de condiciones de hibridación y no es restrictivo:

## Rigor Muy Alto (permite secuencias para compartir al menos 90% de identidad para hibridar)

Hibridación:	5x SSC a 65 ° C durante 16 horas
Lavar dos veces:	2x SSC a temperatura ambiente (RT) durante 15 minutos cada uno
Lavar dos veces:	0.5x SSC a 65 ° C durante 20 minutos cada uno

### 15 Rigor Alto (permite secuencias para compartir al menos 80% de identidad para hibridar)

Hibridación:	5x-6x SSC a 65 ° C-70 ° C durante 16-20 horas
Lavar dos veces:	2x SSC a temperatura ambiente durante 5-20 minutos cada uno
Lavar dos veces:	1x SSC a 55 ° C-70 ° C durante 30 minutos cada uno

## Rigor Bajo (permite secuencias para compartir al menos 50% de identidad para hibridar)

Hibridación:	6x SSC a temperatura ambiente a 55 ° C durante 16-20 horas		
Lavar al menos dos	2x-3x SSC a temperatura ambiente a 55 ° C durante 20-30		
veces:	minutos cada uno		

20

En un aspecto o realización preferida de la invención, dicha molécula de ácido nucleico comprende o consiste en una secuencia de nucleótidos como la SEQ ID NO: 9 donde dicha molécula de ácido nucleico codifica un polipéptido con actividad deshidrogenasa/reductasa de cadena corta.

- 25 En una realización preferida de la invención, la molécula de ácido nucleico incluye además una o más secuencias de nucleótidos seleccionadas del grupo que consiste en:
  - i) una secuencia de nucleótidos representada por la secuencia en la SEQ ID NO: 1, 2, 3, 4, 5, 6, 7, 8 o 10;
- ii) una secuencia de nucleótidos donde dicha secuencia está degenerada como resultado del código genético de la 30 secuencia de nucleótidos definida en (i);
  - iii) una molécula de ácido nucleico cuya cadena complementaria se hibrida en condiciones de hibridación rigurosas con la secuencia en la SEQ ID NO: 1, 2, 3, 4, 5, 6, 7, 8 o 10 donde dicha molécula de ácido nucleico codifica polipéptidos implicados en la biosíntesis de alcaloides opiáceos de P. somniferum o intermedios en la biosíntesis de alcaloides opiáceos:
- 35 iv) una secuencia de nucleótidos que codifica un polipéptido que comprende una secuencia de aminoácidos como se representa en SEQ ID NO: 11, 12, 13, 14, 15, 16, 17, 18 o 20;
  - v) una secuencia de nucleótidos que codifica un polipéptido que comprende una secuencia de aminoácidos donde dicha secuencia de aminoácidos se modifica por supresión o sustitución de al menos un residuo de aminoácido como se representa en iv) anterior y que ha retenido o mejorado la actividad biosintética del alcaloide.

En una realización preferida de la invención, dicha molécula de ácido nucleico incluye la SEQ ID NO: 9 y además

incluye una o más secuencias de nucleótidos seleccionadas del grupo que consiste en: SEQ ID NO. 1, 2, 3, 4, 5, 6, 7, 8 o 10.

45 En una realización preferida de la invención, dicha molécula de ácido nucleico incluye secuencias de nucleótidos 3, 4, 5, 6, 7, 8, 9 o 10 seleccionadas del grupo que consiste en: SEQ ID NO. 1, 2, 3, 4, 5, 6, 7, 8, 9 o 10.

En una realización preferida de la invención, dicha molécula de ácido nucleico incluye cada una de las secuencias de nucleótidos como se representa en SEQ ID NO: 1, 2, 3, 4, 5, 6, 7, 8, 9 y 10.

De acuerdo con un aspecto adicional de la invención, se proporciona un polipéptido aislado seleccionado del grupo

### que consiste en:

- i) un polipéptido que comprende o que consiste en una secuencia de aminoácidos como se representa en SEQ ID NO: 19: o
- 5 ii) un polipéptido modificado que comprende o que consiste en una secuencia de aminoácidos modificada donde dicho polipéptido se modifica mediante eliminación o sustitución de al menos un resto de aminoácido de la secuencia presentada en la SEQ ID NO: 19 y que ha retenido o mejorado la actividad deshidrogenasa/reductasa de cadena corta
- 10 En una realización preferida de la invención, dicho polipéptido comprende o consiste en una secuencia de aminoácidos que es al menos un 46% idéntica a la secuencia de aminoácidos de longitud completa en la SEQ ID NO: 19 y que codifica un polipéptido con actividad deshidrogenasa/reductasa de cadena corta.
- Un polipéptido modificado como se describe aquí puede diferir en la secuencia de aminoácidos por una o más sustituciones, adiciones, eliminaciones, truncamientos que pueden estar presentes en cualquier combinación. Entre las variantes preferidas están aquellas que varían de un polipéptido de referencia por sustituciones de aminoácidos conservadoras. Tales sustituciones son aquellas que sustituyen un aminoácido dado por otro aminoácido de características similares. La siguiente lista no excluyente de aminoácidos se considera reemplazos conservadores (similares): a) alanina, serina y treonina; b) ácido glutámico y ácido aspártico; c) asparagina y glutamina d) arginina y 20 lisina; e) isoleucina, leucina, metionina y valina y f) fenilalanina, tirosina y triptófano. Las más preferidas son las variantes que retienen o potencian la misma función y actividad biológica que el polipéptido de referencia del que varía.
- En una realización, los polipéptidos variantes tienen al menos 46% a 50% de identidad, incluso más preferiblemente 25 al menos 55% de identidad, aún más preferiblemente al menos 60%, 65%, 70%, 75%, 80%, 85 %, 90%, 95% de identidad, y al menos 99% de identidad con la mayoría o la secuencia de aminoácidos de longitud completa ilustrado aquí.
- De acuerdo con un aspecto adicional de la invención, se proporciona un vector que comprende una molécula de 30 ácido nucleico de acuerdo con la invención.
- Preferiblemente, la molécula de ácido nucleico en el vector está bajo el control de, y operativamente unida a, un promotor apropiado u otros elementos reguladores para la transcripción en una célula huésped tal como una célula microbiana (por ejemplo, bacteriana, de levadura) o vegetal. El vector puede ser un vector de expresión bifuncional que funciona en múltiples hosts. En el caso del ADN genómico, este puede contener su propio promotor u otros elementos reguladores y, en el caso del ADNc, puede estar bajo el control de un promotor apropiado u otros elementos reguladores para la expresión en la célula huesped.
- Por "promotor" se entiende una secuencia de nucleótidos ascendente del sitio de iniciación de la transcripción y que 40 contiene todas las regiones reguladoras requeridas para la transcripción. Los promotores adecuados incluyen promotores constitutivos, específicos de tejido, inducibles, de desarrollo u otros promotores para la expresión en células vegetales comprendidas en plantas que dependen del diseño. Tales promotores incluyen promotores virales, fúngicos, bacterianos, animales y derivados de plantas capaces de funcionar en células vegetales.
- 45 Los promotores constitutivos incluyen, por ejemplo, el promotor CaMV 35S (Odell y col. (1985) Nature 313, 9810 812); actina de arroz (McElroy y col. (1990) Células vegetales 2: 163-171); ubiquitina(Christian y col. (1989) Plant Mol. Biol. 18:675-689; pEMU Last y col. (1991) Theor Appl. Genet. 81: 581-588); MAS (Velten y col. (1984) EMBO J. 3. 2723-2730); ALS promoter (U.S. Application Seriel No. 08/409,297), y similares. Otros promotores constitutivos incluyen los de las patentes de EE. UU. Números de Patentes 5,608,149; 5,608,144; 5,604,121; 5,569,597; 50 5,466,785; 5,399,680, 5,268,463; y 5,608,142, cada uno de los cuales se incorpora por referencia.
- Los promotores regulados químicamente se pueden usar para modular la expresión de un gen en una planta mediante la aplicación de un regulador químico exógeno. Dependiendo del objetivo, el promotor puede ser un promotor inducible por productos químicos, donde la aplicación de la expresión génica inducida por productos químicos, o un promotor reprimible químico, donde la aplicación del químico reprime la expresión génica. Los promotores inducibles por productos químicos son conocidos en la técnica e incluyen, pero no se limitan a, el promotor ln2-2 de maíz, que se activa mediante herbicidas benzenesulfonamida, el promotor GST de maíz, que se activa mediante compuestos electrofílicos hidrófobos que se usan como pre-herbicidas de emergencia, y el promotor de tabaco PR-1a, que se activa con ácido salicílico. Otros promotores regulados químicamente de interés incluyen promotores que responden a esteroides (véase, por ejemplo, el promotor inducible por glucocorticoides en Schena y

col. (1991) Proc. Natl. Acad. Sci. USA 88: 10421-10425 y McNellis y col. (1998) Plant J. 14(2): 247-257) y promotores inducibles por tetraciclina y represores de tetraciclina (ver, por ejemplo,Gatz y col. (1991) Mol. Gen. Genet. 227: 229-237, y Números de Patentes de EE.UU 5,814,618 y 5,789,156, incorporado aquí como referencia.

- 5 Cuando se desea una expresión mejorada en tejidos particulares, pueden utilizarse promotores específicos de tejido. Los promotores específicos de tejido incluyen los descritos por Yamamoto y col. (1997) Plant J. 12(2): 255-265; Kawamata y col. (1997) Plant Cell Physiol. 38(7): 792-803; Hansen y col. (1997) Mol. Gen. Genet. 254(3): 337-343; Russell y col. (1997) Transgenic Res. 6(2): 157-168; Rinehart y col. (1996) Plant Physiol. 112(3): 1331-1341; Van Camp y col. (1996) Plant Physiol. 112(2): 525-535; Canevascni y col. (1996) Plant Physiol. 112(2): 513-524; 10 Yamamoto y col. (1994) Plant Cell Physiol. 35(5): 773-778; Lam (1994) Results Probl. Cell Differ. 20: 181-196; Orozco y col. (1993) Plant Mol. Biol. 23(6): 1129-1138; Mutsuoka y col. (1993) Proc. Natl. Acad. Sci. USA 90: 9586-9590; y Guevara-Garcia y col (1993) Plant J. 4(3): 495-50.
- "Unido operativamente" significa unido como parte de la misma molécula de ácido nucleico, adecuadamente 15 posicionada y orientada para que se inicie la transcripción a partir del promotor. El ADN operativamente unido a un promotor está "bajo la regulación de iniciación transcripcional" del promotor. En un aspecto preferido, el promotor es un promotor específico de tejido, un promotor inducible o un promotor regulado en el desarrollo.
- Particularmente interesante en el presente contexto son constructos de ácidos nucleicos que funcionan como vectores de plantas. Los procedimientos y vectores específicos usados previamente con gran éxito en las plantas los describe Guerineau y Mullineaux (1993) (Transformación de plantas y vectores de expresión. En: Plant Molecular Biology Labfax (Croy RRD ed) Oxford, BIOS Scientific Publishers, páginas 121-148. Los vectores adecuados pueden incluir vectores derivados de plantas víricas (véase por ejemplo EP194809). Si se desea, pueden incluirse marcadores genéticos seleccionables en la construcción, tales como aquellos que confieren fenotipos seleccionables tales como resistencia a herbicidas (por ejemplo, kanamicina, higromicina, fosfinotricina, clorsulfurón, metotrexato, gentamicina, espectinomicina, imidazolinonas y glifosato).

En una realización preferida de la invención, dicho vector es un cromosoma artificial bacteriano [BACS].

30 De acuerdo con un aspecto adicional de la invención, se proporciona una célula transgénica transformada o transfectada con una molécula o vector de ácido nucleico de acuerdo con la invención.

En una realización preferida de la invención, dicha célula es una célula vegetal.

35 En una realización preferida de la invención, dicha célula vegetal es del género Papaver.

En una realización preferida de la invención, dicha célula vegetal es una célula Papaver somniferum.

De acuerdo con un aspecto adicional de la presente invención, se proporciona una planta que comprende una célula 40 vegetal de acuerdo con la invención.

En una realización preferida de la invención, dicha planta es del género *Papaver*, preferiblemente *Papaver* somniferum.

45 En una realización alternativa preferida de la invención, dicha célula es una célula microbiana; preferiblemente una célula bacteriana o fúngica [por ejemplo levadura, *Saccharomyces cerevisae*].

En una realización preferida de la invención, dicha célula está adaptada de manera que la molécula de ácido nucleico que codifica uno o más polipéptidos de acuerdo con la invención se sobreexpresa cuando se compara con 50 una célula no transgénica de la misma especie.

De acuerdo con un aspecto adicional de la invención, se proporciona una molécula de ácido nucleico que comprende un casete de transcripción donde dicho casete incluye una secuencia de nucleótidos diseñada con referencia a una secuencia de nucleótidos seleccionada del grupo: SEQ ID NO. 9, y está adaptada para la expresión mediante la provisión de al menos un promotor ligado operativamente a dicha secuencia de nucleótidos de manera que las moléculas sentido y antisentido se transcriban a partir de dicho casete.

En una realización preferida de la invención, dicho casete está adaptado de modo que las moléculas de ácido ribonucleico sentido y antisentido se transcriban a partir de dicho casete, donde dichas moléculas de ácido nucleico 60 sentido y antisentido están adaptadas para recocer al menos una parte o la totalidad de su longitud para formar un

ARN inhibidor o ARN de horquilla corta.

En una realización preferida de la invención, dicho casete está provisto de al menos dos promotores adaptados para transcribir cadenas sentido y antisentido de dicha molécula de ácido ribonucleico.

En una realización preferida alternativa de la invención, dicho casete comprende una molécula de ácido nucleico donde dicha molécula comprende una primera parte unida a una segunda parte donde dichas primera y segunda partes son complementarias de al menos parte de su secuencia y en donde una transcripción adicional de dicho ácido nucleico la molécula produce una molécula de ácido ribonucleico que forma una región bicatenaria por apareamiento de bases complementarias de dichas primera y segunda partes, formando así un ARN de horquilla corta.

Una técnica para eliminar específicamente la función del gen es mediante la introducción de ARN bicatenario, también denominado ARN inhibidor / interferente (siARN) pequeño o ARN de horquilla corta [ARNhc], en una célula que da como resultado la destrucción del ARNm complementario a la secuencia incluida en la molécula de siARN/ARNhc. La molécula de siARN comprende dos cadenas complementarias de ARN (una cadena sentido y una cadena antisentido) unidas entre sí para formar una molécula de ARN de doble cadena. La molécula de siARN normalmente se deriva de los exones del gen que se debe extirpar. El mecanismo de la interferencia de ARN está siendo dilucidado. Muchos organismos responden a la presencia de ARN bicatenario activando una cascada que conduce a la formación de siARN. La presencia de ARN bicatenario activa un complejo de proteína que comprende RNasa III que procesa el ARN bicatenario en fragmentos más pequeños (siARNs, aproximadamente de 21-29 nucleótidos de longitud) que se convierten en parte de un complejo de ribonucleoproteína. El siARN actúa como una guía para el complejo RNasa para escindir ARNm complementario a la cadena antisentido del siARN dando como resultado la destrucción del ARNm.

En una realización preferida de la invención, dicha molécula de ácido nucleico es parte de un vector adaptado para la expresión en una célula vegetal.

De acuerdo con un aspecto adicional de la invención, se proporciona una célula vegetal transfectada con una 30 molécula o vector de ácido nucleico según la invención donde dicha célula tiene expresión reducida de un polipéptido de acuerdo con la invención.

De acuerdo con un aspecto de la invención, se proporciona un proceso para la modificación de uno o más alcaloides opiáceos que comprende:

35

- i) proporcionar una célula vegetal transgénica de acuerdo con la invención;
- ii) cultivar dicha célula vegetal para producir una planta transgénica; y opcionalmente
- i) cosechar dicha planta transgénica, o parte de la misma.
- 40 En un método preferido de la invención, dicho material vegetal cosechado se seca y se extrae el alcaloide opiáceo.

De acuerdo con un aspecto alternativo de la invención, se proporciona un proceso para la modificación de uno o más alcaloides opiáceos o metabolitos intermedios de alcaloides opiáceos que comprende:

- 45 i) proporcionar una célula microbiana transgénica de acuerdo con la invención que expresa una o más moléculas de ácido nucleico según la invención en cultivo con al menos un alcaloide opiáceo o un metabolito intermedio de alcaloide opiáceo;
  - ii) cultivar la célula microbiana en condiciones que modifican uno o más alcaloides opiáceos o alcaloides opiáceos intermedios; y opcionalmente
- 50 iii) aislar dicho alcaloide opiáceo o intermedio alcaloide opiáceo de la célula microbiana o cultivo celular.

En un método preferido de la invención, dicha célula microbiana es una célula bacteriana o célula fúngica / de levadura.

55 Si se usan células microbianas como organismos en el proceso de acuerdo con la invención, se cultivan o se cultivan de la manera en que el experto en la materia está familiarizado, dependiendo del organismo anfitrión. Como regla general, los microorganismos se cultivan en un medio líquido que comprende una fuente de carbono, generalmente en forma de azúcares, una fuente de nitrógeno, generalmente en forma de fuentes de nitrógeno orgánico como extracto de levadura o sales como sulfato de amonio, oligoelementos como sales de hierro, 60 manganeso y magnesio y, en su caso, vitaminas, a temperaturas de entre 0 ° C y 100 ° C, preferiblemente entre 10 °

C y 60 ° C, mientras gasean en oxígeno.

35

45

El pH del medio líquido puede mantenerse constante, es decir, regularse durante el período de cultivo, o no. Los cultivos se pueden cultivar de forma discontinua, semidiscontinua o continua. Los nutrientes pueden proporcionarse al comienzo de la fermentación o alimentarse en forma semicontinua o continua. Los alcaloides opiáceos metilados producidos se pueden aislar de los organismos como se describió anteriormente mediante procesos conocidos por los expertos en la técnica, por ejemplo mediante extracción, destilación, cristalización, si es apropiado, precipitación con sal, y / o cromatografía. Con este fin, los organismos pueden ser interrumpidos ventajosamente de antemano. En este proceso, el valor del pH se mantiene ventajosamente entre pH 4 y 12, preferiblemente entre pH 6 y 9, 10 especialmente preferiblemente entre pH 7 y 8.

El medio de cultivo que se utilizará debe cumplir adecuadamente los requisitos de las cepas en cuestión.Las descripciones de los medios de cultivo para diversos microorganismos se pueden encontrar en el libro de texto "Manual of Methods for General Bacteriology" de la American Society for Bacteriology (Washington D.C., USA, 1981).

Como se describió anteriormente, estos medios que se pueden emplear de acuerdo con la invención normalmente comprenden una o más fuentes de carbono, fuentes de nitrógeno, sales inorgánicas, vitaminas y / u oligoelementos.

20 Las fuentes de carbono preferidas son azúcares, tales como mono-, di- o polisacáridos. Ejemplos de fuentes de carbono son glucosa, fructosa, manosa, galactosa, ribosa, sorbosa, ribulosa, lactosa, maltosa, sacarosa, rafinosa, almidón o celulosa. Los azúcares también se pueden agregar a los medios a través de compuestos complejos como la melaza u otros subproductos de la refinación de azúcar. La adición de mezclas de una variedad de fuentes de carbono también puede ser ventajosa. Otras posibles fuentes de carbono son aceites y grasas como, por ejemplo, aceite de soja, aceite de girasol, aceite de cacahuete y / o grasa de coco, ácidos grasos como, por ejemplo, ácido palmítico, ácido esteárico y / o ácido linoleico, alcoholes y / o polialcoholes tales como, por ejemplo, glicerol, metanol y / o etanol, y / o ácidos orgánicos tales como, por ejemplo, ácido acético y / o ácido láctico.

Las fuentes de nitrógeno son habitualmente compuestos de nitrógeno orgánicos o inorgánicos o materiales que 30 comprenden estos compuestos. Ejemplos de fuentes de nitrógeno comprenden amoníaco en forma líquida o gaseosa o sales de amonio como sulfato de amonio, cloruro de amonio, fosfato de amonio, carbonato de amonio o nitrato de amonio, nitratos, urea, aminoácidos o fuentes complejas de nitrógeno como licor de maíz, harina de soja, soja proteína, extracto de levadura, extracto de carne y otros. Las fuentes de nitrógeno se pueden usar individualmente o como una mezcla.

Los compuestos de sales inorgánicas que pueden estar presentes en los medios comprenden las sales de cloruro, fósforo y sulfato de calcio, magnesio, sodio, cobalto, molibdeno, potasio, manganeso, zinc, cobre y hierro.

Los compuestos que contienen azufre inorgánico tales como, por ejemplo, sulfatos, sulfitos, ditionitos, tetrationatos, 40 tiosulfatos, sulfuros, o compuestos de azufre orgánicos tales como mercaptanos y tioles pueden usarse como fuentes de azufre para la producción de azufre que contiene productos químicos finos, en particular de metionina.

Se pueden usar ácido fosfórico, dihidrogenofosfato de potasio o hidrogenofosfato dipotásico o las correspondientes sales que contienen sodio como fuentes de fósforo.

Se pueden añadir agentes quelantes al medio para mantener los iones metálicos en solución. Los agentes quelantes particularmente adecuados comprenden dihidroxifenoles tales como catecol o protocatechuate y ácidos orgánicos tales como ácido cítrico.

50 Los medios de fermentación usados según la invención para cultivar microorganismos generalmente también comprenden otros factores de crecimiento tales como vitaminas o promotores del crecimiento, que incluyen, por ejemplo, biotina, riboflavina, tiamina, ácido fólico, ácido nicotínico, pantotenato y piridoxina. Los factores de crecimiento y las sales se derivan a menudo de componentes de medios complejos tales como extracto de levadura, melazas, licor de salsa de maíz y similares. Además, es posible agregar precursores adecuados al medio de cultivo.55 La composición exacta de los compuestos de los medios depende en gran medida del experimento particular y se decide individualmente para cada caso específico. La información sobre la optimización de los medios se puede encontrar en el libro de texto"Applied Microbiol. Physiology, A Practical Approach" (Editors P.M. Rhodes, P.F. Stanbury, IRL Press (1997) páginas 53-73, ISBN 0 19 963577 3). Los medios de crecimiento también pueden obtenerse de proveedores comerciales, por ejemplo, Standard 1 (Merck) o BHI (infusión de cerebro y corazón, 60 DIFCO) y similares.

Todos los componentes del medio se esterilizan, ya sea por calor (20 min a 1,5 bar y 121 ° C) o por esterilización por filtración. Los componentes se pueden esterilizar juntos o, si es necesario, por separado. Todos los componentes del medio pueden estar presentes al comienzo del cultivo o pueden agregarse de forma continua o por lotes, según se 5 desee.

La temperatura de cultivo está normalmente entre 15°C y 45°C, preferiblemente entre 25°C y 40°C, y puede mantenerse constante o puede alterarse durante el experimento. El pH del medio debe estar en el rango de 5 a 8.5, preferiblemente alrededor de 7.0. El pH para el cultivo puede controlarse durante el cultivo mediante la adición de compuestos básicos como hidróxido de sodio, hidróxido de potasio, amoníaco y amoníaco acuoso o compuestos ácidos como ácido fosfórico o ácido sulfúrico. La formación de espuma puede controlarse empleando antiespumantes tales como, por ejemplo, ésteres de poliglicol de ácido graso. Para mantener la estabilidad de los plásmidos, es posible añadir al medio sustancias adecuadas que tengan un efecto selectivo, por ejemplo, antibióticos. Las condiciones aeróbicas se mantienen introduciendo oxígeno o mezclas de gases que contienen oxígeno tales como, por ejemplo, aire ambiente en el cultivo. La temperatura del cultivo es normalmente de 20°C a 45°C y preferiblemente de 25°C a 40°C. El cultivo continúa hasta que la formación del producto deseado es máxima. Este objetivo normalmente se logra dentro de 10 a 160 horas.

El caldo de fermentación puede procesarse posteriormente. La biomasa puede, según los requisitos, eliminarse total 20 o parcialmente del caldo de fermentación por métodos de separación tales como, por ejemplo, centrifugación, filtración, decantación o una combinación de estos métodos o dejarse completamente en dicho caldo. Es ventajoso procesar la biomasa después de su separación.

Sin embargo, el caldo de fermentación también puede espesarse o concentrarse sin separar las células, usando 25 métodos conocidos tales como, por ejemplo, con la ayuda de un evaporador rotativo, un evaporador de película delgada, un evaporador de película descendente, mediante ósmosis inversa o por nanofiltración. Finalmente, este caldo de fermentación concentrado se puede procesar para obtener los alcaloides opiáceos presentes en el mismo.

De acuerdo con un aspecto adicional de la invención, se proporciona el uso de un gen codificado por una molécula 30 de ácido nucleico representada por la secuencia de ácido nucleico en la SEQ ID NO: 9, o una molécula de ácido nucleico que se hibrida en condiciones de hibridación rigurosas con la secuencia de nucleótidos en la SEQ ID NO: 9 y codifica un polipéptido con actividad biosintética de alcaloides opiáceos como un medio para identificar un locus donde dicho locus está asociado con la expresión o actividad alterada de dicha actividad biosintética del alcaloide opiáceo.

La mutagénesis como un medio para inducir cambios fenotípicos en organismos es bien conocida en la técnica e incluye, pero no se limita a, el uso de agentes mutagénicos tales como mutágenos químicos [por ejemplo. análogos de bases, agentes desaminantes, agentes de intercalación de ADN, agentes alquilantes, transposones, bromo, azida sódica] y mutágenos físicos [ por ejemplo radiación ionizante, exposición al psoraleno combinada con irradiación 40 UV].

De acuerdo con un aspecto adicional de la invención, se proporciona una planta de *P. somniferum* que tiene una expresión alterada de un polipéptido de deshidrogenasa/reductasa de cadena corta de acuerdo con la invención que comprende las etapas de:

- i) mutagénesis de semillas de tipo silvestre de una planta de *P. somniferum* que expresa dicho polipéptido de deshidrogenasa/reductasa de cadena corta;
- ii) cultivo de la semilla en i) para producir las primeras y posteriores generaciones de plantas;

35

45

55

- iii) obtener semilla de la planta de la primera generación y las siguientes generaciones de plantas; y
- 50 iv) determinar si la semilla de dicha primera y siguientes generaciones de plantas tiene una secuencia de nucleótidos alterada y / o una expresión alterada de dicho polipéptido de deshidrogenasa/reductasa de cadena corta.

De acuerdo con un aspecto adicional de la invención, se proporciona un método para el análisis de una planta que comprende los pasos:

- i) obtener una muestra y analizar la secuencia de ácido nucleico de una molécula de ácido nucleico seleccionada del grupo que consiste en:
- a) una molécula de ácido nucleico que comprende una secuencia de nucleótidos como se representa en 9;
- 60 b) una molécula de ácido nucleico que se hibrida con la molécula de ácido nucleico en a) bajo condiciones de

hibridación rigurosas y que codifica un polipéptido con actividad biosintética sintasa de opiáceo; y opcionalmente c) c) comparar la secuencia de nucleótidos de la molécula de ácido nucleico en dicha muestra con una secuencia de nucleótidos de una molécula de ácido nucleico de la planta original de tipo salvaje y donde la molécula de ácido nucleico se analiza mediante un método que comprende los pasos

5

- ii) extraer ácido nucleico de dichas plantas mutadas;
- iii) amplificación de una parte de dicha molécula de ácido nucleico mediante una reacción en cadena de la polimerasa;
- iv) formar una preparación que comprende el ácido nucleico amplificado y el ácido nucleico extraído de la semilla de 10 tipo silvestre para formar ácido nucleico heterodúplex;
  - v) incubar dicha preparación con una nucleasa monocatenaria que corta en una región de ácido nucleico heterodúplex para identificar la falta de coincidencia en dicho heterodúplex; y
  - vi) determinar el sitio del desapareamiento en dicho heterodúplex de ácido nucleico.
- 15 En un método preferido de la invención, dicha planta de *P. somniferum* tiene actividad biosintética mejorada de alcaloides opiáceos.

En un método alternativo preferido de la invención, dicha planta de *P. somniferum* ha reducido o anulado la actividad biosintética del alcaloide opiáceo.

20

- De acuerdo con un aspecto de la invención, se proporciona una planta de *P. somniferum* donde dicha planta comprende un vector viral que incluye todo o parte de un gen que comprende una molécula de ácido nucleico de acuerdo con la invención.
- 25 En una realización preferida de la invención, dicho gen o parte está codificado por una molécula de ácido nucleico que comprende una secuencia de ácido nucleico seleccionada del grupo que consiste en:
  - i) una molécula de ácido nucleico que comprende una secuencia de nucleótidos como se representa en 9;
- ii) una molécula de ácido nucleico que comprende una secuencia de nucleótidos que se hibrida en condiciones de 30 hibridación rigurosas con una molécula de ácido nucleico en (i) y que codifica una actividad biosintética de alcaloide opiáceo polipeptídico.

En una realización preferida de la invención, dicha molécula de ácido nucleico comprende o consiste en una secuencia de nucleótidos como se representa en la SEQ ID NO: 28.

35

De acuerdo con un aspecto adicional de la invención, se proporciona un vector viral que comprende la totalidad o parte de una molécula de ácido nucleico de acuerdo con la invención.

De acuerdo con un aspecto de la invención, se proporciona el uso de un vector viral de acuerdo con la invención en 40 el silenciamiento génico inducido viral en una planta de *P. somniferum*.

El silenciamiento génico inducido por virus [VIGS] es conocido en la técnica y explota un mecanismo de defensa antiviral mediado por ARN. Las plantas que están infectadas con un virus no modificado inducen un mecanismo que se dirige específicamente al genoma viral. Sin embargo, los vectores virales que se modifican genéticamente para incluir moléculas de ácido nucleico derivadas de genes de plantas hospedadoras también inducen la inhibición específica de la expresión del vector viral y adicionalmente el ARNm del huésped objetivo. Esto permite silenciar genes genéticamente específicos sin modificación genética del genoma de la planta y es esencialmente una modificación no transgénica.

50 A lo largo de la descripción y las reivindicaciones de esta memoria descriptiva, las palabras "comprender" y "contener" y variaciones de las palabras, por ejemplo "que comprende" y "comprende", significan "que incluyen pero no se limitan a", y no están destinadas (y no) excluye otros restos, aditivos, componentes, enteros o pasos. "Consistente esencialmente" significa tener los enteros esenciales, pero incluyendo enteros que no afectan materialmente a la función de los enteros esenciales.

55

A lo largo de la descripción y las reivindicaciones de esta memoria descriptiva, el singular abarca el plural a menos que el contexto requiera lo contrario.

En particular, cuando se usa el artículo indefinido, debe entenderse que la especificación contempla tanto la 60 pluralidad como la singularidad, a menos que el contexto requiera lo contrario.

Las características, enteros, particularidades, compuestos, restos químicos o grupos descritos junto con un aspecto particular, realización o ejemplo de la invención deben entenderse aplicables a cualquier otro aspecto, realización o ejemplo descrito en la presente, a menos que sea incompatible con los mismos.

Una realización de la invención se describirá ahora solo a modo de ejemplo y con referencia a las siguientes figuras: Figura 1: Identificación de genes exclusivamente presentes en el genoma de una noscapina que produce variedad de amapola, HN1 (alta Noscapina 1). (A) Abundancia relativa de los principales alcaloides extraídos de las cápsulas de tres variedades comerciales de amapola, HM1 (Morfina alta 1), HT1 (alta tebaína 1) y HN1. M = morfina, C = 10 codeína, T = tebaína, O = oripavina y N = noscapina. (B) Se generaron bibliotecas EST procedentes de tallo y cápsula mediante pirosecuenciación y secuencias contiguas únicas ensambladas como se describe en el material y los métodos. Diez genes (*PSMT1*, *PSMT2*, *PSMT3*, *CYP82X1*, *CYP82X2*, *CYP82Y1*, *CYP719A21*, *PSAT1*, *PSSDR1* y *PSCXE1*) tal como se definen en el texto, se representaron solo en bibliotecas EST de la variedad HN1. La abundancia de EST de otros cinco genes de *P. somniferum* funcionalmente caracterizados (BBE, TNMT, SaIR, SaIAT y T6DM) muestra que se expresan en las tres variedades y en niveles consistentemente más altos en el tallo en comparación con la cápsula, como también es el caso los genes específicos HN1 como se muestra en el código de color (Fig 1). La PCR en el ADN genómico de las tres variedades reveló que los diez genes específicos de HN1 están ausentes de los genomas de las variedades HM1 y HT1 (Fig. 5):

Figura 2: El análisis de segregación del contenido de noscapina en un mapeo de la población F2 demuestra el requerimiento para el grupo de genes de noscapina. (A) Representación del diagrama de caja de los niveles de noscapina como porcentaje de peso seco (DW) en líneas parentales cultivadas en invernadero HN1 y HM1 y la generación F1. (B) El campo de cultivo de generación F2 se segregó en tres clases de noscapina cero, baja y alta. F2 GC- y F2 GC + indican la ausencia y presencia respectivamente del grupo de genes de noscapina.Los números entre paréntesis indican el número de individuos en cada clase;

25 Figura 3: El conjunto de genes HN1. La estructura y posición de los diez genes específicos de HN1 expresados en los tallos y los tejidos de las cápsulas se muestran por encima de la línea negra central que representa 401 Kb de secuencia genómica. Los exones están representados por cuadros grises llenos e intrones por finas líneas negras. Las flechas indican la orientación de 5' a 3' de cada gen. Marcos de lectura abiertos adicionales representados debajo de la línea negra central son los definidos por la clave. Ninguno de estos ORF está representado en las 30 bibliotecas EST de tallo y cápsula;

Figura 4: Caracterización funcional usando silenciamiento génico inducido por virus de 6 genes del grupo de genes HN1. Los resultados del látex de hoja y las cápsulas son consistentes con cada uno de estos genes que codifican enzimas implicadas en la biosíntesis de noscapina (A-F). Todos los compuestos que se acumulan, aparte de la escoulerina, han sido supuestamente identificados sobre la base de los espectros de masas como se detalla en la Fig. 6 El valor (M) de la masa a la carga (m / z) soquido del tiempo de retepción (T) en segundos so muestra para

35 Fig. 6 El valor (M) de la masa a la carga (m / z) seguido del tiempo de retención (T) en segundos se muestra para cada compuesto en el eje horizontal. (G) Ruta propuesta para la biosíntesis de la noscapina basada en datos VIGS. Las flechas sólidas muestran los pasos respaldados por los datos VIGS, las flechas punteadas representan pasos adicionales propuestos. Para los intermedios de secoberbina, R1 = H u OH, R2 = H u OH y R3 = CH2OH o CHO o COOH (Fig. 6). La estructura de la noscapina está numerada de acuerdo con la convención IUPAC;

40 Figura 5: Los diez genes expresados exclusivamente en la variedad HN1 se encuentran en el genoma de HN1, pero están ausentes de las variedades HT1 y HM1. (A) Amplificación de fragmentos de los diez genes expresados exclusivamente en HN1 usando dos pares de cebadores diferentes. (B) Amplificación de fragmentos de genes de las vías de la rama de protoberberina y morfinano que se expresan en las tres variedades. Los cebadores usados se detallan en la Tabla 3; HyperLadder I (Bioline Reagents, London, UK) se usó como patrón de tamaño molecular;

Figura 6. Evidencia de identidades putativas de productos intermedios de experimentos VIGS. Todos los paneles muestran los espectros de masas del ion parental pseudomolecular en el ápice del pico cromatográfico en negro y los espectros de fragmentación de MS2 correspondientes en rojo, a escala de abundancia relativa. Los espectros de MS2 se generaron dirigiendo el ión precursor con un ancho de aislamiento de 3 m / z y usando energía de disociación de aislamiento colisionado ajustada al 35%. Todos los espectros de masas se obtuvieron con una resolución de 7500. El texto impreso encima de los iones de diagnóstico seleccionados indica la masa monoisotópica exacta del ion, la fórmula calculada dentro de los límites C =1:100, O = 0:200, N =0:3 y H =1:200, y el número / número total de fórmulas devueltas dentro de una ventana de error de 5 ppm. Los fragmentos se reconciliaron con los fragmentos teóricos generados por la presentación de estructuras padre candidatas al software Mass Frontier (versión 5.01.2; HighChem, Bratislava, Eslovaquia). Las estructuras de los padres candidatos se derivaron de las búsquedas de PubChem y de la revisión exhaustiva de Papaver spp. alcaloides (Sariyar (2002) Pure Appl. Chem. 74, 557-574). (A) Tetrahidrocolumbamina; este compuesto se caracterizó a partir de un pico de elución a 174s de CYP719A21 silenciado con VIGS. Ocho de cada diez fragmentos de MS2 observados se calcularon como factibles por Mass Frontier; solo se muestran los dos fragmentos de diagnóstico más abundantes.

(B) intermedio de Secoberbine 1 (C21H25NO6); este compuesto se caracterizó a partir de un pico que eluía a 147s 60 de CYP82X2 silenciado por VIGS. Si R1=OH, R2=H, y R3=CH2OH, entonces este compuesto es narcotolinol que es

consistente con ambos fragmentos anotados. Otro ajuste de la fórmula candidata sería el narcotindiol desmetoxilado (R1=H, R2=OH, R3=CH2OH); sin embargo, esta estructura no formaría el fragmento observado en 206.0816.(C) Secoberbina intermedio 2 (C21H23NO6); este compuesto se caracterizó a partir de un pico que eluía a 103s de CYP82X2 silenciado con VIGS. Si R1 = OH, R2 = H, y R3 = CHO, entonces este compuesto sería un derivado desmetilado de macrantaldehído. (D) Papaveroxina; este compuesto se caracterizó a partir de un pico de elución a 214s de PSCXE1 silenciado con VIGS. El fragmento 398.1600 observado es consistente con la desacetilación. (E) Narcotinehemiacetal; este compuesto se caracterizó a partir de un pico de elución a 121s de PSSDR1 silenciado con VIGS. (F) Narcotolina (4'-desmetilnoscapina); este compuesto se caracterizó a partir de un pico de elución a 208s de PSMT2 silenciado con VIGS. Otras posibilidades isobáricas fueron 6- o 7-desmetilnoscapina. Sin embargo, el fragmento 206.0816 observado es consistente con una posición 4' hidroxilada. Se podrían descontar estructuras alternativas comparando los espectros de fragmentación candidatos con los de la 7-desmetilnoscapina sintética, que se eluye en un tiempo de retención diferente y carecía del fragmento característico 206.0816;

La Tabla 1 ilustra el % de identidad de CYP82Y1, PSCXE1, PSDFR1 y PSAT1 (SEQ ID 17-20) con sus respectivos homólogos caracterizados funcionalmente más próximos. Los números de acceso proporcionados provienen de las bases de datos GenBank, Swiss-Prot o PDB;

Tabla 2: Genotipificación de familias F3 derivadas de dos clases fenotípicas F2: noscapina baja y noscapina alta . Las relaciones de segregación observadas versus esperadas respaldan fuertemente la hipótesis de que los 20 individuos en la clase baja F2 de la noscapina son heterocigotos para el grupo de genes HN1 y los individuos en la clase alta de la noscapina son homocigóticos;

Tabla 3: Secuencias de cebadores e información asociada.

25 **Tabla 1** 

Proteína	% De	Número de	Anotación
	identidad	acceso	
CYP82Y1	54		CYP82X1 de Papaver somniferum
	48		CYP82X2 de Papaver somniferum
	39	ABM46919.1	CYP82E3, nicotina desmetilasa de
			Nicotiana tomentosiformis
PSCXE1	45	207R_A	AeCXE1, Carboxyl esterase de Actinidia
			eriantha
PSSDR1	46	AAB41550.1	Vestitone reductasa de Medicago sativa
	45	ABQ97018.1	Dihidroflavonol 4-reductasa de Saussurea
			medusa
PSAT1	66	Q94FT4.1	Salutaridinol 7-0-acetiltransferasa de
			Papaver somniferum

## Tabla 2

La clase de noscapina y el genotipo resultado de individuo F2	Familia de semillas F3 (obtenida por autopolinización de individuos F2)	Número de individuos F3 genotipificados	_	/ada upo de en la	Segreg esperae F3 si la de nos baja I heterod y la cla noscap alta homoci	da en clase capina F2 es cigota ase de cina es	Chi-cuadr	ado
			GC+	GC-	GC+	GC-	X-	valor
							cuadrado	de p
noscapina <b>baja</b> /GC+	S-111809	28	18	10	21	7	1,714	0,190
noscapinabaja/GC+	S-111835	26	18	8	19,5	6,5	0,462	0,497
noscapinaalta/GC-	S-111714	28	28		28			
noscapinaalta/GC-	S-111854	54	54		54			

Tabla 3

	Secuencias de cebadores (5'-to 3'-)			
Gen□	Directa □	Inversa	Nota:	Aplicaci ón
PSMT1	GATTCCCGATTTACTCCTGATG	AACACAAAATACGATTACTTA CTTTTGTCC	par cebador 1	
PSMT1	TGCCTCATGTTATTTCTGTTGCC	GCATGAAATGGATGTAGTTAT CTTGG	par cebador 2	
PSMT2	ATTGATGTCGGTGGTGGTCACG	ATTCCCGTTCAAGTAAACATG CGG	par cebador 1	
PSMT2	GCAACTGTTTCATTAACAGGCACA TCC	CAGTAAATTCACACATTCCGT ATCTTCCC	par cebador 2	
PSMT3	GCTTCAGCATTGGTTAACGAGTG C	GAGGGTAAGCCTCAATAACA GACTGG	par cebador 1	
PSMT3	AGACCGTTTGTACCGAATTCTGC	TCGTTCCATTCGTGAAGAATG C	par cebador 2	
CYP82 X1	GAACCATTAAACACTTGAGTCATG C	TGCAATTGAATTTAGCTCATC TCC	par cebador 1	
CYP82 X1	TTGATGAACGACAAGGAACCG	ATTCATGATTGTGACCTTTGT AATCC	par cebador 2	
CYP82 X2	ATGTGGAAAACGGTAAGCAAGTG G	ACGATTCTGTCATCATCATTT TCGC	par cebador 1	
CYP82 X2	CAACCTCAATCTAGCTAGAGTCG	CCCAAGATTTTCATATCCTTT ACAA	par cebador 2	
CYP82 Y1	CAATAATTGAGTAATTTCAGTTCA TTCATGG	GCTCCGTAAGTGCTCCTGTG	par cebador 1	Cebador es para
CYP82 Y1	GAATTGTGGTAAAAAATTAGATGC AG	CCCTTCACATCTACCATCCCT T	par cebador 2	amplifica ción de
CYP71 9A21	CAAAGAGTCAATCTGACTCAAGCT AGC	CGAGTGCCCATGCAGTGG	par cebador 1	fragment os de
CYP71 9A21	TCAAACCCTGCTACTAACACTTAC TTGC	CACTCCATCAGACACACAAG ACC	par cebador 2	ADN genómic o de HM1,
PSAT1	TTTTATCGACCTTGAGGAACAATT AGG	AAATGGCAGTTCCACCGC	par cebador 1	HT1 y HN1 como se muestra 5
PSAT1	GACTTCATGATGAAATCAGATGCA C	CACTGCTGACTTCCATATCAA AGC	par cebador 2	en la Figura
PSCXE 1	ATGCTGTTGATGCTTTAAACTGGG	AGCTGAATTTGTCGATCAATA AGTGG	par cebador 1	

PSCXE 1	AATAAAAATCCAACAATGGCAGAT CC	ACTGGCATGATATGCAACATT AGC	par cebador 2	
PSSDR 1	GGAAGATGTGAGCCACCTTAAAG C	GATACACTGGGAGGAGGATG GG	par cebador 1	
PSSDR 1	GAGAGTAACCACATCTTTGTTGTC GG	CGGCAAAATTCATTCCTTGAG C	par cebador 2	
BBE	GTTTACTCCCACGTGCATC	CATTCCTCGTCTAATTCATCT		
		GC		
TNMT	GTTTACTCCCACGTGCATC	GCTTCACTACTTCTTCTTGAA AAG		
SalR	AAACAATGCTGGGGTTGC	CATTATAATTTCCAATGCCGT AGTTC		
SalAT	TAAGAGAGGGAGACCACGAG	CATTCGTTGTTGTTGCTGGTA AG		
T6OD M	CTTATGAAGCTAGGTAATGGTATG GA	CATCCTCATTGCTTGTGTCC		
PSMT1	CTCTAAAATGCCAAACGCG		Cebador de secuenci ación	Cebador es usados como
PSMT1	GACCCTTTGGGACTTCCTCG		Cebador de secuenci ación	cebador es de secuenci ación
PSMT1	CGTGTTGTTTGGTCCCTCG		Cebador de secuenci ación	para obtener secuenci a de
PSMT1	TGCCTCATGTTATTTCTGTTGCC		Cebador de secuenci ación	ADN genómic o de HN1
PSMT1	GATTCCCGATTTACTCCTGATGG		Cebador de secuenci ación	
PSMT1	AACACAAAATACGATTACTT TTGTCC		Cebador de secuenci ación	
PSMT1	TGCCTCATGTTATTTCTGTTGCC		Cebador de secuenci ación	
PSMT1	GCATGAAATGGATGTAGTTATCTT GG		Cebador de secuenci ación	
PSMT1	AAATCGTTCGCTCTTTACCGC		Cebador de secuenci ación	
PSMT1	CACACCAAACTTGATCATTGTC		Cebador de secuenci ación	

DOME	ATTOTTO ATATTO A ATO A O A A A OT	0-11
PSMT2	ATTGTTGATATTGAATCAGAAACT	Cebador
	TTC	de
		secuenci
		ación
PSMT2	TCAATACCAGTACTGTTAGTTTCC	Cebador
1 02	G	de
	9	
		secuenci
		ación
PSMT2	GCAACTGTTTCATTAACAGGCACA	Cebador
	TCC	de
		secuenci
		ación
PSMT2	ATTGATGTCGGTGGTGGTCACG	Cebador
		de
		secuenci
DOL 170		ación
PSMT2	GCACACTGTCTTTTTCTTCCACC	Cebador
		de
		secuenci
		ación
PSMT2	ACCGGAATGAGAATGCATAAAGT	Cebador
	AAAGG	de
	700100	secuenci
DOL ITO	00447400044704477444070	ación
PSMT2	CCAATACCCAATCAATTAAACTC	Cebador
		de
		secuenci
		ación
PSMT2	CAGTAAATTCACACATTCCGTATC	Cebador
	TTCCC	de
		secuenci
		ación
PSMT3	ATTGTATAGCCAAAGTTGCAGGTA	
FSIVITS		Cebador
	GGG	de .
		secuenci
		ación
PSMT3	AGACCGTTTGTACCGAATTCTGC	Cebador
		de
		secuenci
		ación
PSMT3	GCAGTGAAAGCCATATCCAAAGC	Cebador
, 5,0,7,5	CONCIONNACCOATATOCAAAGC	de
		secuenci
		ación
PSMT3	AACCGTCCCCAAGATGATTCC	Cebador
		de
		secuenci
		ación
PSMT3	TCGTTCCATTCGTGAAGAATGC	Cebador
		de
		secuenci
50: 75	040007440007047	ación
PSMT3	GAGGGTAAGCCTCAATAACAGAC	Cebador
	TGG	de
		secuenci
		ación
CYP82	GAACCATTAAACACTTGAGTCATG	Cebador
X1	C	de
^ '	~	secuenci
		ación

01/200	TTO A TO A A OO A O A A OO C	
CYP82	TTGATGAACGACAAGGAACCG	Cebador
X1		de
		secuenci
		ación
CYP82	TCGACAGCGCTTACGAACG	Cebador
X1		de
		secuenci
		ación
CYP82	CAATTATCAAAGAATCAATGC	Cebador
X1		de
		secuenci
		ación
CYP82	TGCAATTGAATTTAGCTCATCT	Cebador
X1		de
		secuenci
		ación
CYP82	ATTCATGATTGTGACCTTTGTAAT	Cebador
X1	CC	de
		secuenci
		ación
CYP82	GACAGAGGGCCCAAGTTAAGG	Cebador
X1	S. IO. IO. IOCOUCHAGT TAAGG	de
Λ1		secuenci
		ación
CYP82	AGCAAACCATTCGTCCATCC	Cebador
	AGCAAACCATTCGTCCATCC	
X1		de
		secuenci
O) (D00		ación
CYP82	TACGACAGGTTGCTAGCTTGG	Cebador
X1		de
		secuenci
		ación
CYP82	AATAATGGATCAGTCACGGCTTC	Cebador
X2	C	de
		secuenci
		ación
CYP82	AATCCATCAGATTTTCAACCAGAG	Cebador
X2	AGG	de
		secuenci
		ación
CYP82	TGTCAGCCAACCATTCGTCCATC	Cebador
X2	CTAAC	de
	_	secuenci
		ación
CYP82	GGCTTCCCGGAGATGACCCAGAT	Cebador
X2	TTTAT	de
· ·-		secuenci
		ación
CYP82	TTGTTATTTTCATGACTATTACCAC	Cebador
X2	CAGCTTCCTCTTA	de
<b>1</b> 2	CAGCITOCICITA	secuenci
CVDCC	ACTCCACCACCACAAAAACTTAC	ación
CYP82	AGTGGAGGAGGCACAAAAGTTAG	Cebador
X2	GATGGAC	de .
		secuenci
		ación
CYP82	CCATGTCTGATAAATACGGGTCG	Cebador
X2	GTGTTC	de
		secuenci
		ación
		•

		1 1
CYP82	TTGTTGATAAGGACGACTAAGAAT	Cebador
X2	AAGCAGAAGATA	de
		secuenci
		ación
CYP82	ACGATTCTGTCATCATCATTTTCG	Cebador
X2	C	de
^2		
		secuenci
		ación
CYP82	AGTCGTGTATCGTTCGCTTAATGC	Cebador
X2		de
		secuenci
		ación
CYP82	CATGCCTATCTATTTCCTCCCTTG	Cebador
X2	СССТС	de
	333.3	secuenci
		ación
CVDOO	TOTOACOCAACCATTOCTCCATC	
CYP82	TGTCAGCCAACCATTCGTCCATC	Cebador
X2	CTAAC	de .
		secuenci
		ación
CYP82	TGTTCGATCACGTTGTCTCTTTTT	Cebador
X2	GCCATAA	de
		secuenci
		ación
CYP82	TAACAATAAAAGTACTGATAATGG	Cebador
X2	TGGTCGAAGGAGAA	de .
		secuenci
		ación
CYP82	TATTGATGTGGACCAGTACC	Cebador
Y1		de
		secuenci
		ación
CYP82	TGTAACTCTTGGTCACATGG	Cebador
Y1	10171/1010110010/10/1100	de
' '		secuenci
OVE		ación
CYP82	CGCGTACTTGACATTTAACG	Cebador
Y1		de
		secuenci
		ación
CYP82	GGATCATCGCCAAAAGAAAC	Cebador
Y1		de
		secuenci
		ación
CYP71	CAAAGAGTCAATCTGACTCAAGCT	
-		Cebador
9A21	AGC	de .
		secuenci
		ación
CYP71	TGAAATGCCTGAGATCACTAAAAT	Cebador
9A21	CG	de
		secuenci
		ación
CYP71	TCAAACCCTGCTACTAACACTTAC	Cebador
9A21	TTGC	
SHZ I	1100	de
		secuenci
		ación
CYP71	TGTAAAGACACTTCATTGATGGGC	Cebador
9A21		de
		secuenci
		ación
	I .	doloit

		1 1
CYP71	TTCGATTTGTGTAAACATTAATGA	Cebador
9A21	TATTTGG	de
]		secuenci
		ación
CYP71	GAGATGATCAAGTGGTTTAACCAT	Cebador
9A21	TCC	de
]		secuenci
]		ación
CYP71	CGAGTGCCCATGCAGTGG	Cebador
9A21		de
		secuenci
		ación
PSCXE	AATAAAAATCCAACAATGGCAGAT	Cebador
1	CC	de
'		secuenci
		ación
PSCXE	ATGCTGTTGATGCTTTAAACTGGG	Cebador
1	AIGCIGITGAIGCITTAAACIGGG	de
'		
]		secuenci
DSCVE		ación
PSCXE	GGTTAATCGAGAGATGTTTTGTG	Cebador
1	GTAGG	de .
]		secuenci
D061/75	00470404040403	ación
PSCXE	CGATGACACAGAGCAAGAACGAC	Cebador
1		de
		secuenci
		ación
PSCXE	CGCGGGTATATGTGTAGCAATCG	Cebador
1		de
]		secuenci
		ación
PSCXE	CGGCAACGCCAGTTCCC	Cebador
1		de
]		secuenci
		ación
PSSDR	CTAACAGGCAAACAATAACAGGTT	Cebador
1	GC	de
		secuenci
		ación
PSSDR	GGAAGATGTGAGCCACCTTAAAG	Cebador
1	C	de
		secuenci
		ación
PSSDR	AAAGGTACTGACAGAAAGAGCTT	Cebador
1 1	GCC	de
'		secuenci
		ación
PSSDR	AGATACACTCCCACCACCATCCC	Cebador
	AGATACACTGGGAGGAGGATGGG	
1		de
		secuenci
D0055	000000000000000000000000000000000000000	ación
PSSDR	CGGCAAAATTCATTCCTTGAGC	Cebador
1		de .
		secuenci
		ación
PSSDR	AACATATAGCCAAAGGACTCTTCG	Cebador
1		de
		secuenci
		ación
		1 1

DOATA	I ACCATACACAATCACCCAAC	T	0-11	
PSAT1	AGGATACACAATGACCCAAC		Cebador	
			de	
			secuenci	
PSAT1	TTTTATCCACCTTCACCAACAATT		ación Cebador	
PSATT	TTTTATCGACCTTGAGGAACAATT			
	AGG		de	
			secuenci	
PSAT1	TGTTCACTAGGTGGAAAGAG		ación	
PSATT	TGTTCACTAGGTGGAAAGAG		Cebador	
			de secuenci	
			ación	
PSAT1	AGTACAATACCGAGAAATCCGAC		Cebador	
FSATT	AAG		de	
	AAG		secuenci	
			ación	
PSAT1	GCTCAATTAATGGAACAGTAGTTA		Cebador	
7 0 7 7	CCC		de	
			secuenci	
			ación	
			condicio	Pares
			nes	de
			específic	cebador
			as de	es para
			PCR:	el
PsMT1	VIC®-CGTGTTGTTTGGTCCCTCG	GCACACTGTCTTTTTCTTCCA	30	genotipa
		CC	cilindros,	do del
			20s de	mapeo
			extensió	de la
			n a 72°	població
PsMT2	VIC®-	GCCAGCGCTAATACAAGGAT	36	n F2
	GCAACTGTTTCATTAACAGGCACA	GTGG	cilindros,	
	TCC			
	· ·		50s de	
			50s de extensió	
PsMT3	VIC®-	TCGTTCCATTCGTGAAGAATG	extensió	
PsMT3		TCGTTCCATTCGTGAAGAATG C	extensió n a 72°	
PsMT3	VIC®-		extensió n a 72° 30	
PsMT3	VIC®-		extensió n a 72° 30 cilindros, 30s de extensió	
	VIC®- GCAGTGAAAGCCATATCCAAAGC	С	extensió n a 72° 30 cilindros, 30s de extensió n a 72°	
CYP82	VIC®-GCTACGAAAGATAATGGTG		extensió n a 72° 30 cilindros, 30s de extensió n a 72° 30	
	VIC®- GCAGTGAAAGCCATATCCAAAGC	С	extensió n a 72° 30 cilindros, 30s de extensió n a 72° 30 cilindros,	
CYP82	VIC®-GCTACGAAAGATAATGGTG	С	extensió n a 72° 30 cilindros, 30s de extensió n a 72° 30 cilindros, 30s de	
CYP82	VIC®-GCTACGAAAGATAATGGTG	С	extensió n a 72° 30 cilindros, 30s de extensió n a 72° 30 cilindros, 30s de extensió	
CYP82 X1	VIC®- GCAGTGAAAGCCATATCCAAAGC VIC®-GCTACGAAAGATAATGGTG CAGC	AGCAAACCATTCGTCCATCC	extensió n a 72° 30 cilindros, 30s de extensió n a 72° 30 cilindros, 30s de extensió n a 72°	
CYP82 X1	VIC®- GCAGTGAAAGCCATATCCAAAGC  VIC®-GCTACGAAAGATAATGGTG CAGC  VIC®-	AGCAAACCATTCGTCCATCC  ACGATTCTGTCATCATCTT	extensió n a 72° 30 cilindros, 30s de extensió n a 72° 30 cilindros, 30s de extensió n a 72° 30	
CYP82 X1	VIC®- GCAGTGAAAGCCATATCCAAAGC  VIC®-GCTACGAAAGATAATGGTG CAGC  VIC®- ATGTGGAAAACGGTAAGCAAGTG	AGCAAACCATTCGTCCATCC	extensió n a 72° 30 cilindros, 30s de extensió n a 72° 30 cilindros, 30s de extensió n a 72° 30 cilindros, ilindros,	
CYP82 X1	VIC®- GCAGTGAAAGCCATATCCAAAGC  VIC®-GCTACGAAAGATAATGGTG CAGC  VIC®-	AGCAAACCATTCGTCCATCC  ACGATTCTGTCATCATCTT	extensió n a 72° 30 cilindros, 30s de extensió n a 72° 30 cilindros, 30s de extensió n a 72° 30 cilindros, 50s de	
CYP82 X1	VIC®- GCAGTGAAAGCCATATCCAAAGC  VIC®-GCTACGAAAGATAATGGTG CAGC  VIC®- ATGTGGAAAACGGTAAGCAAGTG	AGCAAACCATTCGTCCATCC  ACGATTCTGTCATCATCTT	extensió n a 72° 30 cilindros, 30s de extensió n a 72° 30 cilindros, 30s de extensió n a 72° 30 cilindros, 50s de extensió	
CYP82 X1 CYP82 X2	VIC®- GCAGTGAAAGCCATATCCAAAGC  VIC®-GCTACGAAAGATAATGGTG CAGC  VIC®- ATGTGGAAAACGGTAAGCAAGTG G	AGCAAACCATTCGTCCATCC  ACGATTCTGTCATCATCTT TCGC	extensió n a 72° 30 cilindros, 30s de extensió n a 72° 30 cilindros, 30s de extensió n a 72° 30 cilindros, 50s de extensió n a 72°	
CYP82 X1 CYP82 X2	VIC®- GCAGTGAAAGCCATATCCAAAGC  VIC®-GCTACGAAAGATAATGGTG CAGC  VIC®- ATGTGGAAAACGGTAAGCAAGTG G	AGCAAACCATTCGTCCATCC  ACGATTCTGTCATCATCATTT TCGC  GGAATGGTTAAACCACTTGAT	extensió n a 72° 30 cilindros, 30s de extensió n a 72° 30 cilindros, 30s de extensió n a 72° 30 cilindros, 50s de extensió n a 72°	
CYP82 X1 CYP82 X2	VIC®- GCAGTGAAAGCCATATCCAAAGC  VIC®-GCTACGAAAGATAATGGTG CAGC  VIC®- ATGTGGAAAACGGTAAGCAAGTG G  VIC®- TGAAATGCCTGAGATCACTAAAAT	AGCAAACCATTCGTCCATCC  ACGATTCTGTCATCATCTT TCGC	extensió n a 72° 30 cilindros, 30s de extensió n a 72° 30 cilindros, 30s de extensió n a 72° 30 cilindros, 50s de extensió n a 72° 30 cilindros, 50s de extensió n a 72°	
CYP82 X1 CYP82 X2	VIC®- GCAGTGAAAGCCATATCCAAAGC  VIC®-GCTACGAAAGATAATGGTG CAGC  VIC®- ATGTGGAAAACGGTAAGCAAGTG G	AGCAAACCATTCGTCCATCC  ACGATTCTGTCATCATCATTT TCGC  GGAATGGTTAAACCACTTGAT	extensió n a 72° 30 cilindros, 30s de extensió n a 72° 30 cilindros, 30s de extensió n a 72° 30 cilindros, 50s de extensió n a 72° 30 cilindros, 50s de extensió n a 72°	
CYP82 X1 CYP82 X2	VIC®- GCAGTGAAAGCCATATCCAAAGC  VIC®-GCTACGAAAGATAATGGTG CAGC  VIC®- ATGTGGAAAACGGTAAGCAAGTG G  VIC®- TGAAATGCCTGAGATCACTAAAAT	AGCAAACCATTCGTCCATCC  ACGATTCTGTCATCATCATTT TCGC  GGAATGGTTAAACCACTTGAT	extensió n a 72°  30 cilindros, 30s de extensió n a 72°  30 cilindros, 30s de extensió n a 72°  30 cilindros, 50s de extensió n a 72°  30 cilindros, 50s de extensió n a 72°  30 cilindros, 30s de extensió	
CYP82 X1 CYP82 X2 CYP71 9A21	VIC®-GCAGTGAAAGCCATATCCAAAGC  VIC®-GCTACGAAAGATAATGGTG CAGC  VIC®- ATGTGGAAAACGGTAAGCAAGTG G  VIC®- TGAAATGCCTGAGATCACTAAAAT CG	AGCAAACCATTCGTCCATCC  ACGATTCTGTCATCATCATTT TCGC  GGAATGGTTAAACCACTTGAT CATCTC	extensió n a 72° 30 cilindros, 30s de extensió n a 72° 30 cilindros, 30s de extensió n a 72° 30 cilindros, 50s de extensió n a 72° 30 cilindros, 50s de extensió n a 72°	
CYP82 X1 CYP82 X2 CYP71 9A21	VIC®-GCAGTGAAAGCCATATCCAAAGC  VIC®-GCTACGAAAGATAATGGTG CAGC  VIC®- ATGTGGAAAACGGTAAGCAAGTG G  VIC®- TGAAATGCCTGAGATCACTAAAAT CG  VIC®-	AGCAAACCATTCGTCCATCC  ACGATTCTGTCATCATCATTT TCGC  GGAATGGTTAAACCACTTGAT	extensión a 72°  30 cilindros, 30s de extensión a 72°  30 cilindros, 30s de extensión a 72°  30 cilindros, 50s de extensión a 72°  30 cilindros, 50s de extensión a 72°  30 cilindros, 30s de extensión a 72°  30 cilindros, 30s de extensión a 72°	
CYP82 X1 CYP82 X2 CYP71 9A21	VIC®-GCAGTGAAAGCCATATCCAAAGC  VIC®-GCTACGAAAGATAATGGTG CAGC  VIC®- ATGTGGAAAACGGTAAGCAAGTG G  VIC®- TGAAATGCCTGAGATCACTAAAAT CG  VIC®- ATGCCAGTTTAAGAGCAATAGAAA	AGCAAACCATTCGTCCATCC  ACGATTCTGTCATCATCATTT TCGC  GGAATGGTTAAACCACTTGAT CATCTC	extensión a 72°  30 cilindros, 30s de extensión a 72°  30 cilindros, 30s de extensión a 72°  30 cilindros, 50s de extensión a 72°  30 cilindros, 50s de extensión a 72°  30 cilindros, 30s de extensión a 72°  30 cilindros, 30s de extensión a 72°	
CYP82 X1 CYP82 X2 CYP71 9A21	VIC®-GCAGTGAAAGCCATATCCAAAGC  VIC®-GCTACGAAAGATAATGGTG CAGC  VIC®- ATGTGGAAAACGGTAAGCAAGTG G  VIC®- TGAAATGCCTGAGATCACTAAAAT CG  VIC®-	AGCAAACCATTCGTCCATCC  ACGATTCTGTCATCATCATTT TCGC  GGAATGGTTAAACCACTTGAT CATCTC	extensión a 72°  30 cilindros, 30s de extensión a 72°  30 cilindros, 30s de extensión a 72°  30 cilindros, 50s de extensión a 72°  30 cilindros, 30s de extensión a 72°  30 cilindros, 30s de extensión a 72°  30 cilindros, 30s de extensión a 72°	
CYP82 X1 CYP82 X2 CYP71 9A21	VIC®-GCAGTGAAAGCCATATCCAAAGC  VIC®-GCTACGAAAGATAATGGTG CAGC  VIC®- ATGTGGAAAACGGTAAGCAAGTG G  VIC®- TGAAATGCCTGAGATCACTAAAAT CG  VIC®- ATGCCAGTTTAAGAGCAATAGAAA	AGCAAACCATTCGTCCATCC  ACGATTCTGTCATCATCATTT TCGC  GGAATGGTTAAACCACTTGAT CATCTC	extensión a 72°  30 cilindros, 30s de extensión a 72°  30 cilindros, 30s de extensión a 72°  30 cilindros, 50s de extensión a 72°  30 cilindros, 50s de extensión a 72°  30 cilindros, 30s de extensión a 72°  30 cilindros, 30s de extensión a 72°	

PSSDR 1	VIC®- GAAGATGTGAGCCACCTTAAAGC	GCTCAAGGAATGAATTTTGCC G	30 cilindros, 30s de extensió n a 72°	
CYP82 X2	GTTGACGCAGGAAGCTTTTGC	GGAACATAAGATTTAACTCCG CCTC	para la am por PCF	cribado de
PSMT1	aaactcgagaagctTGGTCATAATCATC AATCAG	aaaggtaccCATGTACTACTACA TCATCTCC		Pares de
PSMT2	aaactcgagaagcttGTGTAACTAAGCC AGCGC	aaaggtaccACTTGAATATATCA CCGC		cebador es para
CYP82 X1	aaaggatccTTTGAGTAATGGTGAAA AGA	aaaggtaccAACATCTACTCTCG AGGATTG		la amplifica
CYP82 X2	aaactcgagaagcttTAGGAGGGTATGT CCGGC	aaaggtaccTTAACTCCGCCTCG GCTCC		ción y clonació
CYP82 Y1	aaaggatccTTCAGTTCATTCATGGC G	aaaggtaccGTTCATAGTAAATA ATAACAGGCG		n de fragment
CYP71 9A21	aaactcgagaagcttATGATCATGAGTA ACTTATGGA	aaaggtaccCCAACAGGCCATTC CGTTG		os seleccio
PSCXE 1	aaaggatccTGGCAGATCCTTATGAA TTCC	aaaggtaccTTATGATAGGAAGC AGCTTATTC		nados para
PSSDR 1	aaaggatccGAAATTGACGAGACAAT ATGG	aaaggtaccCATTCAAAAACGAA TATGTGTGC		VIGS
PSAT1	aaaggatccCCTAAGAGAGATCCTCC AACTG	aaaggtaccAATACAAGTATGAA AACAAGAGAATAA		
PSPDS	GAGGTGTTCATTGCCATGTCAA	GTTTCGCAAGCTCCTGCATA GT		

## Materiales y métodos

Material vegetal Tres variedades de amapola GSK Australia que acumulan principalmente noscapina (Noscapina Alta , HN1), morfina (Morfina Alta, HM1) o tebaína (Tebaína Alta HT1), se cultivaron en invernadero 5 en Maxi (Flota) Rootrainers™ (Haxnicks, Mere) , Reino Unido) 16 horas al día en las instalaciones de horticultura de la Universidad de York. El sustrato de crecimiento consistió en 4 partes John Innes №2, 1 parte Perlita y 2 partes Vermiculita. El mapeo de la población HM1 xHN1 F2 se cultivó en el sitio de prueba de campo GlaxoSmithKline Australia, Latrobe, Tasmania desde septiembre de 2009 hasta febrero de 2010.

- 10 Cruzamiento y autofecundación Se llevaron a cabo cruces entre individuos HN1y HM1 para generar semilla híbrida F1. En la etapa de gancho del desarrollo de la inflorescencia, los estambres inmaduros se eliminaron de los botones florales seleccionados HN1. Los estigmas de HN1 se fecundaron con polen de flores HM1 en desarrollo sincrónico poco después del inicio de la antesis. Para evitar que el polen contaminante llegue a los estigmas receptivos, las flores emasculadas se cubrieron con una bolsa de muselina durante cuatro días 15 después de la polinización. Las generaciones F1 y F2 se autopolinizaron para producir semillas F2 y F3, respectivamente. La autopolinización se aseguró cubriendo las flores poco antes del inicio de la antesis con una bolsa de muselina.
- Aislamiento de ARN y síntesis de ADNc Los tallos superiores (definidos como la sección de 2 cm 20 inmediatamente debajo de la cápsula) y las cápsulas enteras se recogieron en dos etapas de desarrollo representadas por 1-3 días y 4-6 días, después de la caída del pétalo. Se usaron cinco plantas por etapa de desarrollo y cultivar. El material se molió hasta obtener un polvo fino en nitrógeno líquido utilizando un mortero y una mano de mortero. El ARN se aisló del polvo usando un método de extracción basado en CTAB (Chang y col (1993) Plant Mol. Biol. Rep. 11, 113-116) con pequeñas modificaciones: (i) se realizaron tres extracciones 25 secuenciales con cloroformo: alcohol isoamílico (24:1) y (ii) el ARN se precipitó durante la noche con cloruro de litio a 4°C. Después de la cuantificación espectrofotométrica, se juntaron cantidades iguales de ARN de cinco plantas por cultivar, fase de desarrollo y órgano.Las muestras agrupadas se sometieron a una etapa de purificación final usando un RNeasy Plus MicroKit (Qiagen, Crawley, Reino Unido). El ARN se eluyó típicamente en 30-100 μl de agua. El ADNc se preparó con el kit de construcción de la Biblioteca SMART cDNA (Clontech, 30 Saint-Germainen-Laye, Francia) de acuerdo con las instrucciones del fabricante, pero utilizando la transcriptasa inversa SuperScript II (Invitrogen, Paisley, Reino Unido) para la síntesis de la primera cadena.El cebador CDSIII /3'PCR se modificó para: 5' ATT CTA GAT CCR ACA TGT TTT TTT TTT TTT TTT TVN 3' donde R = A o G, V = A, C o G; N = A/T o C/G. Tras la digestión con Mmel (New England Biolabs, Hitchin, Reino Unido), el ADNc se purificó finalmente usando un kit de purificación QIAquick PCR (Qiagen, Crawley, Reino Unido).

Pirosecuenciación de ADNc: La pirosecuenciación se realizó en la plataforma de secuenciación Roche 454 GS-FLX (Branford, CT) usando ADNc preparado a partir de las siguientes cuatro muestras de cada una de las tres variedades:

 40 i. tallo superior, 1-3 días después de la caída del pétalo ii. tallo superior, 4-6 días después de la caída del pétalo iii. cápsula, 1-3 días después de la caída del pétalo iv. cápsula, 4-6 días después de la caída del pétalo

35

- 45 Análisis de secuencia bruta, ensamblaje de secuencia contigua y anotación Los conjuntos de datos de secuencia en bruto se derivaron de secuenciación etiquetada paralela en la plataforma de secuenciación 454 (Meyer y col (2008) Nature Prot. 3, 267-78). Las secuencias de cebador y etiqueta se eliminaron primero de todas las lecturas de secuencia individuales. El ensamblaje de secuencia contigua solo se realizó en secuencias de más de 40 nucleótidos y que contienen menos del 3% de residuos desconocidos (N). Esas secuencias de 50 Secuencia de Secuencia Expresada (EST) de alta calidad se ensamblaron en secuencias contiguas únicas con el Programa de Conjunto de Secuencia CAP3 (Huang y Madan (1999) Genome Res. 9, 868-877), y los contigs resultantes se anotaron localmente usando el programa BLAST2 (Altschul y col. (1997) Nucleic Acids Res. 25, 3389-3402) contra la base de datos de péptidos no redundante descargada del NCBI.
- 55 Perfiles de expresión: Se contó el número de EST asociados con una secuencia consenso específica que representa cada uno de los genes candidatos detallados en la Figura 1 para cada biblioteca EST. Los números de EST se normalizaron sobre la base del número total de ESTs obtenidos por biblioteca. Para cada variedad, los recuentos de EST se combinaron para las dos etapas de desarrollo de tallos y cápsulas. Las diferencias en los niveles de expresión de genes candidatos entre órganos y variedades se visualizaron como un mapa de calor con Microsoft Excel.

## Preparación de ADN genómico a partir de plantas cultivadas en invernadero

Para amplificar y obtener secuencias genómicas de los genes candidatos, se recogieron 30-50 mgs de material 5 de hoja de plántulas maduras cultivadas en invernadero de 4 a 6 semanas de edad de cada una de las tres variedades. El ADN genómico se extrajo utilizando el kit BioSprint 96 Plant en la estación de trabajo BioSprint 96 (Qiagen, Crawley, Reino Unido) de acuerdo con el protocolo del fabricante. El ADN extraído se cuantificó usando Hoescht 33258 y se normalizó a 10 ng/ul.

### 10 Amplificación y secuenciación de genes candidatos de ADN genómico

Los cebadores para la amplificación y la secuenciación de Sanger de los genes candidatos a partir de ADN genómico se basaron en las respectivas secuencias contiguas reunidas a partir de las EST o en las secuencias de BAC. Las secuencias de cebadores se muestran en la Tabla 3. Las amplificaciones por PCR se realizaron en conjuntos de ADN genómico que comprenden ADN de cuatro individuos. La amplificación se llevó a cabo típicamente en 10 ng de ADN genómico en 1 x Phusion High Fidelity Buffer complementado con 200 nM directo e inverso cebadores, 0,2 mM dNTPs, 0,02 unidades/µl Phusion Hot Start DNA Polymerase (Finnzymes, Vantaa, Finnland). Se usaron condiciones de PCR estándar durante todo el tiempo con temperatura de hibridación y tiempos dependientes de los cebadores y el equipo de PCR.

## Extracción de ADN del mapeo de la población F2 cultivada en el campo

20

Se recogieron 40-50 mg de tejido foliar de plantas F2 en la etapa de crecimiento de 'pequeña roseta' (~10 hojas presented en cada planta) en tubos de muestra de 1,2 ml. Se añadió un cordón de carburo de tungsteno de 3 mm a cada tubo y las muestras se mantuvieron a -80 ° C durante un mínimo de dos horas antes de la liofilización durante 18 horas. Después de la liofilización, las muestras se pulverizaron mediante molienda de perlas (Model TissueLyser, Qiagen, Hilden, Alemania) a 30 Hz durante dos ciclos de 60 s separados por inversión de placa. La extracción de ADN se realizó con el kit Nucleospin Plant II (Macherey-Nagel, Düren, Alemania) utilizando el tampón Set PL2 / 3 suministrado siguiendo el protocolo del fabricante para extracción centrífuga. El ADN fue 30 cuantificado por espectroscopía UV.

# Genotipado del mapeo de la población HN1xHM1 F2 para la presencia o ausencia de los genes candidatos específicos de HN1

35 Las plantas del mapeo de la población F2 se genotiparon para la presencia o ausencia de ocho genes candidatos. Los pares de cebadores génicos (Tabla 3) se diseñaron con etiquetas fluorescentes (marcadas con 5'-VIC®) para su uso en el aparato capilar ABI 3730xl (Applied Biosystems, Foster City, CA). Las amplificaciones de PCR se llevaron a cabo típicamente en 10 ng de ADN genómico en 1x tampón GoTaq suplementado con 1 mM MgCl₂, cebador directo e inverso 500 nM, 0,125 mM dNTPs, 0,1 U GoTaq (Promega, Southampton, Reino Unido). Las condiciones de amplificación fueron: 1 min 94°C, 30-36 ciclos de desnaturalización de 30 s a 94°C, 30s de recocido a 62°C y 20-50 s de extensión a 72°C, seguido de una extensión final de 5 min a 72°C. El número de ciclos y los tiempos de extensión dependían del gen candidato (Tabla 3). Los productos de amplificación se diluyeron 1:20 en H₂O y se fraccionaron en un secuenciador capilar ABI 3730xl (Applied Biosystems, Foster City, CA). Los datos se calificaron utilizando el software GeneMarker ™ (Softgenetics, State 45 College, PA).

## Análisis de paja de amapola de plantas F2 cultivadas en el campo

Se recogieron las cápsulas de amapola a mano de la población de mapeo una vez que las cápsulas se habían secado hasta aproximadamente 10% de humedad en la planta. Después de separar manualmente la semilla de la cápsula, las muestras de paja de la cápsula (Poppy Straw) se molieron en un molino de bolas (Modelo MM04, Retsch, Haan, Alemania) en un polvo fino. Las muestras de paja de adormidera molida se pesaron con precisión a 2 ± 0,003 g y se extrajeron en 50 ml de una solución de ácido acético al 10%. La suspensión de extracción se agitó en un agitador orbital a 200 rpm durante un mínimo de 10 minutos, luego se filtró para proporcionar un 55 filtrado claro. El filtrado final se pasó a través de un filtro de 0,22 µm antes del análisis. La pérdida en el secado (LOD) de la paja se determinó mediante secado en un horno a 105°C durante 3 horas.

Todas las soluciones se analizaron usando un sistema Waters Acquity UPLC (Waters Ltd., Elstree, Reino Unido). equipado con una columna Waters Acquity BEH C18, 2.1 mm × 100 mm con un empaquetamiento de 1.7 micras. 60 La fase móvil usó un perfil de gradiente con eluyente A que consiste en 10 mM de bicarbonato de amonio de pH

10.2 y eluyente B metanol. Las condiciones de gradiente de fase móvil utilizadas se muestran en la siguiente tabla con un gradiente lineal. El caudal fue de 0,5 ml por minuto y la columna se mantuvo a 60°C. El volumen de inyección fue de 2 µl y los picos eluidos se ionizaron en modo APCI positivo y se detectaron con una precisión de masa de 5 ppm utilizando un Thermo LTQ-Orbitrap. Las pruebas fueron controladas por el software Thermo Xcalibur (Thermo Fisher Scientific Inc., Hemel Hempstead, Reino Unido).

- Programa de flujo de gradiente:

TIEMPO (minutos)	% De eluyente A	% De eluyente B	Flujo (ml / min)
0,0	98.	2,0	0,50
0,2	98,0	2,0	0,50
0,5	60,0	40	0,50
4,0	20,0	80,0	0,50
4,5	20,0	80,0	0,50

Se recogieron espectros de masas en el intervalo de 150-900 m/z a una configuración de resolución de 7500.

Todos los análisis de datos se llevaron a cabo en el lenguaje de programación R en un entorno Linux de 64 bits (R 2.11). La selección de pico se realizó usando el paquete Bioconductor, XCMS (Smith y col (2006) Anal. Chem. 78, 779-787), empleando el algoritmo centWave (Tautenhahn y col (2008) BMC Bioinformatics 9, 504). La redundancia en las listas de picos se redujo utilizando el paquete CAMERA (Kuhl y col (2012) Anal. Chem. 84, 283-289). Los alcaloides se identificaron comparando la masa exacta y los valores del tiempo de retención con los estándares y se cuantificaron por sus áreas de iones pseudomoleculares usando escrituras R personalizadas.

## Construcción de la biblioteca del Cromosoma Artificial Bacteriano (BAC)

La biblioteca HN1 BAC se construyó a partir de ADN genómico de alto peso molecular (HMW) procesado en 20 Amplicon Express, Inc. (Pullman, WA) a partir de plántulas de cuatro semanas usando el método descrito (Tao y col (2002) Theor. Appl. Genet. 105, 1058-1066). El ADN de HMW se digirió parcialmente con la enzima de restricción HindIII y el tamaño seleccionado antes de la ligación de fragmentos en el vector pCC1BAC (Epicenter Biotechnologies, Madison, WI) y la transformación de células de E. coli DH10B, que luego se sembraron en Luria-Bertani (LB) agar con cloranfenicol, X-gal e IPTG en concentraciones apropiadas.Los clones se recogieron 25 de forma robotizada con un Genetix QPIX (Molecular Devices, Sunnyvale, CA) en 240 placas de 384 pocillos que contenían medios de congelación LB. Las placas se incubaron durante 16 horas, se replicaron y luego se congelaron a -80°C. La copia replicada se usó como una placa fuente para filtros de nylon que se fabricaron y usaron para el cribado usando el kit de síntesis de sonda PCR DIG (Roche Applied Science, Indianapolis, IN). Para estimar los tamaños de inserto, se digirieron alícuotas de ADN de 10 BAC minipreps con 5U de enzima Notl 30 durante 3 horas a 37°C. Los productos de digestión se separaron mediante electroforesis en gel de campo pulsado (sistema CHEF-DRIII, Bio-Rad, Hercules, CA) en un gel de agarosa al 1% en TBE.Los tamaños de insertos se compararon con los de Lambda Ladder MidRange I PFG Marker (New England Biolabs, Ipswich, MA). La electroforesis se llevó a cabo durante 18 horas a 14°C con un tiempo de conmutación inicial de 5 s, un tiempo de conmutación final de 15 s, en un gradiente de voltaje de 6 V/cm. El tamaño promedio de clonación de BAC 35 para la biblioteca fue de 150 Kb.

## Construcción y cribado del filtro

El diseño del filtro y el cribado se llevaron a cabo en Amplicon Express, Inc. (Pullman, WA). Se prepararon platos 40 de bioensayo que contenían medio de placa de agar LB y 12,5 μg/ml de cloranfenicol. Se aplicó una membrana Amersham Hybond-N<sup>+</sup> de nailon cargada positivamente (GE Healthcare Bio-Sciences, Piscataway, NJ) a la superficie del medio y se usó GeneMachines G3 (Genomics Solutions, Bath, RU) para tener una red robótica de 18,432 clones por duplicado en filtros. Los filtros se incubaron a 37 ° C durante 12 a 14 horas. Los filtros fueron procesados usando el método de lisis de filtro de nylon(Sambrook y col., Molecular Cloning: Un manual de 45 laboratorio (Cold Spring Harbor Laboratory Press, Cold Spring Harbor, NY, 2001, ed.3, vol.1, cap. 1) con ligeras modificaciones. Después del procesamiento, el ADN se ligó a los filtros de membrana de hibridación de acuerdo con el manual Hybond N+ mediante cocción a 80°C durante 2 horas. Para explorar la biblioteca, se generó una sonda marcada con digoxigenina (DIG) de 643 pb representando la posición 2161-2803 en la secuencia genómica de CYP82X2 (SEC ID NO 6) a partir de 1,5 ng de ADNg por reacción de PCR usando los cebadores 50 que se muestran en la Tabla 3 y la PCR Kit de síntesis DIG (Roche Applied Science, Indianapolis, IN) según las instrucciones del fabricante. Se amplificó una sonda no marcada, se diluyó y se filtró a cada filtro en las siguientes diluciones de 2 ng, 1 ng, 0,1 ng y 0,0 ng como control positivo. Los controles se cocieron a 80°C durante 30 min. Después de un lavado prehibridación de 30 min en solución DIG EasyHyb a 45°C aproximadamente 0.5 µl de producto de desnaturalizado DIG etiquetado PCR se añadió por ml de solución de

hibridación con los filtros de nylon y se incubaron con agitación suave durante la noche a 45°C. Los filtros de nylon se lavaron 2x en un citrato de sodio standar (SSC), 0,1% tampón de dodecilsulfato sódico (SDS) a temperatura ambiente durante 5 minutos cada uno, y dos veces con un 0.5x SSC, tampón de SDS al 0,1% a 65°C durante 15 minutos. La sonda hibridada se detectó usando una solución madre de NBT/BCIP según las instrucciones del fabricante (Roche Applied Science, Indianapolis, IN) y se encontró que se hibridaba con seis clones de BAC.

Secuenciación de BAC y ensamblaje de secuencia automatizado: Los seis clones de BAC positivos de la biblioteca de BAC se secuenciaron en Amplicon Express, Inc. (Pullman, WA) mediante Secuenciación de 10 Genoma Enfocado (FGS) con una profundidad promedio de cobertura de 100x. FGS es un método de secuenciación de última generación (NGS) desarrollado en Amplicon Express que permite un ensamblaje de muy alta calidad de datos de secuencia de clonación BAC utilizando la plataforma Illumina HiSeq (Illumina, Inc, San Diego, CA). El proceso de FGS patentado crea bibliotecas marcadas con NGS de clones de BAC y genera una secuencia consenso de los clones de BAC con todas las lecturas ensambladas a 80 pb de superposición y 98% 15 de identidad. Las secuencias contiguas con huecos se ordenaron y orientaron manualmente en base a secuencias de mate pair de cuatro bibliotecas de tamaño de inserción 5000, 2000, 500 y 170 bp. Los clones de BAC superpuestos, PS\_BAC193L09, PS\_BAC179L19, PS\_BAC150A23 y PS\_BAC164F07, que juntos codificaron los 10 genes del grupo HN1, se seleccionaron para un ensamblaje de secuencia adicional. Donde fue posible, las lagunas y las regiones ambiguas en ambos clones de BAC se cubrieron con walking de cromosomas 20 con la secuenciación tradicional de Sanger para validar el ensamblaje. La combinación de las cuatro secuencias de BAC superpuestas dio un único consenso contínuo de secuencia de ensamblaje de 401 Kb. Las secuencias de los 10 genes del clúster HN1 se determinaron de forma independiente mediante la secuenciación de Sanger y el acuerdo del 100% de las secuencias génicas determinadas por Sanger con el ensamblaje de FGS proporcionó control de calidad para todo el ensamblaje.

Anotación de la secuencia ensamblada: Las secuencias de los cuatro clones de BAC se anotaron con un programa automatizado de predicción de genes FGENESH (Salamov y Solovyev (2002) Genome Res. 10, 516-522). La estructura del gen que incluye la disposición exón-intrón para los 10 genes en el grupo HN1 se validó por comparación con la secuencia de ADNc para cada gen. La secuencia de ADNc no estaba disponible para 30 ninguno de los ORFs restantes detallados en la Fig. 3 ya que no están representados en ninguna de las bibliotecas EST. La función predicha de todos los ORFs se evaluó mediante análisis BLAST (Altschul y col (1997) Nucleic Acids Res. 25, 3389-3402) y aquellos ORFs con éxitos significativos (valor e inferior a 1e<sup>-8</sup>) se incluyeron en la Fig.3.

## 35 Generación de construcciones de plásmidos para silenciamiento génico inducido por virus (VIGS)

25

El sistema de silenciamiento génico basado en el virus del tabaco cascabeleo (TRV) (Liu y col (2002) Plant J. 30, 415-422) se usó para investigar la función del gen de *PSMT1*, *PSMT2*, *CYP719A21*, *CYP82X2*, *PSSDR1* y *PSCXE1*. Los fragmentos de ADN seleccionados para el silenciamiento se amplificaron mediante PCR y se clonaron en el vector de silenciamiento pTRV2 (GenBank acceso nº: AF406991). Se unieron a un fragmento de 129 pb de longitud (SEQ ID NO: 30) del gen *P. somniferumPHYTOENE DESATURASE* (*PSPDS*) para silenciar simultáneamente los respectivos genes candidatos y *PSPDS*. Se identificaron plantas que exhibían el fenotipo de fotodecoloración resultante del silenciamiento de *PSPDS* (Hileman y col (2005) Plant J. 44, 334-341) como plantas infectadas con éxito con las respectivas construcciones de silenciamiento y seleccionadas para un 45 análisis posterior.

Generación de la construcción pTRV2: PDS: Un fragmento de 622 pb de *PSPDS* se amplificó a partir de ADNc preparado a partir de HN1 utilizando cebadores que se muestran en la Tabla 3. La digestión con Sau3Al del producto de PCR de 622 pb produjo, entre otros, un fragmento de 129 pb (SEQ ID NO: 30) que se clonó en el sitio BamHl del vector pTRV2. La orientación y la fidelidad se confirmaron por secuenciación y el vector pTRV2: PDS resultante se usó en la generación de la construcción VIGS para cada gen candidato. La construcción pTRV2: PDS también sirvió como control en los experimentos de VIGS.

Los fragmentos de ADN seleccionados para silenciar los genes candidatos respectivos se amplificaron a partir de 55 ADN genómico de HN1 o de ADNc. Los cebadores usados para la amplificación así como las posiciones de las secuencias seleccionadas dentro de los respectivos marcos de lectura abiertos se muestran en la Tabla 3. Los fragmentos *PSMT1*, *CYP719A21* y *CYP82X2* se clonaron primero en pTV00 (Ratcliff y col (2001) Plant J., 237-245) usando HindIII y KpnI y luego se subclonaron en pTRV2: PDS usando BamHI y KpnI. Los fragmentos *PSMT2*, *PSCXE1* y *PSSDR1* se clonaron directamente en pTRV2: PDS usando BamHI y KpnI. La orientación y 60 la fidelidad de todos los constructos se confirmaron por secuenciación.

Transformación de Agrobacterium tumefaciens con construcciones de VIGS: Los constructos de VIGS se propagaron en *E. coli* cepa DH5α y se transformaron en electrocompetente *Agrobacterium tumefaciens* (cepa GV3101) por electroporación.

Infiltración de plantas: Se usaron cultivos líquidos «overnight» separados de *A. tumefaciens* que contenían constructos VIGS individuales (cada uno compuesto por un fragmento de ADN seleccionado del gen objetivo unido al fragmento de 129 pb de longitud del gen *P. somniferum PHYTOENE DESATURASE*) para inocular medio LB que contenía 10 mM MES, 20 μM de acetosiringona y 50 μg/ml de kanamicina. Los cultivos se 10 mantuvieron a 28°C durante 24 horas, se recogieron por centrifugación a 3000xg durante 20 min y se resuspendieron en solución de infiltración (MES 10 mM, acetosiringona 200 μ M, MgCl<sub>2</sub> 10 mM) hasta una OD<sub>600</sub> de 2,5. *A. tumefaciens*harbouring las construcciones de VIGS individuales, incluyendo el control, pTRV2: PDS, se mezclaron cada uno 1: 1(v / v) con *A. tumefaciens* que contiene pTRV1 (GenBank acceso nº: AF406990), y se incubaron durante dos horas a 22°C antes de la infiltración. Se infiltraron plántulas maduras de HN1 de dos semanas de edad cultivadas en condiciones de invernadero estándar (22°C, fotoperíodo de 16 horas), con primeras hojas emergentes, tal como se describe (Hagel y Facchini (2010) Nat. Chem. Biol. 6, 273-275).

Análisis de látex y cápsula de plantas silenciadas: Se analizó el látex foliar de las plantas infiltradas que mostraban blanqueamiento fotográfico como marcador visual de una infección y silenciamiento exitosos cuando 20 aparecieron brotes de las flores (plantas de 7~ semanas de edad). Se recogió látex de pecíolos cortados, con una sola gota dispersa en 500 µl de ácido acético al 10%. Esto se diluyó 10 veces en ácido acético al 1% para dar una solución de alcaloide en ácido acético al 2% para un análisis posterior. Las cápsulas se recogieron de las mismas plantas usadas para el análisis de látex y las cápsulas individuales se molieron hasta obtener un polvo fino en un molino de bolas (Modelo MM04, Retsch, Haan, Alemania). Las muestras de paja de adormidera molida 25 se pesaron con precisión a 10 ± 0,1 mg y se extrajeron en 0,5 ml de una solución de ácido acético al 10% con agitación suave durante 1h a temperatura ambiente. Las muestras se clarificaron luego mediante centrifugación v una submuestra de 50 µl se diluyó 10 veces en ácido acético al 1% para dar una solución de alcaloide en ácido acético al 2% para un análisis posterior. Todas las soluciones se analizaron como se describe para el análisis de paja de adormidera de plantas F2 cultivadas en el campo. Del mismo modo, todos los análisis de datos se 30 llevaron a cabo utilizando el lenguaje de programación R. Picos putativos alcaloides se cuantificaron por sus áreas de iones pseudomolecular utilizando scripts personalizados. Las listas de picos se compilaron y cualquier diferencia significativa entre las muestras se identificó utilizando 1-way ANOVA con valores de p ajustados usando la corrección de Bonferroni para el número de picos únicos en el conjunto de datos. Para cualquier comparación de picos con valores de p ajustados <0.05, la prueba de HSD de Tukey se utilizó para identificar 35 picos que fueron significativamente diferentes entre cualquier muestra dada y el control. Los alcaloides se identificaron comparando la masa exacta y los valores de tiempo de retención con los de los estándares. Donde los estándares no estaban disponibles, el paquete Bioconductor rcdk (Smith y col (2006) Anal. Chem. 78, 779-787) se usó para generar fórmulas pseudomoleculares a partir de masas exactas dentro de las restricciones elementales C = 1 100, H = 1 200, O = 0 200, N = 0 3 y exactitud de masa <5 ppm. El hit con el menor error de 40 ppm dentro de estas restricciones se usó para asignar una fórmula putativa.

## Ejemplo 1

El análisis transcriptómico revela la expresión exclusiva de 10 genes que codifican cinco clases distintas de enzimas en una variedad de amapola que produce noscapina alta , HN1. Estos genes están ausentes del genoma de dos variedades que no producen NOSCAPINA.

Extracto de cápsula de tres variedades de adormidera desarrolladas en Tasmania para la producción de alcaloides designadas como morfina alta 1 (HM1), tebaína alta 1 (HT1) y noscapina alta 1 (HN1) sobre la base 50 del alcaloide más abundante en cada caso (Fig. 1A) se sometió a perfiles de metabolitos. Se descubrió que la noscapina es única para HN1 en relación con HM1 y HT1. La pirosecuenciación Roche 454 se realizó en bibliotecas de ADNc derivadas de tejido de tallo y cápsula de las tres variedades. El análisis de la abundancia de la etiqueta de secuencia expresada (EST) condujo al descubrimiento de varios genes previamente no caracterizados que se expresan en la variedad HN1, pero que están completamente ausentes de las bibliotecas 55 EST HM1 y HT1 (figura 1B). Los genes correspondientes se identificaron putativamente como tres Ometiltransferasas (PSMT1, PSMT2, PSMT3), cuatro citocromo P450 (CYP82X1, CYP82X2, CYP82X3 y CYP719A21), una acetiltransferasa (PSAT1), una carboxilesterasa (PSCXE1) y una cadena corta deshidrogenasa/reductasa (PSSDR1). En contraste, una cantidad de otros genes caracterizados funcionalmente asociados con la síntesis de alcaloides de la bencilisoquinolina, incluida la Enzima del Puente de Berberina 60 (BBE), Tetrahidroprotoberberina cis-N-metil transferasa (TNMT), Salutaridina Reductasa (SaIR), Salutaridinal 7-

O-AcetilTransferasa (SalAT) y Tebaína 6-O-demethylase (T6ODM) se expresaron en las tres variedades (Fig. 1B). El análisis de PCR en ADN genómico de las tres variedades reveló que los genes expresados exclusivamente en la variedad HN1 están presentes como se esperaba en el genoma de HN1 pero ausentes de los genomas de las variedades HM1 y HT1 (Fig. 1B y Fig. 5).

## Ejemplo 2

5

10

El análisis de una población de mapeo F2 muestra que los genes están estrechamente relacionados en HN1 y su presencia está asociada con la producción de noscapina.

Se generó una población de mapeo F2 de 271 individuos usando HN1 y HM1 como progenitores. La genotipificación de la población F2 cultivada en el campo reveló que los genes específicos de HN1 están estrechamente relacionados y asociados con la presencia de noscapina, lo que sugiere que se producen como un conjunto de genes implicados en la biosíntesis de la noscapina (figura 2B). El análisis de los niveles de noscapina en cápsulas F2 cultivadas en el campo reveló que los individuos que contienen este grupo de genes putativo se dividen en dos clases. La primera clase que contiene 150 individuos tiene niveles relativamente bajos de noscapina y la segunda clase que contiene 63 individuos exhibe el rasgo de noscapina alta de la variedad parental HN1 (figura 2B). Los 58 individuos F2 que carecen del conjunto de genes putativo contienen niveles indetectables de noscapina (figura 2B). El análisis de la familia F3 confirmó que los individuos F2 que exhiben el rasgo de alta noscapina eran homocigóticos para el grupo de genes, mientras que los que exhibían el rasgo bajo de noscapina eran heterocigotos (Tabla 2). Los niveles de noscapina tanto en la población F1 (figura 2A) como en la clase F2 heterocigota son mucho menores que los niveles intermedios esperados para un rasgo semicontinuo, lo que sugiere la participación de alguna forma de represión. El cambio de paso a la noscapina alta en la clase F2 homocigótica sugiere que este rasgo está relacionado con el locus del clúster de genes en la clase F2 homocigótica sugiere que este rasgo está relacionado con el locus del clúster de genes en la clase de diseminarse cuantitativamente entre otros loci.

## Ejemplo 3

La secuenciación bacteriana de cromosomas artificiales confirma que los 10 genes existen como un 30 complejo cúmulo de genes

Para caracterizar adicionalmente el supuesto conjunto de genes de noscapina, se preparó una biblioteca de Cromosoma Artificial Bacteriano (BAC) a partir de ADN genómico aislado de HN1 y se identificaron seis BACs solapantes que contenían genes del grupo. La generación siguiente y la secuenciación de Sanger se utilizaron para generar un ensamblaje de alta calidad de 401 Kb confirmando la disposición de los 10 genes en un grupo que abarca 221 Kb (figura 3). Sólo otro gen homólogo, una carboxilesterasa (*PSCXE2*), se encontró en la secuencia genómica que flanquea el grupo de genes (Fig 3), pero *PSCXE2* no se representó en ninguna de nuestras bibliotecas EST. Intercalados entre los diez genes hay secuencias de retrotransposón y de elemento transponible de ADN (TE) (Fig. 3), que pueden tener alguna función en la reorganización genética para la formación de cúmulos, como se cree para el thalianol y los cúmulos marinos de *A. thaliana* (Field y col (2011) PNAS 108, 16116-16121).

## Ejemplo 4

45 El silenciamiento génico inducido por el virus da como resultado la acumulación de intermediarios de la vía, permitiendo que la función del gen se relacione con la síntesis de la noscapina y se proponga una nueva vía biostética bifurcada.

Con el fin de caracterizar funcionalmente los genes en el clúster de HN1, el silenciamiento génico inducido por virus (VIGS) se realizó en plántulas de amapola. VIGS en plántulas de amapola persiste a través de etapas de planta maduras(Hileman y col (2005) Plant J. 44, 334-341), y, por lo tanto, tanto el látex de hojas como los extractos de cápsulas se analizaron rutinariamente (figura 4). El silenciamiento de *PSMT1* dio como resultado la acumulación de escoulerina en cápsulas y también bajos niveles de reticulina en el látex, lo que indica que este producto génico es responsable del primer paso comprometido en la ruta hacia la síntesis de la noscapina (figura 54). El producto predicho de PSMT1 es tetrahidrocolumbamina (figura 6), que se acumuló en plántulas y cápsulas que se silenciaron para *CYP719A21* (figura 4B). CYP719A21 muestra una alta homología con las oxidasas del citocromo P450 que actúan como enzimas formadoras de puentes de metilendioxilo (Díaz Chávez y col (2011) Arch. Biochem. Biophys. 507, 186193; Ikezawa y col (2009) Plant Cell Rep. 28, 123-133). Por lo tanto, CYP719A21 puede codificar una sintasa canadiense.Fig. 6). El silenciamiento de un segundo gen del citocromo 60 P450, *CYP82X2*, dio como resultado la acumulación de varios productos intermedios de secoberbina, algunos de

los cuales pueden representar productos secundarios de la vía sintética principal (figura 4C, figura 6). El silenciamiento del gen de carboxilesterasa *PSCXE1* dio como resultado la acumulación de hasta un 20% del contenido total de alcaloides de la papaveroxina putativa (figura 6), lo que implica la acetilación de un intermediario de secoberbina como se representa en la figura 4G. El gen *PSAT1* del grupo HN1 es un candidato obvio para esta reacción. El silenciamiento de *PSSDR1* dio como resultado la acumulación de lo que supuestamente se identificó como narcotinemiacetal (figura 6), un precursor inmediato de la noscapina (figura 4G). Estos datos apoyan una ruta biosintética hacia la noscapina que implica la *O*-metilación temprana de un intermediario de secoberbina en la posición equivalente al grupo hidroxilo C4 'de la noscapina (figura 4G). Sin embargo, el silenciamiento de *PSMT2*, dio como resultado la acumulación de hasta 20% de narcotolina, lo que 10 indica que la *O*-metilación en el grupo hidroxilo C4' también puede ocurrir como un paso final en la producción de la noscapina (Fig. 4F). Estos resultados implican la bifurcación de la vía principal en la etapa intermedia de la secoberbina, siendo *PSMT2* responsable tanto de la *O*-metilación de una secoberbina intermedia como de la narcotolina. El silenciamiento de *PSMT2* da como resultado la acumulación de altos niveles de narcotolina a medida que el flujo se dirige hacia abajo por la rama desmetil de la vía (figura 4F).

#### LISTADO DE SECUENCIAS

<110> GlaxoSmithKline Australia Pty Ltd

<120> Molécula de ácido nucleico

20 <130> 4265P/WO

<150> GB 1,204,407,9

<151> 13/03/2012

<160> 194

<170> PatentIn versión 3.5

25 <210>1

<211> 2306

<212> ADN

<213> Papaver somniferum

<400> 1

cacaccaaac	ttgatcattg	tcataaaaaa	cagtcctaat	tgtcatcaat	caaaaacagt	60
cctaacatgg	ctaccaatgg	cgaaattttc	aatacctatg	gtcataatca	tcaatcagcc	120
acagtcacta	aaatcactgc	ttctaatgaa	agcagcaatg	gtgtctgtta	tctttcagaa	180
acggctaact	tggggaagtt	aatatgcatt	ccaatggcac	taagagctgc	gatggagcta	240
aatgtgttcc	aacttatctc	aaagttcgga	actgacgcaa	aagtttcggc	ttctgaaatt	300
gcctctaaaa	tgccaaacgc	gaagaataat	cctgaagcag	ctatgtattt	ggatagaatt	360
cttcgactgc	tcggggcaag	ttctattctt	tctgtttcta	ctacaaaaaa	atcaatcaac	420
agaggaggag	atgatgtagt	agtacatgag	aagctttatg	ggttaacaaa	ttcgtcgtgt	480
tgtttggtcc	ctcgacaaga	agacggggtg	tcattagtcg	aagaattgct	attcacatct	540
gacaaggttg	ttgtggatag	ttttttcaaa	ctgaaatgtg	tggtggaaga	aaaagacagt	600
gtgccatttg	aggttgctca	tggtgctaaa	atctttgagt	atgctgctac	agaaccaaga	660
atgaatcaag	tatttaacga	tggaatggca	gttttctcta	ttgttgtttt	tgaggctgtt	720
tttagagttt	acgatggatt	tcttgatatg	aaagaattgt	tagatgttgg	tggtggtatt	780
ggtacttcgg	ttagtaagat	tgttgctaaa	taccctttga	ttcgcggtgt	caacttcgac	840
ttgcctcatg	ttatttctgt	tgcccctcaa	tacccaggta	taccttcttc	ttctttttc	900
tgaaaagaac	gggttcgaat	ttttacagaa	tttttttct	cattcgatac	tcaagcaact	960
ctattaaagt	atactgtgta	ataatgcatg	caggtgtaga	gcatgttgca	ggagatatgt	1020
tcgaggaagt	cccaaagggt	caaaacatgt	tgctaaaagt	aagctaacca	tactcaattt	1080
tcttaataat	taggaaaatt	gcaaaaaccg	tcacaatatt	ataaaggcat	ctgaagtgcc	1140
atcactcaga	taccgatgct	atgtactcta	tacattgaca	aaattccatg	gtatcaagtc	1200
tcaacctocc	ggttataata	atttttttca	ggetttettt	aaaagaaatt	attttgaatg	1260

		gtaaaaatca	tcattatatt	ggagaaaagt	gcagatcttg	ctacattaaa	atttataata	1320
		taataaaaca	tttgtttatg	gttgtttgaa	aaaaaaaatc	tcattgttaa	tgcatctttc	1380
		taagttaatg	gtgattaatg	gtgaataata	tgatatctta	ttaccgtctt	gacacttttt	1440
		tttttgtcgt	agacaaaata	tttccaactt	ttctatatta	ataaaatcag	aaatatttca	1500
		tttatatgaa	tattaaaata	agaaggtgca	tgagtaatat	tccaaatttc	ttaaagcgtt	1560
		ttttatagca	gtacggcgtt	ttctcaaatc	ttattaaccc	ataattaaag	ggtttccgta	1620
		aattaaattg	agggatatca	aaacaaaaac	aaaaaatagg	gttattttgc	agtaaaatca	1680
		ataacccctt	atcatatgaa	aaggataact	tagtctaccc	caatttggag	agatatgggc	1740
		aattattgta	ttactagttc	gtttgagcat	tgataatatt	tttcattaga	tttatactca	1800
		ataaaatata	tgaactatat	tgataaagat	taataatgca	gtgggtactg	cacgattggg	1860
		gtgatgaacg	atgtgtgaag	ctgttaaaga	attgttggaa	ctcattacct	gtgggtggaa	1920
		aagttttgat	aatcgagttt	gttctcccga	atgaacttgg	taacaatgct	gaatcattca	1980
		atgcgttgat	tcccgattta	ctcctgatgg	ctctgaatcc	aggcggtaaa	gagcgaacga	2040
		tttccgaata	cgatgattta	ggcaaagcag	ctggattcat	aaaaactata	cctatcccta	2100
		tctccaatgg	tcttcatgtc	attgagtttc	acaaatgaat	ggttattgag	tgctttggta	2160
		attaaactac	caagataact	acatccattt	catgcatttg	ctttttttt	ttctttttt	2220
		tcttttttt	tctttttgtt	ttgtattcca	ggtgtgaact	agttagtgtg	ttgagtggac	2280
			aatcgtattt	tgtgtt				2306
5		440 ADN Papaver somni	ferum					
	<400> 2		ctttcttcta	aaatctttca	ataccagtac	tgttagtttc	cgataagagc	60
		cacactaatc	cattatggaa	attcatttag	aaagccaaga	acaagaaatg	aaatatcaat	120
		ctcaaatctg	gaaccaaata	tgtggcactg	ttgatacctc	tgttctgaga	tgtgcaattc	180
		aattaggtat	atttgatgcc	attcataact	ctggcaaacc	aatgattacc	ttaaccgaat	240
		tatcaagcat	tgtttcatca	ccctcttcat	cttcaatcga	accetgeaac	ttgtatagat	300
		tagtgagata	cttatcccaa	atggatctca	ttagtatcgg	agaatgtttg	aatgaagcaa	360
		ctgtttcatt	aacaggcaca	tccaagttac	tacttagaaa	ccaagaaaag	agtttaattg	420
		attgggtatt	ggcaatttct	tgcgaaatga	tggttgttgt	ttggcacgaa	ctaagtagct	480
		ctgtttcaac	tcctgcggat	gagcctccaa	tcttccagaa	ggttcatggt	aaaaatgctt	540
		tagaattagc	aggggaattt	ccagaatgga	atgatctgat	caacaatgct	atgactagtg	600

		atactagtgt	aactaagcca	gcgctaatac	aaggatgtgg	caaaatcctg	aacggagtta	660
		catcgttaat	tgatgtcggt	ggtggtcacg	gtgccactat	ggcctacata	gttgaagctt	720
		ttcctcacat	aaaaggtgcg	gtaatcgatt	taccacatgt	tgttgaagcc	gctccggagc	780
		gtccaggtgt	tgagttcatc	agcggtgata	tattcaagtc	catttctaac	gctgatgctg	840
		tgttgttgaa	ggtatgtaaa	gagtagctaa	ccttagtgcg	tctaatttat	tccacaaatt	900
		tttctgatgc	attttattct	tatttttggt	ttttgcagta	tgtcctgcac	aattgggaag	960
		atacggaatg	tgtgaattta	ctgaagagat	gtaaggaagc	agttccggca	gacaaaggaa	1020
		aagtgatcat	aatggattta	gtaatagacg	acgatgataa	cagtatttta	acgcaggcaa	1080
		agttgagcct	tgatctcact	gtgatgaacc	atggaggagg	tagagaaagg	actaaagaag	1140
		attggagaaa	tctaattgag	atgtctggat	ttagtaggca	tgaaataatt	ccaatatctg	1200
		ccatgccatc	aattattgtt	gcttatcctt	agttaagtca	cccgcatgtt	tacttgaacg	1260
		ggaataagtt	gggggcgtgt	tgaatctgtt	aacatcgcaa	ttgtgccttt	actttatgca	1320
		ttctcattcc	ggtagaaact	gtttggggca	ttcggattct	gctgagccct	tttatgtatg	1380
	<210> 3		ggttggttgg	ttttcaagta	actgaagttt	cttctctgtt	ttcaaggcat	1440
5	<211> 1 <212> A <213> F <400> 3	NDN Papaver somnit	ferum					
	<400> 3		tagggttatg	agcaagctca	attatctctc	ctataaaagc	taacattaga	60
		aaaactaata	agcacacaaa	ccgtaaaagt	tctgaagata	gacaaaacaa	gagaaaaaag	120
		atggaagtag	taagtaagat	tgatcaagaa	aaccaagcaa	aaatttggaa	acaaatttt	180
		ggttttgcag	aatcattagt	tctaaaatgt	gcagttcagt	tagagattgc	tgaaacactt	240
		cataataatg	taaaacccat	gtctttatcc	gagttagcat	ctaaacttcc	ggctcaaccc	300
		gttaatgaag	accgtttgta	ccgaattctg	catttcttag	ttcacatgaa	actcttcaac	360
		aaagatgcta	ccacacagaa	atattcatta	gctccaccag	caaagtattt	gctaaaaggc	420
		tgggaaaaat	caatggttcc	ttcaatatta	agcgtgactg	ataaagattt	tacageteca	480
		tggaatcatc	ttggggacgg	tttaaccggt	aactgtaacg	cttttgagaa	agcgttagga	540
		aagggcattc	gggtttatat	gagagaaaat	cctgaaaaag	atcaattgtt	taatgaagga	600
		atggcttgtg	atactagatt	atttgcttca	gcattggtta	acgagtgcaa	aagtattttc	660
		agtgacggga	tcaatacact	tgccggtgtt	ggccgtggta	ctggtactgc	agtgaaagcc	720
		atatccaaag	cttttccgga	tattaagtgc	acaatccatg	atcttcctga	agttaccagt	780

840

aaaaatagta aaattccaag agatgttttt aagtccgttc ctagtgcaga cgccatcttt

	atgaaggtaa	cttctaagaa	attttgtttt	agaatattcg	ttgcaactct	aattgacaac	900
	attcataaaa	aatatgttaa	tggtcttaat	ttattaattc	tagtagagtt	acttaaatga	960
	tatacaaaaa	ttcaaaatca	tataacattt	gcagagcatt	cttcacgaat	ggaacgatga	1020
	ggaatgtatt	caaatcttga	aacgatgcaa	agaagcaata	ccaaaagggg	gcaaagttat	1080
	cattgcggat	gtcgtaatag	acatggactc	gactcatccg	tattcaaaat	ctagactcgc	1140
	aatggatttg	gctatgatgc	tccacacggg	tggaaaagag	agaactgaag	aagattggaa	1200
	aaaacttatt	gatgctgcag	gttttgctag	ctgtaaaatt	actaaactat	ctgctctcca	1260
	gtctgttatt	gaggcttacc	ctcattgagg	ataatttta	tccttctgtt	ttccctttgg	1320
	ttaattgttg	ccttctcttt	ggatcatggt	tgcgtttata	ataaatgcag	cgtttctttc	1380
040		gtgcaagaaa	gaaaaagctt	ccagaaactt	ccttgagtat	gcctgg	1436
	1921						
	→ ADN → Papaver somni	ferum					
<400>		gccttgatat	gctcatattt	tagtttgtca	tattcactat	aactataaat	60
	ttcaatacaa	tttctaaaac	tcatcatcat	tcaagagaga	tacaaatacc	ttgatatcct	120
	tttatcatca	atggagttat	tcataaagtt	accatttatc	caaccaattc	ctttcagtat	180
	tattcttgtt	actacagttt	cgattgttct	attatacagt	gtattattat	gggttactga	240
	taagaaaaag	aagaggaaga	aagcaccaaa	tgctgcaggg	gcatggccgt	taataggtca	300
	tctccgtcta	ttgatgaacg	acaaggaacc	gttgtataga	gcactaggga	gcatggctga	360
	taagtacgga	cctgcattca	acatccgatt	aggtaaccaa	gaagttcttg	ttgtgagtaa	420
	ctgggagatg	gtaaaacagt	gttttggtaa	tcaaaatgat	aagctatttt	cgaatcgtca	480
	aactacatta	gctgcaaaat	acatgcttaa	tcaaacaact	tctagcggat	tcgcaccata	540
	tggaccatat	tggagagagc	tacgaaagat	aatggtgcag	caattactct	ctaaacaatc	600
	tttagaatcg	tggaaacatc	tgaaaatcaa	agagatggat	gcttcattta	gtaaacttaa	660
	cgagttatgc	aacaacaacg	gtactggaac	agctacccta	attaggatgg	acgaatggtt	720
	tgctgagttg	acgttcaacg	tgatcgcaag	aaatgtcttt	ggctaccaaa	gtggcggaag	780
	gtcgacagcg	cttacgaacg	gtaatatgat	catactccct	caatctgtat	caatttaagg	840
	aaatcatttt	ggtcttgtta	ttaacttgaa	ttttctatta	ggagatacgg	aatcaaaggg	900
	cgagaggtac	aagaaaacat	tggaagaagc	acttcatctt	atgtcaattt	ttgcagtttc	960
	agacatattt	ccaagtctag	agtgggtaga	tcggttaaga	ggccttataa	ggaatatgaa	1020
	acgctttgga	gatgagctaa	attcaattgc	agggtgtctt	attgaagagc	accgccaaaa	1080

	gagattacaa	tccgtatcta	aaagtgataa	aggagttggt	gatgaacaag	acttcgttga	1140
	tgttctctta	tcggttgctg	aaaaatcgca	acttcctgga	gatgaccctg	atttggtcat	1200
	caagtctatg	attctggtta	ggctattgat	accaagtcta	ttgcaatttt	ggtttatgtg	1260
	cttgttctaa	ctttcgttta	ctgcatatgg	atgtgcagga	aatcgtatca	ggtgggagtg	1320
	agaccacatc	gtcaacctta	acttgggccc	tctgtctgtt	actgaaccat	ccgcatgtgt	1380
	taaagaaggc	aaaagaggaa	ttagatacgc	acgtaggaaa	agataggcat	gtagaagagt	1440
	cagatacccc	taagctcgtg	tacattaatg	caattatcaa	agaatcaatg	cgattgtatc	1500
	caaacggggc	aatgcttgat	cggttggcgt	tagaagagtg	cgaagttggt	ggatttcatg	1560
	taccggccgg	gggacgctta	tttgtcaatg	tttggaagat	tcagagagat	ccgagtgttt	1620
	gggagaatcc	tctggagttt	aaaccagaga	ggtggttttt	gagtaatggt	gaaaagatgg	1680
	atgtggatta	caaaggtcac	aatcatgaat	tcataccatt	tgggataggt	cggaggatgt	1740
	gcgctggtat	gctttgggca	tcggaggtga	ttcatttggt	gctgccccgt	cttattcatg	1800
	ggtttgatat	gaaagcagca	agtgccaatg	ggaaagtaga	tatggcagaa	atggcaggca	1860
	tggtgatttg	ttttaagaag	acacctcttg	aagttatggt	caatcctcga	gagtagatgt	1920
<210	t )						1921
<21	l> 1688						
5 <213	2> ADN 3> Papaver somni	ferum					
<400		tttatgcaaa	gagtcaatct	gactcaagct	agctagaata	tataccaatc	60
	ataaaagaaa	tgatcatgag	taacttatgg	attcttacgc	tcatttctac	catattagca	120
	gtctttgctg	ctgtgttaat	cattttcagg	agaagaatat	cagcatccac	aacggaatgg	180
	cctgttggcc	caaaaacatt	accaatcata	ggtaacttgc	acattcttgg	aggcactgct	240
	ctccatgtcg	tcttacataa	acttgctgaa	gtttacggca	gtgtaatgac	gatatggatt	300
	ggtagttgga	aacctgttat	tattgtttcc	gactttgatc	gagcctggga	agttcttgtt	360
	aacaaatcgt	cagattattc	agctcgtgaa	atgcctgaga	tcactaaaat	cggcactgca	420
	aattggagaa	caatttcaag	ttctgattct	ggtccgtttt	gggccactct	tcgaaaaggt	480
	cttcagagtg	tagcattatc	gcctcagcat	ttagcatcgc	aaactgcaca	ccaagagaga	540
	gatataataa	agttgatcaa	aaatttgaaa	gacgaagcag	cttctggaat	ggttaaacca	600
	cttgatcatc	tcaagaaagc	aactgtaaga	ttaatcagtc	ggttaatcta	tggtcaggat	660
	tttgatgacg	ataagtatgt	tgaagatatg	catgacgtga	tcgagttttt	gattcgtatt	720

		ah mmamaan					0.40
	agagetgtaa	ctggcgccga	agaagcaaaa	agaagagtaa	tagetetggt	gegteettt	840
	cttcagtcaa	accetgetae	taacacttac	ttgcattttc	tcaaatcgca	actgtatcct	900
	gaagaggtta	tcatattcgc	tatattcgaa	gcttatcttt	taggtgttga	tagcacttct	960
	tcaaccactg	catgggcact	cgcattctta	atacgcgaac	catctgttca	agagaaactt	1020
	tatcaagagc	ttaagaattt	cacagccaat	aacaatcgca	caatgctgaa	agtcgaagac	1080
	gtcaacaaat	taccatattt	acaagctgtt	gttaaagaaa	caatgaggat	gaaaccaatt	1140
	gcaccactgg	cgattcctca	taaagcttgt	aaagacactt	cattgatggg	caagaaagtt	1200
	gataagggaa	ctaaagttat	ggttaacatt	catgctttac	atcatactga	aaaggtttgg	1260
	aaagaacctt	acaaattcat	accagagagg	tttctgcaga	agcacgataa	ggcgatggaa	1320
	caatcactat	taccatttag	tgcaggtatg	agaatttgtg	caggaatgga	attaggaaaa	1380
	cttcagttta	gtttttctct	tgctaatctt	gttaatgctt	ttaaatggtc	ttgtgtgtct	1440
	gatggagtgc	ttcctgatat	gagtgattta	ctggggtttg	ttctgttcat	gaaaacccca	1500
	ctcgaagcac	gtatagttcc	tcgtttgtag	tgatggaaat	ttcatctcat	gttgttgttt	1560
	ctcttcatgt	ttactatttc	gtactcgttt	ggttttggtg	taaaaaataa	gatctaaact	1620
	tccaaatatc	attaatgttt	acacaaatcg	aaatcaatca	actatgttat	gaaaattagt	1680
	gttttctc						1688
	<210> 6						1688
<	<210> 6 <211> 2918 <212> ADN	<b></b>					1688
5 <	<210> 6 <211> 2918	ferum					
5 <	<210> 6 <211> 2918 <212> ADN <213> Papaver somn <400> 6	ferum ctaatctact	gctagtgcta	ctgctcactg	acacttacac	atatgattga	1688
5 <	<210> 6 <211> 2918 <212> ADN <213> Papaver somn <400> 6 aagtgtgcca						
5 <	<210> 6 <211> 2918 <212> ADN <213> Papaver somn <400> 6 aagtgtgcca tttatggcta	ctaatctact	ccactaaatt	tattttggaa	agcggagtga	attaattaag	60
5 <	<pre>&lt;210&gt; 6 &lt;211&gt; 2918 &lt;212&gt; ADN &lt;213&gt; Papaver somn &lt;400&gt; 6</pre>	ctaatctact	ccactaaatt	tattttggaa catgcattta	agcggagtga gatgaacaag	attaattaag	60 120
5 <	<pre>&lt;210&gt; 6 &lt;211&gt; 2918 &lt;212&gt; ADN &lt;213&gt; Papaver somn &lt;400&gt; 6</pre>	ctaatctact aacaggatga tccatgagaa	ccactaaatt ttattgatgg ctcgatccta	tattttggaa catgcattta accccacctg	ageggagtga gatgaacaag caactttage	attaattaag atacaccaaa taaactttaa	60 120 180
5 <	<pre>&lt;210&gt; 6 &lt;211&gt; 2918 &lt;211&gt; 2918 &lt;212&gt; ADN &lt;213&gt; Papaver somn &lt;400&gt; 6</pre>	ctaatctact aacaggatga tccatgagaa gaacaagatg	ccactaaatt ttattgatgg ctcgatccta ttattgaatc	tattttggaa catgcattta accccacctg attttatcta	ageggagtga gatgaacaag caactttage teaatggatg	attaattaag atacaccaaa taaactttaa ctgatcaata	60 120 180 240
5 <	<pre>&lt;210&gt; 6 &lt;211&gt; 2918 &lt;211&gt; 2918 &lt;212&gt; ADN &lt;213&gt; Papaver somn &lt;400&gt; 6</pre>	ctaatctact aacaggatga tccatgagaa gaacaagatg tcttatcttt	ccactaaatt ttattgatgg ctcgatccta ttattgaatc ttcttcaatc	tattttggaa catgcattta accccacctg attttatcta atttagatga	ageggagtga gatgaacaag caactttage teaatggatg acaaaaaaca	attaattaag atacaccaaa taaactttaa ctgatcaata caataagtgt	60 120 180 240 300
5 <	2210> 6 2211> 2918 2212> ADN 2213> Papaver somn 400> 6	ctaatctact aacaggatga tccatgagaa gaacaagatg tcttatcttt tctttgcttt	ccactaaatt ttattgatgg ctcgatccta ttattgaatc ttcttcaatc ccttcaactc	tattttggaa catgcattta accccacctg attttatcta atttagatga attcttccct	ageggagtga gatgaacaag caactttage teaatggatg acaaaaaaca ttaataacaa	attaattaag atacaccaaa taaactttaa ctgatcaata caataagtgt atatctttgc	60 120 180 240 300 360
5 <	2210> 6 2211> 2918 2212> ADN 2213> Papaver somn 2400> 6	ctaatctact aacaggatga tccatgagaa gaacaagatg tcttatcttt tctttgcttt cataacccca	ccactaaatt ttattgatgg ctcgatccta ttattgaatc ttcttcaatc ccttcaactc tgaacaacca	tattttggaa catgcattta accccacctg attttatcta atttagatga attcttccct acactagtaa	agcggagtga gatgaacaag caactttagc tcaatggatg acaaaaaaca ttaataacaa gtgtagtggt	attaattaag atacaccaaa taaactttaa ctgatcaata caataagtgt atatctttgc ttctcataac	60 120 180 240 300 360 420
5 <	2210> 6 2211> 2918 2212> ADN 2213> Papaver somn 2400> 6	ctaatctact aacaggatga tccatgagaa gaacaagatg tcttatcttt tctttgcttt cataacccca atcatttact	ccactaaatt ttattgatgg ctcgatccta ttattgaatc ttcttcaatc ccttcaactc tgaacaacca acctttaata	tattttggaa catgcattta accccacctg attttatcta atttagatga attcttccct acactagtaa acatatatct	agcggagtga gatgaacaag caactttagc tcaatggatg acaaaaaaca ttaataacaa gtgtagtggt ttgatttct	attaattaag atacaccaaa taaactttaa ctgatcaata caataagtgt atatctttgc ttctcataac tcgatcatt	60 120 180 240 300 360 420 480
5 <	2210> 6 2211> 2918 2212> ADN 2213> Papaver somnicus 2400> 6	ctaatctact aacaggatga tccatgagaa gaacaagatg tcttatcttt tctttgcttt cataacccca atcatttact atttttgctt	ccactaaatt ttattgatgg ctcgatccta ttattgaatc ttcttcaatc ccttcaactc tgaacaacca acctttaata tccaaaaagt	tattttggaa catgcattta accccacctg attttatcta atttagatga attcttccct acactagtaa acatatatct tatggcaaaa	ageggagtga gatgaacaag caactttagc tcaatggatg acaaaaaaca ttaataacaa gtgtagtggt ttgattttct agagacaacg	attaattaag atacaccaaa taaactttaa ctgatcaata caataagtgt atatctttgc ttctcataac tcgatcattt tgatcgaaca	60 120 180 240 300 360 420 480 540

acaaaactca cgagttgttg	aaaattggag	attatattta	taagataaaa	gggtcactcc	780
ctacacaacg acttgcactg	caagtgaaaa	agaaaaaaaa	caaacaacct	caatctagct	840
agagtcgtga aaaagttttg	tgcgactgtt	atttagttaa	ttataaaatt	tcaatgaagt	900
cgttaatgat gaacaagtta	ttatttctcc	aacggattac	tgattctcct	tcgaccacca	960
ttatcagtac ttttattgtt	acaataatat	ccattgtttt	tctctacact	gtcttgttga	1020
taaggacgac taagaataag	cagaagatag	cagcaccaaa	agcatcgggg	gcgtggccgt	1080
tcataggtca tctcaaacta	ttcatgaaac	aagatactca	gttttacaga	actctaggaa	1140
ccatgtctga taaatacggg	tcggtgttca	cacttcgatt	aggaaaccaa	gcaatcctag	1200
ttgtgagcaa ctgggagatg	gtaaaagaat	gtttcacaac	aaacgacaag	tcattctcga	1260
atcgtccaag tacgttaagc	actaaataca	tgctgaatga	cactaattct	gtcgtgtttt	1320
caccttacgg aacgtattgg	agagaaatgc	ggaagatatt	ggtgcaaaaa	ctactgatct	1380
ctaaccaaag atcagaggca	ttgaaaaatc	tgaaaacgaa	agaaatcgac	aactcgtttg	1440
taaagcttaa tgatttatgc	aacaacgatg	tcagtggagg	aggcacaaaa	gttaggatgg	1500
acgaatggtt ggctgacatg	atgttcaaca	ttattgctag	gattacattt	ggttaccaaa	1560
geggaggagg egatgeacet	ggtatgtgat	catcaaattt	tcgttaaaac	caaattaact	1620
tgtactatat cttatgttta	catgttatat	tgatcacttt	gacacgttct	gatcattttc	1680
acaaatcgaa ttaggcgctt	ctacaacatc	caagaatgtc	gagagataca	agaaaacgtt	1740
ggacgagatg tttgttgttt	tagegaegag	gtttgcagtt	tcagatatat	ttccatctct	1800
ggagtttata gaccgattga	gaggtcttgt	aaaggatatg	aaaatcttgg	gagacgaatt	1860
aaactccatt gctggatgtt	ttattgaaga	acatcgtcaa	aagagacgag	aatcattatc	1920
ctcattgtta tctttgtcaa	atgaatccgt	tggtgatgaa	caagatttca	ttgatgttct	1980
cttgtcaata atggatcagt	caeggettee	cggagatgac	ccagatttta	ttatcaaaat	2040
tatgateetg gtaacatata	ttacaacagt	atttctttaa	gttatggatt	aatggatgtc	2100
gtaaccatga atattttct	gatctggata	aatgtaatcc	ggaactaata	tatgaatatt	2160
gttgacgcag gaagcttttg	caggtgggac	ggacagttta	agtgcaacct	taacttgggt	2220
cctctctcta ctgctgaacc	acccaaacgt	gttaaagagg	gcaagggagg	aaatagatag	2280
gcatgtggaa aacggtaagc	aagtggaagt	gtctgatatt	ccgaagctcg	gatacattga	2340
tgcaataatc aaagagacga	tgagattgta	tccagtcgga	gcattaagcg	aacgatacac	2400
gactgaagaa tgcgaggttg	gtcggtttaa	cgtacccgct	ggcacacgct	tactggtgaa	2460
tatatggaag atccacagag	acccaagtgt	gtgggagaat	ccatcagatt	ttcaaccaga	2520
gaggtttttg tgcagcgata	aggtgggtgt	ggatttatat	ggccagaatt	atgagctgat	2580
accatttggg gccggtagga	gggtatgtcc	ggctatagtt	tcatcactgc	agacgatgca	2640

	ttatgcgttg	gcgcgtctta	ttcaaggata	tgaaatgaaa	tcagccagcc	tcgatgggaa	2700
	ggtgaatatg	gaagaaatga	tagccatgtc	gtgccacaag	atgagccctc	ttgaagttat	2760
	tatcagtcct	cgggagccga	ggcggagtta	aatcttatgt	tccaatttta	cattagcatc	2820
	tttgattatg	aaatgtattg	ctcttaagtt	tcttttttgt	tttttatatt	tttaagcttg	2880
040		tcagcgaaaa	tgatgatgac	agaatcgt			2918
	1915 ADN Papaver somnii	ferum					
<400>		tcatggcgta	tttgatgatc	aagaagtcta	tctatttgtt	ttttgatcaa	60
	ccaactgcag	ttggcactct	tatacttgct	tttctgctga	cactttcgcc	tgttattatt	120
	tactatgaac	agaagaagag	gggtttgagg	cgaaatcgca	ccgcaattac	aacgactcca	180
	ttaccagagg	catcaggtgc	atggccagtg	ataggtcatc	ttcttctttt	catgaacgaa	240
	aacgatctaa	atcatgtaac	tcttggtcac	atggctgata	aatatggacc	tattttcagc	300
	ttaagattcg	gtagacatag	aactctagtt	gttagtagtt	gggagatggt	aaaggagtgt	360
	tttacaggta	ccaatgacaa	gttgttctca	aatcgtcctt	cctccttggc	ggttaaactt	420
	atgttttatg	acactgaatc	ttatggtttt	gcaccttatg	ggaaatactg	gagagagttg	480
	cgaaagatat	ctacacacaa	actcctctct	aatcagcaat	tagagaagtt	caagcacttg	540
	cggatttctg	aagtcgataa	ctcctttaaa	aagcttcatg	agttatgcag	caacaacaaa	600
	cagggaggtg	atactacata	tgtggctagt	cttgtgagaa	tggatgattg	gttcgcgtac	660
	ttgacattta	acgtaatagg	acggatcgtc	agcggattcc	aatcaaatgc	agtggcaggt	720
	gagctcatat	agctaggttt	ttatatgttt	ggtttgtaca	cacacagete	attcatattc	780
	taaactgaat	tatatgttat	aattgaacaa	cataggtgcc	acaaacagcc	aggaaaaata	840
	caagcttgca	atcgatgaag	tgtcaaatct	tatggcaacg	tttgccgttt	cagatgtggt	900
	tccacggctt	gggtggattg	atcgattgac	tggtcttaca	ggaaagatga	agaattgtgg	960
	taaaaaatta	gatgcagtag	ttggggatgc	agtggaggat	catcgccaaa	agaaactcaa	1020
	aatttctaga	aataacacag	gagcacttac	ggagcacgaa	gaagaagact	ttatcgatgt	1080
	ttgcttgtcg	attatggagc	agtcacagat	tccgggaaac	caccccgaaa	tctctgtcaa	1140
	atctattgcc	ttggtaatac	gtctcataag	catgttagca	gattttacct	ctatatatac	1200
	ttacatatta	ttttttatca	atcacacata	tgtgcaggac	atgttatcgg	gtgggagtga	1260
	cactacaaaa	ttgataatga	catggaccct	ttctttgctg	ttgaaccatc	cagacatatt	1320
	ggacaaggct	aaagaagaag	tagatacata	cttcgggaag	aaaaagatat	cggataacac	1380

	acctgtggtt	gatgctgccg	atgttcctaa	cctcgtctac	atccaagcaa	tcatcaaaga	1440
	atcaatgcgg	ttataccctg	ctagcacatt	gatggagcga	atgacaagtg	atgattgtga	1500
	tgttggtggc	ttccacgtac	cagctgggac	acgattatgg	gttaacgtat	ggaagatgca	1560
	acgggaccca	agggtgtgga	aagatccact	ggtatttcta	cctgagagat	tcttgagcaa	1620
	tgacaaaggg	atggtagatg	tgaagggtca	gaattatgaa	ctgataccat	ttggaacagg	1680
	caggcggata	tgtcctggtg	catcttttgc	cttggaagtc	ttgcatttgg	ttcttactcg	1740
	tcttattctt	gagttcgaga	tgaaggcacc	agaggggaaa	attgacatga	gggcaagacc	1800
	aggtttttc	cacaacaagg	tggtgccact	agatgttcaa	ctcaccccac	gcacactaga	1860
	210> 8	tatatatgct	aattaattag	atgaataaaa	tctgtggtcg	agtaa	1915
<2	211> 1133 212> ADN						
	213> Papaver somni 400> 8	ferum					
		caacaatggc	agatccttat	gaattcctaa	tgtgcattca	caatcctgaa	60
	gaagataccc	taacaagaaa	ttttccgatt	cctgctactc	ccttagatca	aaacaccaaa	120
	gacatttctt	taaatcctga	taggaaaacc	tcacttcgaa	tctttcggcc	accaaccaaa	180
	gaacctcctg	taacaaagaa	taagctgctt	cctatcataa	tttatttcca	tggtggaggt	240
	ttcattcttt	tcaatgcaga	ttcaactatg	aaccatgact	tttgtcaatc	gattgctaca	300
	catatacccg	cgctggtcgt	ttctgtagac	taccgtcttg	ctcctgaaaa	ccgacttccc	360
	gctgcctatg	atgatgctgt	tgatgcttta	aactgggtca	aagaccaagg	tttaggcaaa	420
	ctaaataata	gtgaagtatg	gttaaaagag	tatggtgact	tctcaaagtg	tttcattatg	480
	gggtgcagct	caggtgctaa	tgttgcatat	catgccagtt	taagagcaat	agaaatggat	540
	cttgaaccag	ctaagattaa	tggattaata	ttacactgcc	ctttttttgg	tagtcttgag	600
	agaactgaat	cagattcaaa	agtgatcaac	aatcaggact	tgccgcttgc	cgtaagggat	660
	gtcatgtggg	aactggcgtt	gccgcttggg	tctactcgtg	atcacgttta	ttgtaatccg	720
	aatattgatc	atgatggatc	atcatctgga	aatatggtgg	ggttaatcga	gagatgtttt	780
	gtggtaggat	tttatgggga	tccacttatt	gatcgacaaa	ttcagctggt	gaagatgctg	840
	gaggaaaaag	gtgtgaaggt	tgaaacttgg	attgaacaag	gagggtatca	tggggtgcta	900
	tgctttgacc	ctatgatacg	tgaaaccttt	ttggaaaaac	taaaacattt	tattttaaac	960
	gacgaattta	tatactaaaa	tatattatta	gtattaaaca	atgaaattct	tattttttct	1020
	aaaatgagct	tttggacgaa	acattgtgta	cgaactagct	gatgtaattt	ttcgttttac	1080
	cggattttc	atttttttg	ctttctttct	gctctcttt	ataagtcgtt	ctt	1133
<2 10 <2 <2	210> 9 211> 2488 212> ADN 213> Papaver somni 400> 9	ferum					

ctaacaggca	aacaataaca	ggttgcacct	acaacattca	atttttattt	tggtaaatga	60
agttcagttg	gagagtaacc	acatctttgt	tgtcggcatt	gcccccacaa	tactgagtgt	120
tttggctgag	tgtagtctga	ctgtaggtaa	gctacaactg	catgttgcag	ataataatca	180
ctaactgatt	attcatgcat	acctaacagt	catattgtta	tagttcccaa	aaaaaattct	240
cgaactataa	aggcatgcat	ggacagaaaa	atatatcaga	gagatatcag	aaattcaaag	300
agatggaagg	aacagggaag	atagtatgtg	taacaggtgg	agctggatac	ttggcatctt	360
ggctgatcat	gagattgctt	gaacgtggtt	actctgttcg	gaccaccgtt	cggtctgacc	420
caagtacgta	ataaattaaa	tttcctggca	tcattttctt	caatataaat	ttcttattat	480
ctagttcatc	attctttatt	gttccaatca	tgtcccccca	agtctaaaag	aagtagtaat	540
ctaaaaatag	ctaatttatg	tacgaaattg	taacaatgat	ctcctagctt	atgaggctca	600
cctaatttcg	tttctatcat	tttgtgtctt	gaaagaattt	agggaagatg	tgagccacct	660
taaagctctt	cctgaagcta	cagagaagct	tcaaattttt	gaagcagatc	ttgaaaaccc	720
agaaagtttc	gacgatgcga	tcaacggttg	tgtcggtgtc	tttctcgttg	ctcaaggaat	780
gaattttgcc	gaagaatata	ctcttgaaaa	aataatcaaa	acatgcgtgg	aaggaactct	840
tagaattcta	cagtcatgct	tgaaatctaa	aacagtgaaa	aaggttgtgt	acacatcttc	900
tgctgatgca	gcaatgatga	taagtaatct	caaagctgtt	aaagaaattg	acgagacaat	960
atggtcagaa	gttgacaatt	tcattagcaa	accggaacaa	gttattcctg	gattgccctc	1020
atatgtggtt	tcaaaggtac	tgacagaaag	agcttgccta	aagttttctg	aagaacatgg	1080
tttggatgtt	gttactatac	ttcctccgtt	ggttgttgga	ccttttatca	ctccccatcc	1140
tecteccagt	gtatctatag	ctctttcgat	aatttcaggt	atcctctcca	tccgaaaaat	1200
atgccaattc	ctaaacttaa	aaggcatatt	gatatttaat	aatacctcca	tacctaaaaa	1260
aagagttgct	atataacatt	tttaattttc	gcccattttt	aggcctaatt	gaaaaagtta	1320
taataacatt	ttaggaagga	gggagaatga	tttttgagca	aaccttagaa	ctgtgtggtg	1380
agatttgtcc	gttatcattg	ttggtataac	tgtgtatatc	atggttttta	aaagcgccgc	1440
tcacgctacg	cttcgtacgg	ttcggtctag	attttttaa	ttcgctccga	agcgtagtta	1500
tgaagctacc	atgaagcgcc	gcttcacgct	acgtttcgta	cgcttcgctt	cagattttc	1560
aaattcgctc	cgaggcgaat	ctaccatgaa	gtggaagatt	cctttaattg	attcactttt	1620
ttacttagtc	aagtctttt	tagggggttt	cgaaaactaa	agtgaaccac	tgcgcctcgc	1680

		tactgtttt	gaaattaact	agaettatat	taaattgata	caattattat	atetteetaa	1740
		atattaaatt	attaataaca	aactactact	atttatagga	aaaaattcgc	ttcaaatatc	1800
		aatcataaaa	cgacgcttca	catttcaaca	tgcgcatcgc	ttcgtataaa	aaaaaaacgc	1860
		ttcacgcttt	caataccttg	gtgtacatag	attaatactt	cctcctctgc	gctggtgtta	1920
		acatttctgt	gtttcgttta	tatatatgac	caggtgatgt	gtcgatgatg	cttggtgtta	1980
		gacttgaaaa	tgcggtacat	atagatgatg	ttgctttagc	acacatattc	gtttttgaat	2040
		gtgaaaaagc	aaaaggaaga	catatttgtt	cttcagttga	ttttccaatg	catgatctgc	2100
		ctaaatttat	atctgagaat	tatccggaat	tcaacgtacc	gactgagtga	gtttatcttt	2160
		caccaccttc	tttattatta	ttcatcaagt	cactttgggt	attttaacct	tattgttttt	2220
		actgaattat	catcagttta	ctaaaggata	ttgaggaaca	agaaccagtt	catctttcct	2280
		cagataagct	gttgagtatg	ggatttcagt	tcaaatatga	ttttgcagag	attttcggtg	2340
		atgcaatacg	atgtgccaaa	gagaagggtt	tcctttagag	accaactata	gtttggttcg	2400
		gaggagatgt	gggagtagct	agcccaaaat	gccctgctcg	cactagctta	tattattgtt	2460
	<210> 1	attgttttc	aaatgaataa	acgggcag				2488
	<211> 1	1572						
5	<212> /	ADN Papaver somni	ferum					
			ioraiii					
	<400> 1	10	ccaatttgca	ttgtttatcg	accttgagga	acaattaggg	gatatggcaa	60
	<400> 1	10 cgcatataat						60 120
	<400> 1	ogcatataat caatgtctag	ccaatttgca	gaagtgatct	cgaaagaaac	gattaaacca	agaaatccaa	
	<400> 1	cgcatataat caatgtctag caccatatca	ccaatttgca tgctgctgta	gaagtgatct tacaatatgt	cgaaagaaac cacttctcga	gattaaacca ccaatattct	agaaatccaa tctctagttt	120
	<400> 1	cgcatataat caatgtctag caccatatca atgttccgat	ccaatttgca tgctgctgta acttagaaac	gaagtgatct tacaatatgt taccctgctg	cgaaagaaac cacttctcga cctccgacgc	gattaaacca ccaatattct taatagtacc	agaaatccaa tctctagttt ggaagtaagc	120 180
	<400> 1	cgcatataat caatgtctag caccatatca atgttccgat accatgatga	ccaatttgca tgctgctgta acttagaaac cattcttttc	gaagtgatct tacaatatgt taccctgctg cttaagaggt	cgaaagaaac cacttctcga cctccgacgc ctctttctga	gattaaacca ccaatattct taatagtacc aacgctagtt	agaaatccaa tctctagttt ggaagtaagc cacttttatc	120 180 240
	<400> 1	cgcatataat caatgtctag caccatatca atgttccgat accatgatga caatggctgg	ccaatttgca tgctgctgta acttagaaac cattcttttc tcttcacttg	gaagtgatct tacaatatgt taccctgctg cttaagaggt gacaacatga	cgaaagaaac cacttctcga cctccgacgc ctctttctga ctgttgactg	gattaaacca ccaatattct taatagtacc aacgctagtt taacgacgaa	agaaatccaa tctctagttt ggaagtaagc cacttttatc ggtattgact	120 180 240 300
	<400> 1	cgcatataat caatgtctag caccatatca atgttccgat accatgatga caatggctgg ttttcgaagt	ccaatttgca tgctgctgta acttagaaac cattcttttc tcttcacttg taggatgaaa	gaagtgatct tacaatatgt taccctgctg cttaagaggt gacaacatga ggtagaatgt	cgaaagaaac cacttetega ceteegaege etetttetga etgttgaetg gtgaetteat	gattaaacca ccaatattct taatagtacc aacgctagtt taacgacgaa gatgaaatca	agaaatccaa tctctagttt ggaagtaagc cacttttatc ggtattgact gatgcacact	120 180 240 300 360
	<400> 1	cgcatataat caatgtctag caccatatca atgttccgat accatgatga caatggctgg ttttcgaagt taagtctgct	ccaatttgca tgctgctgta acttagaaac cattcttttc tcttcacttg taggatgaaa aagaatcaaa	gaagtgatct tacaatatgt taccctgctg cttaagaggt gacaacatga ggtagaatgt gaagtcgctt	cgaaagaaac cacttctcga cctccgacgc ctctttctga ctgttgactg gtgacttcat ccacgaactt	gattaaacca ccaatattct taatagtacc aacgctagtt taacgacgaa gatgaaatca cgtgaaggaa	agaaatccaa tctctagttt ggaagtaagc cacttttatc ggtattgact gatgcacact gcacaggtga	120 180 240 300 360 420
	<400> 1	cgcatataat caatgtctag caccatatca atgttccgat accatgatga caatggctgg ttttcgaagt taagtctgct	ccaatttgca tgctgctgta acttagaaac cattcttttc tcttcacttg taggatgaaa aagaatcaaa tcttccgtct	gaagtgatct tacaatatgt taccctgctg cttaagaggt gacaacatga ggtagaatgt gaagtcgctt gattgcggtg	cgaaagaaac cacttctcga cctccgacgc ctctttctga ctgttgactg gtgacttcat ccacgaactt gaactgccat	gattaaacca ccaatattct taatagtacc aacgctagtt taacgacgaa gatgaaatca cgtgaaggaa ttgtttctgt	agaaatccaa tctctagttt ggaagtaagc cacttttatc ggtattgact gatgcacact gcacaggtga atatcaaaca	120 180 240 300 360 420
	<400> 1	cgcatataat caatgtctag caccatatca atgttccgat accatgatga caatggctgg ttttcgaagt taagtctgct ttgttcaagt agattgcaga	ccaatttgca tgctgctgta acttagaaac cattctttc tcttcacttg taggatgaaa aagaatcaaa tcttccgtct gaacatgttt	gaagtgatct tacaatatgt taccetgetg cttaagaggt gacaacatga ggtagaatgt gaagtegett gattgeggtg atgattacct	cgaaagaaac cacttctcga cctccgacgc ctctttctga ctgttgactg gtgacttcat ccacgaactt gaactgccat tcattcgtag	gattaaacca ccaatattct taatagtacc aacgctagtt taacgacgaa gatgaaatca cgtgaaggaa ttgtttctgt tttggcaggc	agaaatccaa tctctagttt ggaagtaagc cacttttatc ggtattgact gatgcacact gcacaggtga atatcaaaca accaccaaca	120 180 240 300 360 420 480 540
	<400> 1	cgcatataat caatgtctag caccatatca atgttccgat accatgatga caatggctgg ttttcgaagt taagtctgct ttgttcaagt agattgcaga tagctcgtcg	ccaatttgca tgctgctgta acttagaaac cattctttc tcttcacttg taggatgaaa aagaatcaaa tcttccgtct gaacatgttt tgcatgcacc	gaagtgatct tacaatatgt taccetgetg cttaagaggt gacaacatga ggtagaatgt gaagtegett gattgeggtg atgattacct attgetgeac	cgaaagaaac cacttctcga cctccgacgc ctctttctga ctgttgactg gtgacttcat ccacgaactt gaactgccat tcattcgtag caaccacaaa	gattaaacca ccaatattct taatagtacc aacgctagtt taacgacgaa gatgaaatca cgtgaaggaa ttgtttctgt tttggcaggc tcagaattg	agaaatccaa tctctagttt ggaagtaagc cacttttatc ggtattgact gatgcacact gcacaggtga atatcaaaca accaccaaca gttccttctt	120 180 240 300 360 420 480 540
	<400> 1	cgcatataat caatgtctag caccatatca atgttccgat accatgatga caatggctgg ttttcgaagt taagtctgct ttgttcaagt agattgcaga tagctcgtcg	ccaatttgca tgctgctgta acttagaaac cattctttc tcttcacttg taggatgaaa aagaatcaaa tcttccgtct gaacatgttt tgcatgcacc tgggagctct	gaagtgatct tacaatatgt taccctgctg cttaagaggt gacaacatga ggtagaatgt gaagtcgctt gattgcggtg atgattacct attgctgcac ccacctagtg	cgaaagaaac cacttetega ceteegaege etetttetga etgttgaetg gtgaetteat ecaegaaett gaaetgeeat teattegtag caaecacaaa aaeaattgge	gattaaacca ccaatattct taatagtacc aacgctagtt taacgacgaa gatgaaatca cgtgaaggaa ttgtttctgt tttggcaggc tcagaatttg atctcaagtt	agaaatccaa tctctagttt ggaagtaagc cacttttatc ggtattgact gatgcacact gcacaggtga atatcaaaca accaccaaca gttccttctt tcctatccta	120 180 240 300 360 420 480 540 600

ggccgacaag	ggttgaggta	gtttccgctt	tgatatggaa	gtcagcagtg	aaatctgctc	900
cgcccggttc	tatatccact	gtaacccatg	ccatgaactt	tagaaagaaa	atggatccac	960
cattacaaga	tgcgtcattc	gggaatcttt	gtgtggttgt	tacagcagta	ttaccagcaa	1020
caacggcgac	aacaacaaat	ccagcaacca	aaaaagttag	tagtacgagt	aatgaagagc	1080
aagtggcact	tgatgagtta	agtgattttg	tagccctatt	gaggcgcgaa	atagataagg	1140
taaagggtga	taaaggttgc	atggagaaaa	tcattcaaaa	gttcatctat	ggtcatgatg	1200
cttccgtagc	gaaagacagt	gatgttgaag	ataaggtgac	agctttgttt	atgactagct	1260
ggtgcaagtt	tggattctac	gaagctgatt	ttggttgggg	aacgccagtt	tgggtaacta	1320
ctgttccatt	aattgagcca	aagtacaaga	acatggtttt	catgaacgat	atgaaatgtg	1380
gtgaaggaat	tgaagtgtgg	gtgaattttc	tggaggatga	tatgaccaag	ttcgaacacc	1440
acctaagaga	gatectecaa	ctgttttgat	tttcaaccgt	ttccctaata	gaggtcaatt	1500
gtcgtgtttg	tccatcttaa	ctaccatctt	tattctcttg	ttttcatact	tgtatttgtc	1560
ttactccggt	aa					1572

<210> 11

<211> 390

<212> PRT

5 <213> Papaver somniferum

<400> 11

Met Ala Thr Asn Gly Glu Ile Phe Asn Thr Tyr Gly His Asn His Gln 1  $\phantom{\bigg|}$  5  $\phantom{\bigg|}$  10  $\phantom{\bigg|}$  15

Ser Ala Thr Val Thr Lys Ile Thr Ala Ser Asn Glu Ser Ser Asn Gly 20 25 30

Val Cys Tyr Leu Ser Glu Thr Ala Asn Leu Gly Lys Leu Ile Cys Ile 35 40 45

Pro Met Ala Leu Arg Ala Ala Met Glu Leu Asn Val Phe Gln Leu Ile 50 55

Ser Lys Phe Gly Thr Asp Ala Lys Val Ser Ala Ser Glu Ile Ala Ser 65 70 75 80

Lys Met Pro Asn Ala Lys Asn Asn Pro Glu Ala Ala Met Tyr Leu Asp 85 90 95

Arg Ile Leu Arg Leu Leu Gly Ala Ser Ser Ile Leu Ser Val Ser Thr

Thr	Lys	<b>Lys</b> 115	Ser	Ile	Asn	Arg	Gly 120	Gly	Asp	Asp	Val	Val 125	Val	His	Glu
Lys	Leu 130	Tyr	Gly	Leu	Thr	Asn 135	Ser	Ser	Cys	Cys	Leu 140	Val	Pro	Arg	Gln
Glu 145	Asp	Gly	Val	Ser	Leu 150	Val	Glu	Glu	Leu	<b>Leu</b> 155	Phe	Thr	Ser	Asp	Lys 160
Val	Val	Val	Asp	Ser 165	Phe	Phe	Lys	Leu	Lys 170	Cys	Val	Va1	G1u	Glu 175	Lys
Asp	Ser	Val	Pro 180	Phe	Glu	Val	Ala	His 185	Gly	Ala	Lys	Ile	Phe 190	Glu	Tyr
Ala	Ala	Thr 195	Glu	Pro	Arg	Met	Asn 200	Gln	Val	Phe	Asn	<b>Asp</b> 205	Gly	Met	Ala
Val	Phe 210	Ser	Ile	<b>V</b> al	Val	Phe 215	Glu	Ala	Val	Phe	Arg 220	Val	Tyr	Asp	Gly
Phe 225	Leu	Asp	Met	Lys	Glu 230	Leu	Leu	Asp	Val	Gly 235	Gly	Gly	Ile	Gly	Thr 240
Ser	Val	Ser	Lys	Ile 245	Val	Ala	Lys	Tyr	Pro 250	Leu	Ile	Arg	Gly	<b>Val</b> 255	Asn
Phe	Asp	Leu	Pro 260	His	Val	Ile	Ser	Val 265	Ala	Pro	Gln	туг	Pro 270	Gly	Val
Glu	His	Val 275	Ala	Gly	Asp	Met	Phe 280	Glu	Glu	Val	Pro	<b>Lys</b> 285	Gly	Gln	Asn
Met	Leu 290	Leu	Lys	Trp	Val	Leu 295	His	Asp	Trp	Gly	<b>Asp</b> 300	Glu	Arg	Cys	Val
Lys 305	Leu	Leu	Lys	Asn	Cys 310	Trp	Asn	Ser	Leu	Pro 315	Val	Gly	Gly	Lys	Val 320
Leu	Ile	Ile	Glu	Phe 325	Val	Leu	Pro	Asn	Glu 330	Leu	Gly	Asn	Asn	Ala 335	Glu
Ser	Phe	Asn	Ala 340	Leu	Ile	Pro	Asp	Leu 345	Leu	Leu	Met	Ala	Leu 350	Asn	Pro

Ala Gly Phe Ile Lys Thr Ile Pro Ile Pro Ile Ser Asn Gly Leu His 370 375 380

Val Ile Glu Phe His Lys 385 390

<210> 12

<211> 356

<212> PRT

5 <213> Papaver somniferum

<400> 12

Met Glu Ile His Leu Glu Ser Gln Glu Gln Glu Met Lys Tyr Gln Ser 1 5 10 15

Gln Ile Trp Asn Gln Ile Cys Gly Thr Val Asp Thr Ser Val Leu Arg 20 25 30

Cys Ala Ile Gln Leu Gly Ile Phe Asp Ala Ile His Asn Ser Gly Lys  $35 \hspace{1.5cm} 40 \hspace{1.5cm} 45$ 

Pro Met Ile Thr Leu Thr Glu Leu Ser Ser Ile Val Ser Ser Pro Ser 50

Ser Ser Ser Ile Glu Pro Cys Asn Leu Tyr Arg Leu Val Arg Tyr Leu 65 70 75 80

Ser Gln Met Asp Leu Ile Ser Ile Gly Glu Cys Leu Asn Glu Ala Thr 85 90 95

Val Ser Leu Thr Gly Thr Ser Lys Leu Leu Leu Arg Asn Gln Glu Lys
100 105

Ser Leu Ile Asp Trp Val Leu Ala Ile Ser Cys Glu Met Met Val Val 115 120 125

Val Trp His Glu Leu Ser Ser Ser Val Ser Thr Pro Ala Asp Glu Pro 130 135 140

Pro Ile Phe Gln Lys Val His Gly Lys Asn Ala Leu Glu Leu Ala Gly 145 150 155

Glu Phe Pro Glu Trp Asn Asp Leu Ile Asn Asn Ala Met Thr Ser Asp 165 170 175

Thr Ser Val Thr Lys Pro Ala Leu Ile Gln Gly Cys Gly Lys Ile Leu 180 185 190

Asn Gly Val Thr Ser Leu Ile Asp Val Gly Gly Gly His Gly Ala Thr

	Met	Ala 210	Tyr	Ile	Val	Glu	Ala 215	Phe	Pro	His	Ile	<b>Lys</b> 220	Gly	Ala	Val	Ile
	Asp 225	Leu	Pro	His	Val	Val 230	Glu	Ala	Ala	Pro	Glu 235	Arg	Pro	Gly	Val	Glu 240
	Phe	Ile	Ser	Gly	Asp 245	Ile	Phe	Lys	Ser	Ile 250	Ser	Asn	Ala	Asp	<b>Ala</b> 255	Val
	Leu	Leu	Lys	<b>Tyr</b> 260	Val	Leu	His	Asn	Trp 265	Glu	Asp	Thr	Glu	Cys 270	Val	Asn
	Leu	Leu	<b>Lys</b> 275	Arg	Cys	Lys	Glu	Ala 280	Val	Pro	Ala	Asp	Lys 285	Gly	Lys	Val
	Ile	Ile 290	Met	Asp	Leu	Val	Ile 295	Asp	Asp	Asp	Asp	Asn 300	Ser	Ile	Leu	Thr
	Gln 305	Ala	Lys	Leu	Ser	Leu 310	Asp	Leu	Thr	Val	Met 315	Asn	His	Gly	Gly	Gly 320
	Arg	Glu	Arg	Thr	Lys 325	Glu	Asp	Trp	Arg	<b>Asn</b> 330	Leu	Ile	Glu	Met	Ser 335	Gly
	Phe	Ser	Arg	His 340	Glu	Ile	Ile	Pro	Ile 345	Ser	Ala	Met	Pro	Ser 350	Ile	Ile
<210> 13 <211> 339	Val	Ala	<b>Tyr</b> 355	Pro												
<212> PRT <213> Papave	r som	niferu	ım													
<400> 13	Met 1	Glu	Val	Val	Ser 5	Lys	Ile	Asp	Gln	Glu 10	Asn	Gln	Ala	Lys	Ile 15	Trp
	Lys	Gln	Ile	Phe 20	Gly	Phe	Ala	Glu	Ser 25	Leu	Val	Leu	Lys	Cys 30	Ala	Val
	Gln	Leu	Glu 35	Ile	Ala	Glu	Thr	Leu 40	His	Asn	Asn	Val	Lys 45	Pro	Met	Ser

Leu	50	GIU	ьeu	ALA	ser	55	Leu	PIO	Ala	GIU	60	Val	ASII	GIU	Asp
Arg 65	Leu	Tyr	Arg	Ile	Leu 70	His	Phe	Leu	Val	His 75	Met	Lys	Leu	Phe	Asn 80
Lys	Asp	Ala	Thr	Thr 85	Gln	Lys	Tyr	Ser	Leu 90	Ala	Pro	Pro	Ala	Lys 95	Tyr
Leu	Leu	Lys	Gly 100	Trp	Glu	Lys	Ser	Met 105	Val	Pro	Ser	Ile	Leu 110	Ser	Val
Thr	Asp	Lys 115	Asp	Phe	Thr	Ala	Pro 120	Trp	Asn	His	Leu	Gly 125	Asp	G1y	Leu
Thr	Gly 130	Asn	Cys	Asn	Ala	Phe 135	Glu	Lys	Ala	Leu	Gly 140	Lys	Gly	Ile	Arg
Val 145	Tyr	Met	Arg	Glu	Asn 150	Pro	Glu	Lys	Asp	Gln 155	Leu	Phe	Asn	Glu	Gly 160
Met	Ala	Cys	Asp	Thr 165	Arg	Leu	Phe	Ala	Ser 170	Ala	Leu	Val	Asn	Glu 175	Cys
Lys	Ser	Ile	Phe 180	Ser	Asp	Gly	Ile	<b>Asn</b> 185	Thr	Leu	Ala	Gly	Val 190	Gly	Arg
Gly	Thr	Gly 195	Thr	Ala	Va1	ГÀЗ	<b>Ala</b> 200	Ile	Ser	Lys	Ala	Phe 205	Pro	Asp	Ile
Lys	Cys 210	Thr	Ile	His	Asp	Leu 215	Pro	Glu	Val	Thr	Ser 220	Lys	Asn	Ser	Lys
Ile 225	Pro	Arg	Asp	Val	Phe 230	ГÀЗ	Ser	Val	Pro	Ser 235	Ala	Asp	Ala	Ile	Phe 240
	_			245					250				Ile	255	
	-	-	260	-				265	-	-	-	-	Val 270		
		275					280					285	Ser	_	
Arg	Leu 290	Ala	Met	Asp	Leu	Ala 295	Met	Met	Leu	His	Thr 300	Gly	Gly	Lys	Glu

Arg Thr Glu Glu Asp Trp Lys Lys Leu Ile Asp Ala Ala Gly Phe Ala

<210> 14 <211> 540 <212> PRT

<400> 14

Ser Cys Lys Ile Thr Lys Leu Ser Ala Leu Gln Ser Val Ile Glu Ala Tyr Pro His 5 <213> Papaver somniferum Met Glu Leu Phe Ile Lys Leu Pro Phe Ile Gln Pro Ile Pro Phe Ser Ile Ile Leu Val Thr Thr Val Ser Ile Val Leu Leu Tyr Ser Val Phe 25 Phe Trp Val Thr Asp Lys Lys Lys Arg Lys Lys Ala Pro Asn Ala Ala Gly Ala Trp Pro Leu Ile Gly His Leu Arg Leu Leu Met Asn Asp Lys Glu Pro Leu Tyr Arg Ala Leu Gly Ser Met Ala Asp Lys Tyr Gly Pro Ala Phe Asn Ile Arg Leu Gly Asn Gln Glu Val Leu Val Val Ser Asn Trp Glu Met Val Lys Gln Cys Phe Gly Asn Gln Asn Asp Lys Leu 100 Phe Ser Asn Arg Gln Thr Thr Leu Ala Ala Lys Tyr Met Leu Asn Gln Thr Thr Ser Ser Gly Phe Ala Pro Tyr Gly Pro Tyr Trp Arg Glu Leu Arg Lys Ile Met Val Gln Gln Leu Leu Ser Lys Gln Ser Leu Glu Ser Trp Lys His Leu Lys Ile Lys Glu Met Asp Ala Ser Phe Ser Lys Leu 165 170

Asn Glu Leu Cys Asn Asn Asn Gly Thr Gly Thr Ala Thr Leu Ile Arg

Met	Asp	Glu 195	Trp	Phe	Ala	Glu	Leu 200	Thr	Phe	Asn	Val	Ile 205	Ala	Arg	Asn
Val	Phe 210	Gly	Tyr	<b>Gl</b> n	Ser	Gly 215	Gly	Arg	Ser	Thr	Ala 220	Leu	Thr	Asn	Gly
<b>Asp 22</b> 5	Thr	Glu	Ser	Lys	Gly 230	Glu	Arg	Tyr	Lys	<b>Lys</b> 235	Thr	Leu	Glu	Glu	Ala 240
Leu	His	Leu	Met	Ser 245	Ile	Phe	Ala	Val	Ser 250	Asp	Ile	Phe	Pro	Ser 255	Leu
Glu	Trp	Val	Asp 260	Arg	Leu	Arg	Gly	Leu 265	Ile	Arg	Asn	Met	Lys 270	Arg	Phe
Gly	Asp	Glu 275	Leu	Asn	Ser	Ile	Ala 280	Gly	Cys	Leu	Ile	Glu 285	Glu	His	Arg
Gln	Lys 290	Arg	Leu	Gln	Ser	Val 295	Ser	Lys	Ser	Asp	<b>Lys</b> 300	Gly	Val	Gly	Asp
Glu 305	Gln	Asp	Phe	Val	Asp 310	Val	Leu	Leu	Ser	Val 315	Ala	Glu	Lys	Ser	Gln 320
Leu	Pro	Gly	Asp	Asp 325	Pro	Asp	Leu	Val	Ile 330	Lys	Ser	Met	Ile	Leu 335	Glu
Ile	Val	Ser	Gly 340	Gly	Ser	Glu	Thr	Thr 345	Ser	Ser	Thr	Leu	<b>Thr</b> 350	Trp	Ala
Leu	Cys	Leu 355	Leu	Leu	Asn	His	Pro 360	His	Val	Leu	Lys	Lys 365	Ala	Lys	Glu
Glu	Leu 370	Asp	Thr	His	Val	Gly 375	Lys	Asp	Arg	His	<b>Val</b> 380	Glu	Glu	Ser	Asp
Thr 385	Pro	Lys	Leu	Val	Tyr 390	Ile	Asn	Ala	Ile	Ile 395	Lys	Glu	Ser	Met	Arg 400

Leu Tyr Pro Asn Gly Ala Met Leu Asp Arg Leu Ala Leu Glu Glu Cys

Glu Val Gly Gly Phe His Val Pro Ala Gly Gly Arg Leu Phe Val Asn

		Val	Trp	Lys 435	Ile	Gln	Arg	Asp	Pro 440	Ser	Val	Trp	Glu	Asn 445	Pro	Leu	Glu
		Phe	Lys 450	Pro	Glu	Arg	Trp	Phe 455	Leu	Ser	Asn	Gly	Glu 460	Lys	Met	Asp	Val
		Asp 465	Tyr	Lys	Gly	His	Asn 470	His	Glu	Phe	Ile	Pro 475	Phe	Gly	Ile	Gly	Arg 480
		Arg	Met	Cys	Ala	Gly 485	Met	Leu	Trp	Ala	Ser 490	Glu	Val	Ile	His	Leu 495	Val
		Leu	Pro	Arg	Leu 500	Ile	His	Gly	Phe	Asp 505	Met	Lys	Ala	Ala	Ser 510	Ala	Asn
		Gly	Lys	Val 515	Asp	Met	Ala	Glu	<b>Met</b> 520	Ala	Gly	Met	Val	Ile 525	Суз	Phe	Lys
	<210> 15	Lys	Thr 530	Pro	Leu	Glu	Val	<b>M</b> et 535	Val	Asn	Pro	Arg	Glu 540				
5	<211> 486 <212> PRT	r eom	nifarı	ım													
5																	
5	<212> PRT <213> Papave			ım Met	Ser	<b>As</b> n 5	Leu	Trp	Ile	Leu	Thr 10	Leu	Ile	Ser	Thr	Ile 15	Leu
5	<212> PRT <213> Papave	Met 1	Ile			5					10					15	
5	<212> PRT <213> Papave	Met 1 Ala	Ile Val	Met	<b>Ala</b> 20	5 Ala	Val	Leu	Ile	Ile 25	10 Phe	Arg	Arg	Arg	Ile 30	15 Ser	Ala
5	<212> PRT <213> Papave	Met 1 Ala Ser	Ile Val	Met Phe Thr	Ala 20 Glu	5 Ala Trp	Val Pro	Leu Val	Ile Gly 40	Ile 25 Pro	10 Phe Lys	Arg Thr	Arg Leu	Arg Pro 45	Ile 30	15 Ser Ile	Ala Gly
5	<212> PRT <213> Papave	Met 1 Ala Ser	Ile Val Thr Leu 50	Met Phe Thr 35	Ala 20 Glu Ile	5 Ala Trp Leu	Val Pro Gly	Leu Val Gly 55	Ile Gly 40 Thr	Ile 25 Pro Ala	10 Phe Lys Leu	Arg Thr	Arg Leu Val 60	Arg Pro 45 Val	Ile 30 Ile Leu	15 Ser Ile	Ala Gly Lys
5	<212> PRT <213> Papave	Met 1 Ala Ser Asn Leu 65	Thr Leu 50	Met Phe Thr 35	Ala 20 Glu Ile Val	5 Ala Trp Leu	Val Pro Gly Gly 70	Leu Val Gly 55	Ile Gly 40 Thr	Ile 25 Pro Ala Met	10 Phe Lys Leu	Arg Thr His Ile 75	Arg Leu Val 60	Arg Pro 45 Val	Ile 30 Ile Leu	15 Ser Ile His	Ala Gly Lys Trp 80

			100					105					110		
Lys	Ile	Gly 115	Thr	Ala	Asn	Trp	Arg 120	Thr	Ile	Ser	Ser	Ser 125	Asp	Ser	Gly
Pro	Phe 130	Trp	Ala	Thr	Leu	<b>A</b> rg 135	Lys	Gly	Leu	Gln	Ser 140	Val	Ala	Leu	Ser
Pro 145	Gln	His	Leu	Ala	Ser 150	Gln	Thr	Ala	His	Gln 155	Glu	Arg	Asp	Ile	Ile 160
Lys	Leu	Ile	Lys	Asn 165	Leu	Lys	Asp	Glu	Ala 170	Ala	Ser	G1y	Met	Val 175	Lys
Pro	Leu	Asp	His 180	Leu	Lys	Lys	Ala	Thr 185	Val	Arg	Leu	Ile	Ser 190	Arg	Leu
Ile	Tyr	Gly 195	Gln	Asp	Phe	Asp	Asp 200	Asp	Lys	Tyr	Val	Glu 205	Asp	Met	His
Asp	Val 210	Ile	Glu	Phe	Leu	Ile 215	Arg	Ile	Ser	Gly	<b>Tyr</b> 220	Ala	Gln	Leu	Ala
Glu 225	Val	Phe	Tyr	Tyr	Ala 230	Lys	Tyr	Leu	Pro	Gly 235	His	Lys	Arg	Ala	Val 240
Thr	Gly	Ala	Glu	Glu 245	Ala	Lys	Arg	Arg	Val 250	Ile	Ala	Leu	Val	<b>Arg</b> 255	Pro
Phe	Leu	Gln	Ser 260	Asn	Pro	Ala	Thr	Asn 265	Thr	Tyr	Leu	His	Phe 270	Leu	Lys
Ser	Gln	Leu 275	Tyr	Pro	Glu	Glu	Val 280	Ile	Ile	Phe	Ala	Ile 285	Phe	Glu	Ala
Tyr	Leu 290	Leu	Gly	Val	Asp	Ser 295	Thr	Ser	Ser	Thr	<b>Thr</b> 300	Ala	Trp	Ala	Leu
<b>Ala</b> 305	Phe	Leu	Ile	Arg	Glu 310	Pro	Ser	Val	Gln	Glu 315	Lys	Leu	Tyr	Gln	Glu 320
Leu	Lys	Asn	Phe	Thr 325	Ala	Asn	Asn	Asn	<b>A</b> rg 330	Thr	Met	Leu	Lys	Val 335	Glu
Asp	Val	Asn	Lys 340	Leu	Pro	Tyr	Leu	Gln 345	Ala	Val	Val	Lys	Glu 350	Thr	Met

Arg Met Lys Pro Ile Ala Pro Leu Ala Ile Pro His Lys Ala Cys Lys Asp Thr Ser Leu Met Gly Lys Lys Val Asp Lys Gly Thr Lys Val Met Val Asn Ile His Ala Leu His His Thr Glu Lys Val Trp Lys Glu Pro Tyr Lys Phe Ile Pro Glu Arg Phe Leu Gln Lys His Asp Lys Ala Met Glu Gln Ser Leu Leu Pro Phe Ser Ala Gly Met Arg Ile Cys Ala Gly 425 Met Glu Leu Gly Lys Leu Gln Phe Ser Phe Ser Leu Ala Asn Leu Val Asn Ala Phe Lys Trp Ser Cys Val Ser Asp Gly Val Leu Pro Asp Met Ser Asp Leu Leu Gly Phe Val Leu Phe Met Lys Thr Pro Leu Glu Ala 475 Arg Ile Val Pro Arg Leu 485 5 <213> Papaver somniferum Met Lys Ser Leu Met Met Asn Lys Leu Leu Phe Leu Gln Arg Ile Thr Asp Ser Pro Ser Thr Thr Ile Ile Ser Thr Phe Ile Val Thr Ile Ile 20 Ser Ile Val Phe Leu Tyr Thr Val Leu Leu Ile Arg Thr Thr Lys Asn Lys Gln Lys Ile Ala Ala Pro Lys Ala Ser Gly Ala Trp Pro Phe Ile 55 Gly His Leu Lys Leu Phe Met Lys Gln Asp Thr Gln Phe Tyr Arg Thr 70 75

<210> 16 <211> 554 <212> PRT

<400> 16

Leu	GLY	Thr	Met	Ser 85	Asp	Lys	Tyr	GLY	Ser 90	Val	Phe	Thr	Leu	Arg 95	Leu
Gly	Asn	Gln	Ala 100	Ile	Leu	Val	Val	Ser 105	Asn	Trp	Glu	Met	Val 110	Lys	Glu
Cys	Phe	Thr 115	Thr	Asn	Asp	Lys	Ser 120	Phe	Ser	Asn	Arg	Pro 125	Ser	Thr	Leu
Ser	Thr 130	Lys	Tyr	Met	Leu	<b>As</b> n 135	Asp	Thr	Asn	Ser	Val 140	Val	Phe	Ser	Pro
Tyr 145	Gly	Thr	Tyr	Trp	Arg 150	G1u	Met	Arg	Lys	11e 155	Leu	Val	Gln	Lys	Leu 160
Leu	Ile	Ser	Asn	Gln 165	Arg	Ser	Glu	Ala	Leu 170	Lys	Asn	Leu	Lys	Thr 175	Lys
Glu	Ile	Asp	Asn 180	Ser	Phe	Val	Lys	Leu 185	Asn	Asp	Leu	Cys	Asn 190	Asn	Asp
Val	Ser	Gly 195	Gly	Gly	Thr	Lys	Val 200	Arg	Met	Asp	Glu	Trp 205	Leu	Ala	Asp
Met	Met 210	Phe	Asn	Ile	Ile	Ala 215	Arg	Ile	Thr	Phe	Gly 220	Tyr	Gln	Ser	Gly
Gly 225	Gly	Asp	Ala	Pro	Gly 230	Ala	Ser	Thr	Thr	Ser 235	Lys	Asn	Val	Glu	Arg 240
Tyr	Lys	Lys	Thr	Leu 245	Asp	Glu	Met	Phe	Val 250	Val	Leu	Ala	Thr	<b>Arg</b> 255	Phe
Ala	Val	Ser	Asp 260	Ile	Phe	Pro	Ser	Leu 265	Glu	Phe	Ile	Asp	Arg 270	Leu	Arg
Gly	Leu	Val 275	Lys	Asp	Met	Lys	Ile 280	Leu	Gly	Asp	Glu	Leu 285	Asn	Ser	Ile
Ala	Gly 290	Сув	Phe	Ile	Glu	Glu 295	His	Arg	Gln	Lys	Arg 300	Arg	Glu	Ser	Leu
Ser 305	Ser	Leu	Leu	Ser	Leu 310	Ser	Asn	Glu	Ser	Val 315	Gly	Asp	Glu	Gln	Asp 320
Phe	Ile	Asp	Val	Leu 325	Leu	Ser	Ile	Met	<b>Asp</b> 330	Gln	Ser	Arg	Leu	Pro 335	Gly

Asp	Asp	Pro	Asp	Phe	Ile	Ile	Lys	Ile	Met	Ile	Leu	Glu	Ala	Phe	Ala
			340					345					350		

- Gly Gly Thr Asp Ser Leu Ser Ala Thr Leu Thr Trp Val Leu Ser Leu 355 360 365
- Leu Leu Asn His Pro Asn Val Leu Lys Arg Ala Arg Glu Glu Ile Asp 370 375 380
- Arg His Val Glu Asn Gly Lys Gln Val Glu Val Ser Asp Ile Pro Lys 385 390 395 400
- Leu Gly Tyr Ile Asp Ala Ile Ile Lys Glu Thr Met Arg Leu Tyr Pro 405 410 415
- Val Gly Ala Leu Ser Glu Arg Tyr Thr Thr Glu Glu Cys Glu Val Gly 420 425 430
- Arg Phe Asn Val Pro Ala Gly Thr Arg Leu Leu Val Asn Ile Trp Lys 435 440 445
- Ile His Arg Asp Pro Ser Val Trp Glu Asn Pro Ser Asp Phe Gln Pro 450 455 460
- Glu Arg Phe Leu Cys Ser Asp Lys Val Gly Val Asp Leu Tyr Gly Gln 465 470 480
- Asn Tyr Glu Leu Ile Pro Phe Gly Ala Gly Arg Arg Val Cys Pro Ala
- Ile Val Ser Ser Leu Gln Thr Met His Tyr Ala Leu Ala Arg Leu Ile 500 505
- Gln Gly Tyr Glu Met Lys Ser Ala Ser Leu Asp Gly Lys Val Asn Met 515 520 525
- Glu Glu Met Ile Ala Met Ser Cys His Lys Met Ser Pro Leu Glu Val 530 535 540

Ile Ile Ser Pro Arg Glu Pro Arg Arg Ser 545

<210> 17

<211> 556

<212> PRT

5 <213> Papaver somniferum

<400> 17

Met 1	Ala	Tyr	Leu	Met 5	Ile	Lys	Lys	Ser	Ile 10	Tyr	Leu	Phe	Phe	Asp 15	Gln
Pro	Thr	Ala	Val 20	Gly	Thr	Leu	Ile	Leu 25	Ala	Phe	Leu	Leu	Thr 30	Leu	Ser
Pro	Val	Ile 35	Ile	Tyr	Tyr	Glu	Gln 40	Lys	Lys	Arg	Gly	Leu 45	Arg	Arg	Asn
Arg	Thr 50	Ala	Ile	Thr	Thr	Thr 55	Pro	Leu	Pro	Glu	<b>A</b> la 60	Ser	Gly	Ala	Trp
Pro 65	Val	Ile	Gly	His	Leu 70	Leu	Leu	Phe	Met	Asn 75	Glu	Asn	Asp	Leu	Asn 80
His	Val	Thr	Leu	Gly 85	His	Met	Ala	Asp	Lys 90	Tyr	Gly	Pro	Ile	Phe 95	Ser
	_		Gly 100	_		_		105					110		
		115	Суз				120					125			
	130		Leu			135				-	140				-
145			Pro	-	150		-			155		_	_		160
			Leu	165					170				_	175	
			Glu 180 Lys					185					190		_
		195	Азр				200					205			
	210		Gly			215	-				220			_	
225			Tyr		230					235	_				240
GIII	GIU	туу	TAT	245	ьeu	vTq	116	ъзb	250	AGT	oer.	M211	Ten	255	VIG

Thr Phe Ala Val Ser Asp Val Val Pro Arg Leu Gly Trp Ile Asp Arg

								- **							
Leu	Thr	Gly 275	Leu	Thr	Gly	Lys	Met 280	Lys	Asn	Суз	Gly	Lys 285	Lys	Leu	Asp
Ala	Val 290	Val	Gly	Asp	Ala	Val 295	Glu	Asp	His	Arg	Gln 300	Lys	Lys	Leu	Lys
Ile 305	Ser	Arg	Asn	Asn	Thr 310	Gly	Ala	Leu	Thr	Glu 315	His	Glu	Glu	Glu	<b>Asp</b> 320
Phe	Ile	Asp	Val	Cys 325	Leu	Ser	Ile	Met	Glu 330	Gln	Ser	Gln	Ile	Pro 335	Gly
Asn	His	Pro	Glu 340	Ile	Ser	Val	Lys	Ser 345	Ile	Ala	Leu	Asp	<b>Met</b> 350	Leu	Ser
Gly	Gly	Ser 355	Asp	Thr	Thr	Lys	Leu 360	Ile	Met	Thr	Trp	Thr 365	Leu	Ser	Leu
Leu	Leu 370	Asn	His	Pro	Asp	11e 375	Leu	Asp	Lys	Ala	<b>Lys</b> 380	Glu	Glu	Val	Asp
Thr 385	Tyr	Phe	Gly	Lys	Lys 390	Lys	Ile	Ser	Asp	<b>Asn</b> 395	Thr	Pro	Val	Val	Asp 400
Ala	Ala	Asp	Val	Pro 405	Asn	Leu	Val	Tyr	Ile 410	Gln	Ala	Ile	Ile	Lys 415	Glu
Ser	Met	Arg	Leu 420	Tyr	Pro	Ala	Ser	Thr 425	Leu	Met	Glu	Arg	Met 430	Thr	Ser
Asp	Asp	Cys 435	Asp	Val	Gly	Gly	Phe 440	His	Val	Pro	Ala	Gly 445	Thr	Arg	Leu
Trp	Val 450	Asn	Val	Trp	Lys	Met 455	Gln	Arg	Asp	Pro	Arg 460	Val	Trp	Lys	Asp

Pro Leu Val Phe Leu Pro Glu Arg Phe Leu Ser Asn Asp Lys Gly Met

Val Asp Val Lys Gly Gln Asn Tyr Glu Leu Ile Pro Phe Gly Thr Gly

Arg Arg Ile Cys Pro Gly Ala Ser Phe Ala Leu Glu Val Leu His Leu

490

475

470

				500					505					510		
	Val	Leu	Thr 515	Arg	Leu	Ile	Leu	Glu 520	Phe	Glu	Met	Lys	<b>Ala</b> 525	Pro	Glu	Gly
	Lys	Ile 530	Asp	Met	Arg	Ala	<b>Arg</b> 535	Pro	Gly	Phe	Phe	His 540	Asn	Lys	Val	Val
<210> 18 <211> 320	Pro 545	Leu	Asp	Val	Gln	Leu 550	Thr	Pro	Arg	Thr	Leu 555	Asp				
<212> PRT 5 <213> Papave	r som	ıniferu	ım													
<400> 18	Met 1	Ala	Asp	Pro	Tyr 5	Glu	Phe	Leu	Met	Cys 10	Ile	His	Asn	Pro	Glu 15	Glu
	Asp	Thr	Leu	Thr 20	Arg	Asn	Phe	Pro	Ile 25	Pro	Ala	Thr	Pro	Leu 30	Asp	Gln
	Asn	Thr	Lys 35	Asp	Ile	Ser	Leu	Asn 40	Pro	Asp	Arg	Lys	Thr 45	Ser	Leu	Arg
	Ile	Phe 50	Arg	Pro	Pro	Thr	Lys 55	Glu	Pro	Pro	Val	Thr 60	Lys	Asn	Lys	Leu
	Leu 65	Pro	Ile	Ile	Ile	Tyr 70	Phe	His	Gly	Gly	Gly 75	Phe	Ile	Leu	Phe	Asn 80
	Ala	Asp	Ser	Thr	<b>Met</b> 85	Asn	His	Asp	Phe	Cys 90	Gln	Ser	Ile	Ala	Thr 95	His
	Ile	Pro	Ala	Leu 100	Val	Val	Ser	Val	Asp 105	Tyr	Arg	Leu	Ala	Pro 110	Glu	Asn
	Arg	Leu	Pro 115	Ala	Ala	Tyr	Asp	Asp 120	Ala	Val	Asp	Ala	Leu 125	Asn	Trp	Val
	Lys	<b>Asp</b> 130	Gln	Gly	Leu	Gly	Lys 135	Leu	Asn	Asn	Ser	Glu 140	Val	Trp	Leu	Lys
	Glu 145	Туг	Gly	Asp	Phe	Ser 150	Lys	Суз	Phe	Ile	Met 155	Gly	Суз	Ser	Ser	Gly 160
	Ala	Asn	Val	Ala	Tyr	His	Ala	Ser	Leu	Arg	Ala	Ile	Glu	Met	Asp	Leu

						165					170					175	
		Glu	Pro	Ala	<b>Lys</b> 180	Ile	Asn	Gly	Leu	Ile 185	Leu	His	Cys	Pro	Phe 190	Phe	Gly
		Ser	Leu	Glu 195	Arg	Thr	Glu	Ser	Asp 200	Ser	Lys	Val	Ile	Asn 205	Asn	Gln	Ası
		Leu	Pro 210	Leu	Ala	Val	Arg	Asp 215	Val	Met	Trp	Glu	Leu 220	Ala	Leu	Pro	Leu
		Gly 225	Ser	Thr	Arg	Asp	His 230	Val	Tyr	Cys	Asn	Pro 235	Asn	Ile	Asp	His	Asp 240
		Gly	Ser	Ser	Ser	Gly 245	Asn	Met	Val	Gly	Leu 250	Ile	Glu	Arg	Cys	Phe 255	Val
		Val	Gly	Phe	Tyr 260	Gly	Asp	Pro	Leu	Ile 265	Asp	Arg	Gln	Ile	Gln 270	Leu	Val
		Lys	Met	Leu 275	Glu	Glu	Lys	Gly	Val 280	Lys	Val	Glu	Thr	Trp 285	Ile	Glu	Glr
		Gly	Gly 290	Tyr	His	Gly	Val	Leu 295	Cys	Phe	Asp	Pro	Met 300	Ile	Arg	Glu	Thi
	<210> 19	Phe 305	Leu	Glu	Lys	Leu	Lys 310	His	Phe	Ile	Leu	Asn 315	Asp	Glu	Phe	Ile	Ту: 320
5	<211> 348 <212> PRT <213> Papave	r som	niferu	ım													
	<400> 19	Met 1	His	Gly	Gln	Lys 5	Asn	Ile	Ser	Glu	Arg 10	Tyr	Gln	Lys	Phe	Lys 15	Glu
		Met	Glu	Gly	Thr 20	Gly	Lys	Ile	Val	Cys 25	Val	Thr	Gly	Gly	Ala 30	Gly	Туг
		Leu	Ala	Ser 35	Trp	Leu	Ile	Met	Arg 40	Leu	Leu	Glu	Arg	Gly 45	Tyr	Ser	Val
		Arg	Thr 50	Thr	Val	Arg	Ser	Asp 55	Pro	Lys	Phe	Arg	Glu 60	Asp	Val	Ser	His
		Leu	Lys	Ala	Leu	Pro	Glu	Ala	Thr	Glu	Lys	Leu	Gln	Ile	Phe	Glu	Ala

65					70					75					80
Asp	Leu	Glu	Asn	Pro 85	Glu	Ser	Phe	Asp	Asp 90	Ala	Ile	Asn	Gly	С <b>у</b> з 95	Val
Gly	Val	Phe	Leu 100	Val	Ala	Gln	Gly	Met 105	Asn	Phe	Ala	Glu	Glu 110	Tyr	Thr
Leu	Glu	Lys 115	Ile	Ile	Lys	Thr	Cys 120	Val	Glu	Gly	Thr	Leu 125	Arg	Ile	Leu
Gln	Ser 130	Суз	Leu	Lys	Ser	Lys 135	Thr	Val	Lys	Lys	Val 140	Val	Tyr	Thr	Ser
Ser 145	Ala	Asp	Ala	Ala	Met 150	Met	Ile	Ser	Asn	Leu 155	Lys	Ala	Val	Lys	Glu 160
Ile	Asp	Glu	Thr	Ile 165	Trp	Ser	Glu	Val	<b>Asp</b> 170	Asn	Phe	Ile	Ser	Lys 175	Pro
Glu	Gln	Val	Ile 180	Pro	Gly	Leu	Pro	Ser 185	Tyr	Val	Val	Ser	Lys 190	Val	Leu
Thr	Glu	Arg 195	Ala	Cys	Leu	Lys	Phe 200	Ser	Glu	Glu	His	Gly 205	Leu	Asp	Val
Val	Thr 210	Ile	Leu	Pro	Pro	Leu 215	Val	Val	Gly	Pro	Phe 220	Ile	Thr	Pro	His
Pro 225	Pro	Pro	Ser	Val	Ser 230	Ile	Ala	Leu	Ser	Ile 235	Ile	Ser	Gly	Asp	Val 240
Ser	Met	Met	Leu	Gly 245	Val	Arg	Leu	Glu	<b>As</b> n 250	Ala	Val	His	Ile	<b>Asp</b> 255	Asp
Val	Ala	Leu	Ala 260	His	Ile	Phe	Val	Phe 265	Glu	Cys	Glu	Lys	<b>Ala</b> 270	Lys	Gly
Arg	His	Ile 275	Cys	Ser	Ser	Val	Asp 280	Phe	Pro	Met	His	Asp 285	Leu	Pro	Lys
Phe	11e 290	Ser	Glu	Asn	Tyr	Pro 295	Glu	Phe	Asn	Val	Pro 300	Thr	Asp	Leu	Leu
Lys 305	Asp	Ile	Glu	Glu	Gln 310	Glu	Pro	Val	His	Leu 315	Ser	Ser	Asp	Lys	Leu 320

Leu Ser Met Gly Phe Gln Phe Lys Tyr Asp Phe Ala Glu Ile Phe Gly 325 330 335

Asp Ala Ile Arg Cys Ala Lys Glu Lys Gly Phe Leu 340 345

<210> 20

<211> 471

<212> PRT

5 <213> Papaver somniferum

<400> 20

Met Ala Thr Met Ser Ser Ala Ala Val Glu Val Ile Ser Lys Glu Thr 1  $\phantom{\bigg|}5\phantom{\bigg|}$  5 10 10 15

Ile Lys Pro Arg Asn Pro Thr Pro Tyr Gln Leu Arg Asn Tyr Asn Met 20 25 30

Ser Leu Leu Asp Gln Tyr Ser Ser Leu Val Tyr Val Pro Ile Ile Leu 35 40 45

Phe Tyr Pro Ala Ala Ser Asp Ala Asn Ser Thr Gly Ser Lys His His 50 55 60

Asp Asp Leu His Leu Leu Lys Arg Ser Leu Ser Glu Thr Leu Val His 65 70 75 80

Phe Tyr Pro Met Ala Gly Arg Met Lys Asp Asn Met Thr Val Asp Cys 85 90 95

Asn Asp Glu Gly Ile Asp Phe Phe Glu Val Arg Ile Lys Gly Arg Met
100 105 110

Ser Glu Val Ala Ser Thr Asn Phe Val Lys Glu Ala Gln Val Ile Val 130 135 140

Gln Val Asn Met Phe Asp Cys Gly Gly Thr Ala Ile Cys Phe Cys Ile 145 150 155 160

Ser Asn Lys Ile Ala Asp Ala Cys Thr Met Ile Thr Phe Ile Arg Ser 165 170 175

Leu Ala Gly Thr Thr Asn Ile Ala Arg Arg Gly Ser Ser Ile Ala Ala 180 185 190

Pro Thr Thr Asn Gln Asn Leu Val Pro Ser Phe Asp Ser Thr Ser Leu

		195					200					205			
Phe	Pro 210	Pro	Ser	Glu	Gln	Leu 215	Ala	Ser	Gln	Val	Ser 220	Tyr	Pro	Thr	Glr
Asp 225	Ser	Thr	Ser	Val	Asp 230	Lys	Leu	Val	Ser	<b>Lys</b> 235	Arg	Phe	Val	Phe	Asp 240
Ala	Ala	Lys	Ile	Thr 245	Ser	Ala	Arg	Glu	Lys 250	Leu	Gln	Ser	Leu	Met 255	His
Asp	Lys	Tyr	Lys 260	Суѕ	His	Arg	Pro	Thr 265	Arg	Val	Glu	Val	Val 270	Ser	Ala
Leu	Ile	Trp 275	Lys	Ser	Ala	Val	<b>Lys</b> 280	Ser	Ala	Pro	Pro	Gly 285	Ser	Ile	Sei
Thr	Val 290	Thr	His	Ala	Met	Asn 295	Phe	Arg	Lys	Lys	Met 300	Asp	Pro	Pro	Let
Gln 305	Asp	Ala	Ser	Phe	Gly 310	Asn	Leu	Cys	Val	Val 315	Val	Thr	Ala	Val	<b>Le</b> t 320
Pro	Ala	Thr	Thr	<b>Ala</b> 325	Thr	Thr	Thr	Asn	Pro 330	Ala	Thr	Lys	Lys	<b>Val</b> 335	Sei
Ser	Thr	Ser	Asn 340	Glu	Glu	G1n	Val	Ala 3 <b>4</b> 5	Leu	Asp	Glu	Leu	<b>Ser</b> 350	Asp	Phe
Val	Ala	Leu 355	Leu	Arg	Arg	Glu	11e 360	Asp	Lys	Val	Lys	Gly 365	Asp	Lys	Gly
Cys	Met 370	Glu	Lys	Ile	Ile	Gln 375	Lys	Phe	Ile	Tyr	Gly 380	His	Asp	Ala	Sei
Val 385	Ala	Lys	Asp	Ser	Asp 390	Val	Glu	Asp	Lys	Val 395	Thr	Ala	Leu	Phe	Met 400
Thr	Ser	Trp	Сув	Lys 405	Phe	Gly	Phe	Tyr	Glu 410	Ala	Asp	Phe	Gly	Trp 415	Gl
Thr	Pro	Val	Trp 420	Val	Thr	Thr	Val	Pro 425	Leu	Ile	Glu	Pro	<b>Lys</b> 430	Tyr	Lys

# Trp Val Asn Phe Leu Glu Asp Asp Met Thr Lys Phe Glu His His Leu 450

		Arg G 465	lu Ile Leu	Gln Leu Phe 470				
5	<210> 2 <211> 3 <212> 7 <213> 3	350	cial					
	<220> <223> \							
	<400> 2		catcaatcag	ccacagtcac	taaaatcact	gcttctaatg	aaagcagcaa	60
		tggtgtctgt	tatctttcag	aaacggctaa	cttggggaag	ttaatatgca	ttccaatggc	120
		actaagagct	gcgatggagc	taaatgtgtt	ccaacttatc	tcaaagttcg	gaactgacgc	180
		aaaagtttcg	gcttctgaaa	ttgcctctaa	aatgccaaac	gcgaagaata	atcctgaagc	240
		agctatgtat	ttggatagaa	ttcttcgact	gctcggggca	agttctattc	tttctgtttc	300
10		22 213	aaatcaatca cial	acagaggagg	agatgatgta	gtagtacatg		350
15	<220> <223> \	VIGS						
	<400> 2		gccagcgcta	atacaaggat	gtggcaaaat	cctgaacgga	gttacatcgt	60
		taattgatgt	cggtggtggt	cacggtgcca	ctatggccta	catagttgaa	gcttttcctc	120
		acataaaagg	tgcggtaatc	gatttaccac	atgttgttga	agccgctccg	gagcgtccag	180
20		23 264	catcageggt cial	gatatattca	agt			213
	<220> <223> \							
25	<400> 2	-	ggtgaaaaga	tggatgtgga	ttacaaaggt	cacaatcatg	aattcatacc	60
		atttgggata	ggtcggagga	tgtgcgctgg	tatgctttgg	gcatcggagg	tgattcattt	120
		ggtgctgccc	cgtcttattc	atgggtttga	tatgaaagca	gcaagtgcca	atgggaaagt	180
		agatatggca	gaaatggcag	gcatggtgat	ttgttttaag	aagacacctc	ttgaagttat	240
30	<220>	24 119		tgtt				264

		atgatcatga	gtaacttatg	gattcttacg	ctcatttcta	ccatattagc	agtetttget	60
5	<210><211><211><212><213>	25 196	tcattttcag	gagaagaata	tcagcatcca	caacggaatg	geetgttgg	119
	<220> <223>	VICS						
	<400>	25						
		taggagggta	tgtccggcta	tagtttcatc	actgcagacg	atgcattatg	cgttggcgcg	60
		tcttattcaa	ggatatgaaa	tgaaatcagc	cagcctcgat	gggaaggtga	atatggaaga	120
		aatgatagcc	atgtcgtgcc	acaagatgag	ccctcttgaa	gttattatca	gtcctcggga	180
		gccgaggcgg	agttaa					196
10	<210><211><212>	186						
	<213>	secuencia artifi	cial					
15	<220> <223>							
	<400>	-	gctaattaat	tagatgaata	aaatctgtgg	tcgagtaaat	ctaattaatg	60
		ctaatgaaca	agatgaataa	aaaattttct	ttctgctttt	gctttggtta	gggttatttg	120
		accctcattt	ggttgtattc	attaacacac	aacttttgtg	cttcttaata	taattccttt	180
			333	J3J-3				186
20	<210><211><211><212><213>	204	cial					100
	<220>		oiai					
	<223> <400>							
		tggcagatcc	ttatgaattc	ctaatgtgca	ttcacaatcc	tgaagaagat	accctaacaa	60
		gaaattttcc	gattcctgct	actcccttag	atcaaaacac	caaagacatt	tctttaaatc	120
		ctgataggaa	aacctcactt	cgaatctttc	ggccaccaac	caaagaacct	cctgtaacaa	180
25	<210><211><211><212><213>	28 323	gcttcctatc	ataa				204
30	<220> <223>							

	Ç	gaaattgacg	agacaatatg	gtcagaagtt	gacaatttca	ttagcaaacc	ggaacaagtt	60
	ā	attcctggat	tgccctcata	tgtggtttca	aaggtactga	cagaaagagc	ttgcctaaag	120
	t	tttctgaag	aacatggttt	ggatgttgtt	actatacttc	ctccgttggt	tgttggacct	180
	t	ttatcactc	cccatcctcc	tcccagtgta	tctatagctc	tttcgataat	ttcaggtgat	240
	ç	gtgtcgatga	tgcttggtgt	tagacttgaa	aatgcggtac	atatagatga	tgttgcttta	300
	<210> 29		tcgtttttga	atg				323
	<211> 11	7						
5		אכ cuencia artific	cial					
	<220> <223> VI	GS						
	<400> 29		atcctccaac	tgttttgatt	ttcaaccgtt	tccctaatag	aggtcaattg	60
	t	catatttat	ccatcttaac	taccatcttt	attetettgt	tttcatactt	gtatttg	117
10	<210> 30 <211> 12				J		, ,	
	<212> AD	ON						
	<213> se <220>	cuencia artific	cial					
15	<223> VIO							
	Ğ	gatcatcttc	tcttcagcag	aagtcccctc	ttaagcgtat	acgctgacat	gtcagtgaca	60
	t	gcaaggaat	attatgaccc	aaacaaatcc	atgcttgagt	tggtatttgc	accegetgag	120
	_	gaatggatc						129
	<210> 31							129
20	_	 !						129
20	<210> 31 <211> 22 <212> AE <213> se	 !	cial					129
20	<210> 31 <211> 22 <212> AE <213> se <220>	DN cuencia artific	cial					129
	<210> 31 <211> 22 <212> AE <213> se <220> <223> Ce <400> 31	DN cuencia artific						129
	<210> 31 <211> 22 <212> AE <213> se <220> <223> Ce <400> 31 gattcccga	DN cuencia artific ebador at ttactcctga to						129
	<210> 31 <211> 22 <212> AE <213> se <220> <223> Ce <400> 31	DN cuencia artific ebador at ttactcctga to						129
	<210> 31 <211> 22 <212> AE <213> se <220> <223> Ce <400> 31 gattcccga <210> 32 <211> 30 <212> AE	DN cuencia artific ebador at ttactcctga to	g 22					129
25	<210> 31 <211> 22 <212> AE <213> se <220> <223> Ce <400> 31 gattcccga <210> 32 <211> 30 <212> AE <213> se	DN cuencia artifice bador at ttactcctga to	g 22					129
25	<210> 31 <211> 22 <212> AE <213> se <220> <223> Ce <400> 31 gattcccga <210> 32 <211> 30 <212> AE <213> se <220> <223> Ce	EDN Cuencia artifice bador  It ttactcctga to Common to the	g 22					129
25	<210> 31 <211> 22 <212> AE <213> se <220> <223> Ce <400> 31 gattcccga <210> 32 <211> 30 <212> AE <213> se <220> <223> Ce <400> 32	DN cuencia artific ebador at ttactcctga to DN cuencia artific ebador	g 22 cial	30				129
25	<210> 31 <211> 22 <212> AE <213> se <220> <223> Ce <400> 31 gattcccga <210> 32 <211> 30 <212> AE <213> se <220> <223> Ce <400> 32	DN cuencia artific ebador  It ttactcctga to Common tripic cuencia artific ebador etat acgattactt	g 22 cial	30				129
25	<210> 31 <211> 22 <212> AE <213> se <220> <223> Ce <400> 31 gattcccga <210> 32 <211> 30 <212> AE <213> se <220> <223> Ca <211> 30 <212> AE <213> se <220> <223> Ca <400> 32 acacaaaa <210> 33 <211> 23	DN cuencia artific ebador at ttactcctga to DN cuencia artific ebador	g 22 cial	30				129
25	<210> 31 <211> 22 <212> AE <213> SE <220> <223> CE <400> 31 gattcccga <210> 32 <211> 30 <212> AE <213> SE <220> <223> CA <211> 30 <211> AE <213> SE <220> <223> CA <210> 32 <211> AE <213> AE <210> AE	EDN Cuencia artific ebador at ttactcctga to DN cuencia artific ebador ebador eat acgattactt	g 22 cial acttttgtcc	30				129
25	<210> 31 <211> 22 <212> AE <213> SE <220> <223> CE <400> 31 gattcccga <210> 32 <211> 30 <212> AE <213> SE <220> <223> CA <211> 30 <211> AE <213> SE <220> <223> CA <210> 32 <211> AE <213> AE <210> AE	DN cuencia artific ebador at ttactcctga to DN cuencia artific ebador	g 22 cial acttttgtcc	30				129
25 30 35	<210> 31 <211> 22 <212> AE <213> se <220> <223> Ce <400> 31 gattcccga <210> 32 <211> 30 <212> AE <213> se <220> <211> 30 <212> AE <213> se <220> <223> Ce <400> 32 aacacaaa <210> 33 <211> 23 <211> 23 <212> AE <223> Ce <23> Ce	DN cuencia artific ebador at ttactcctga to cuencia artific ebador ebador at acgattactt cuencia artific cuencia artific	g 22 cial acttttgtcc	30				129
25 30 35	<210> 31 <211> 22 <212> AE <213> se <220> <223> Ce <400> 31 gattcccga <210> 32 <211> 30 <212> AE <213> se <220> <221> AE <213> Se <221> AE <213> Se <220> <223> Ce <400> 32 aacacaaa <210> 33 <211> 23 <212> AE <213> Se <220> <223> Ce <400> 32	DN cuencia artific ebador  at ttactcctga to cuencia artific ebador eat acgattactt cuencia artific act acgattactt cuencia artific	g 22 cial acttttgtcc cial	30				129
25 30 35	<210> 31 <211> 22 <212> AE <213> se <220> <223> Ce <400> 31 gattcccga <210> 32 <211> 30 <212> AE <213> se <220> <221> AE <213> se <221> AE <213> Se <220> <223> Ce <400> 32 aacacaaa <210> 33 <211> 23 <212> AE <213> se <220> <223> Ce <400> 33 se <210> 33 <211> 23 <212> AE <213> se <220> <223> Ce <400> 33 tgctcatgt <210> 34	DN cuencia artific ebador  at ttactcctga to  DN cuencia artific ebador  at acgattactt  DN cuencia artific ebador  at tattctgtt gcc	g 22 cial acttttgtcc cial	30				129
25 30 35	<210> 31 <211> 22 <212> AE <213> se <220> <223> Ce <400> 31 gattcccga <210> 32 <211> 30 <212> AE <213> se <220> <211> 30 <212> AE <213> se <220> <223> Ce <400> 32 aacacaaa <210> 33 <211> 23 <212> AE <213> se <220> <223> Ce <400> 33 se <210> 33 <211> 23 <211> 23 <212> AE <213> se <220> <221> AE <211> 26 <210> 34 <211> 26	DN cuencia artific ebador  at ttactcctga to  DN cuencia artific ebador  at acgattactt  DN cuencia artific ebador  at tattctgtt gcc	g 22 cial acttttgtcc cial	30				129
25 30 35	<210> 31 <211> 22 <212> AE <213> se <220> <223> Ce <400> 31 gattcccga <210> 32 <211> 30 <212> AE <213> se <220> <221> AE <213> se <221> AE <213> Se <220> <223> Ce <400> 32 aacacaaa <210> 33 <211> 23 <212> AE <213> se <220> <223> Ce <400> 33 tgctcatgt <210> 34 <211> 26 <212> AE <213> AE <213> Se <220>	DN cuencia artific ebador  at ttactcctga to  DN cuencia artific ebador  at acgattactt  DN cuencia artific ebador  at tattctgtt gcc	g 22 cial acttttgtcc cial	30				129

	<223> Cebador	
	<400> 34	
	gcatgaaatg gatgtagtta tcttgg	26
	<210> 35	
5	<211> 22	
	<212> ADN	
	<213> secuencia artificial	
	<220>	
	<223> Cebador	
10	<400> 35	
10		22
	<210> 36	22
	<211> 24	
	<211> 24 <212> ADN	
1 =		
15	<213> secuencia artificial	
	<220>	
	<223> Cebador	
	<400> 36	
	attcccgttc aagtaaacat gcgg	24
20	<210> 37	
	<211> 27	
	<212> ADN	
	<213> secuencia artificial	
	<220>	
25	<223> Cebador	
	<400> 37	
	gcaactgttt cattaacagg cacatcc	27
	<210> 38	
	<211> 29	
30	<212> ADN	
	<213> secuencia artificial	
	<220>	
	<223> Cebador	
	<400> 38	
35	cagtaaattc acacattccg tatcttccc	29
	<210> 39	
	<211> 24	
	<212> ADN	
	<213> secuencia artificial	
40	<220>	
. •	<223> Cebador	
	<400> 39	
	gcttcagcat tggttaacga gtgc	24
	<210> 40	- '
45	<211> 26	
10	<212> ADN	
	<213> secuencia artificial	
	<220>	
	<223> Cebador	
50	<400> 40	
50		26
	gagggtaagc ctcaataaca gactgg <210> 41	20
	<211> 23	
	<212> ADN	
55	<213> secuencia artificial	
	<220>	
	<223> Cebador	
	<400> 41	00
	agaccgtttg taccgaattc tgc	23
h()	<210> 42	

	<211> 22 <212> ADN	
5	<213> secuencia artificial <220> <223> Cebador	
	<400> 42 tcgttccatt cgtgaagaat gc	22
10	<210> 43 <211> 25	
10	<212> ADN <213> secuencia artificial <220>	
	<223> Cebador <400> 43	
15	gaaccattaa acacttgagt catgc <210> 44	25
	<211> 24 <212> ADN	
20	<213> secuencia artificial <220>	
	<223> Cebador <400> 44	0.4
25	tgcaattgaa tttagctcat ctcc <210> 45 <211> 21	24
23	<212> ADN <213> secuencia artificial	
	<220> <223> Cebador	
30	<400> 45 ttgatgaacg acaaggaacc g	21
	<210> 46 <211> 26	
35	<212> ADN <213> secuencia artificial	
	<220> <223> Cebador <400> 46	
40	attcatgatt gtgacctttg taatcc <210> 47	26
.0	<211> 24 <212> ADN	
	<213> secuencia artificial <220>	
45	<223> Cebador <400> 47	
	atgtggaaaa cggtaagcaa gtgg <210> 48	24
50	<211> 25 <212> ADN <213> secuencia artificial	
	<220> <223> Cebador	
55	<400> 48 acgattctgt catcatcatt ttcgc	25
	<210> 49 <211> 23	
	<212> ADN <213> secuencia artificial	
60	<220>	

	<223> Cebador <400> 49		
5	caacctcaat ctagctagag tcg <210> 50 <211> 25	2:	3
	<212> ADN <213> secuencia artificial		
10	<220> <223> Cebador <400> 50		
	cccaagattt tcatatcctt tacaa <210> 51	2	5
	<211> 31 <212> ADN		
15	<213> secuencia artificial <220>		
	<223> Cebador		
	<400> 51 caataattga gtaatttcag ttcatto	rata a	31
20	<210> 52	outg g	01
	<211> 20		
	<212> ADN <213> secuencia artificial		
	<220>		
25	<223> Cebador		
	<400> 52	20	
	gctccgtaag tgctcctgtg <210> 53	20	
	<211> 26		
30	<212> ADN		
	<213> secuencia artificial <220>		
	<223> Cebador		
	<400> 53		
35	gaattgtggt aaaaaattag atgc	ag	26
	<211> 22		
	<212> ADN		
40	<213> secuencia artificial <220>		
40	<223> Cebador		
	<400> 54		
	cccttcacat ctaccatccc tt <210> 55	22	
45	<211> 27		
	<212> ADN		
	<213> secuencia artificial <220>		
	<223> Cebador		
50	<400> 55		
	caaagagtca atctgactca agc	tagc	27
	<210> 56 <211> 18		
	<212> ADN		
55	<213> secuencia artificial		
	<220> <223> Cebador		
	<400> 56		
60	cgagtgccca tgcagtgg	18	
υO	<210> 57		

	<211> 28 <212> ADN	
	<213> secuencia artificial <220>	
5	<223> Cebador	
	<400> 57 tcaaaccctg ctactaacac ttacttgc	28
	<210> 58 <211> 23	
10	<212> ADN	
	<213> secuencia artificial <220>	
	<223> Cebador	
15	<400> 58 cactccatca gacacacaag acc	23
10	<210> 59	23
	<211> 27 <212> ADN	
	<213> secuencia artificial	
20	<220> <223> Cebador	
	<400> 59	
	ttttatcgac cttgaggaac aattagg <210> 60	27
25	<211> 18	
	<212> ADN <213> secuencia artificial	
	<220>	
30	<223> Cebador <400> 60	
	aaatggcagt tccaccgc 18 <210> 61	
	<211> 25	
35	<212> ADN <213> secuencia artificial	
33	<220>	
	<223> Cebador <400> 61	
	gacttcatga tgaaatcaga tgcac	25
40	<210> 62 <211> 24	
	<212> ADN	
	<213> secuencia artificial <220>	
45	<223> Cebador <400> 62	
	cactgctgac ttccatatca aagc	24
	<210> 63 <211> 24	
50	<212> ADN	
	<213> secuencia artificial <220>	
	<223> Cebador	
55	<400> 63 atgctgttga tgctttaaac tggg	24
	<210> 64	
	<211> 26 <212> ADN	
00	<213> secuencia artificial	
60	<220>	

	<223> Cebador	
	<400> 64	
	agctgaattt gtcgatcaat aagtgg	26
	<210> 65	
5	<211> 26	
	<212> ADN	
	<213> secuencia artificial	
	<220>	
	<223> Cebador	
10	<400> 65	
	aataaaaatc caacaatggc agatcc	26
	<210> 66	20
	<211> 24	
	<211> 24 <212> ADN	
1 =		
15	<213> secuencia artificial	
	<220>	
	<223> Cebador	
	<400> 66	
	actggcatga tatgcaacat tagc	24
20	<210> 67	
	<211> 24	
	<212> ADN	
	<213> secuencia artificial	
	<220>	
25	<223> Cebador	
	<400> 67	
	ggaagatgtg agccacctta aagc	24
	<210> 68	
	<211> 22	
30	<212> ADN	
	<213> secuencia artificial	
	<220>	
	<223> Cebador	
	<400> 68	
35	gatacactgg gaggaggatg gg	22
00	<210> 69	
	<211> 26	
	<212> ADN	
	<213> secuencia artificial	
40	<220>	
40	<223> Cebador	
	<400> 69	
		26
	gagagtaacc acatctttgt tgtcgg	26
45	<210> 70	
45	<211> 22	
	<212> ADN	
	<213> secuencia artificial	
	<220>	
	<223> Cebador	
50	<400> 70	
	cggcaaaatt cattccttga gc	22
	<210> 71	
	<211> 19	
	<212> ADN	
55	<213> secuencia artificial	
	<220>	
	<223> Cebador	
	<400> 71	
	gtttactccc acgtgcatc 19	
60	<210> 72	

	<211> 23 <212> ADN <213> secuencia artificial	
5	<220> <223> Cebador	
	<400> 72 cattectegt etaatteate tge <210> 73	23
10	<211> 19 <212> ADN	
	<213> secuencia artificial <220> <223> Cebador	
	<400> 73	
15		19
	<211> 24	
	<212> ADN <213> secuencia artificial	
20	<220>	
20	<223> Cebador	
	<400> 74	
	gcttcactac ttcttcttga aaag <210> 75	24
25	<211> 18	
	<212> ADN <213> secuencia artificial	
	<220>	
	<223> Cebador	
30	<400> 75	
	aaacaatgct ggggttgc <210> 76	18
	<210> 76 <211> 26	
	<212> ADN	
35	<213> secuencia artificial	
	<220>	
	<223> Cebador	
	<400> 76 cattataatt tccaatgccg tagtto	26
40	<210> 77	, 20
	<211> 20	
	<212> ADN	
	<213> secuencia artificial <220>	
45	<223> Cebador	
70	<400> 77	
	taagagaggg agaccacgag	20
	<210> 78	
<b>-</b> 0	<211> 23	
50	<212> ADN <213> secuencia artificial	
	<220>	
	<223> Cebador	
	<400> 78	
55	cattcgttgt tgttgctggt aag	23
	<210> 79 <211> 26	
	<212> ADN	
	<213> secuencia artificial	
60	<220>	

	<223> Cebador	
	<400> 79	00
	cttatgaagc taggtaatgg tatgga <210> 80	26
5	<211> 20	
Ū	<212> ADN	
	<213> secuencia artificial	
	<220>	
	<223> Cebador	
10	<400> 80	
	catcctcatt gcttgtgtcc 20 <210> 81	
	<211> 19	
	<212> ADN	
15	<213> secuencia artificial	
	<220>	
	<223> Cebador	
	<400> 81 ctctaaaatg ccaaacgcg 19	
20	<210> 82	
	<211> 20	
	<212> ADN	
	<213> secuencia artificial	
25	<220> <223> Cebador	
23	<400> 82	
	gaccetttgg gactteeteg 20	
	<210> 83	
	<211> 19	
30	<212> ADN	
	<213> secuencia artificial <220>	
	<223> Cebador	
	<400> 83	
35	cgtgttgttt ggtccctcg 19	
	<210> 84	
	<211> 23 <212> ADN	
	<213> secuencia artificial	
40	<220>	
	<223> Cebador	
	<400> 84	
	tgcctcatgt tatttctgtt gcc 23 <210> 85	
45	<211> 23	
	<212> ADN	
	<213> secuencia artificial	
	<220>	
50	<223> Cebador <400> 85	
30	gattcccgat ttactcctga tgg 23	3
	<210> 86	
	<211> 30	
	<212> ADN	
55	<213> secuencia artificial	
	<220> <223> Cebador	
	<400> 86	
	aacacaaaat acgattactt acttttgtcc	30
60	<210> 87	

	<211> 23	
	<212> ADN	
	<213> secuencia artificial	
_	<220>	
5	<223> Cebador	
	<400> 87 tgcctcatgt tatttctgtt gcc 2	2
	<210> 88	3
	<211> 26	
10	<212> ADN	
. •	<213> secuencia artificial	
	<220>	
	<223> Cebador	
	<400> 88	
15	gcatgaaatg gatgtagtta tcttgg	26
	<210> 89	
	<211> 21	
	<212> ADN	
~~	<213> secuencia artificial	
20	<220>	
	<223> Cebador <400> 89	
	tcccttgact ttaataccct c 21	
	<210> 90	
25	<211> 22	
	<212> ADN	
	<213> secuencia artificial	
	<220>	
	<223> Cebador	
30	<400> 90	
		22
	<210> 91	
	<211> 27	
25	<212> ADN <213> secuencia artificial	
33	<2215> Secuencia artificial	
	<223> Cebador	
	<400> 91	
	attgttgata ttgaatcaga aactttc	27
40	<210> 92	
	<211> 25	
	<212> ADN	
	<213> secuencia artificial	
	<220>	
45	<223> Cebador	
	<400> 92	25
	tcaataccag tactgttagt ttccg <210> 93	25
	<210>93 <211>27	
50	<212> ADN	
00	<213> secuencia artificial	
	<220>	
	<223> Cebador	
	<400> 93	
55	gcaactgttt cattaacagg cacatcc	27
	<210> 94	
	<211> 22	
	<212> ADN	
00	<213> secuencia artificial	
bU	<220>	

	<223> Cebador	
	<400> 94	
	attgatgtcg gtggtggtca cg 22	
	<210> 95	
5	<211> 23	
_	<212> ADN	
	<213> secuencia artificial	
	<220>	
	<223> Cebador	
10	<400> 95	
	gcacactgtc tttttcttcc acc 23	
	<210> 96	
	<211> 28	
	<212> ADN	
15	<213> secuencia artificial	
_	<220>	
	<223> Cebador	
	<400> 96	
00	accggaatga gaatgcataa agtaaagg 28	
20	<210> 97	
	<211> 23	
	<212> ADN	
	<213> secuencia artificial	
	<220>	
25	<223> Cebador	
	<400> 97	
	ccaataccca atcaattaaa ctc 23	
	<210> 98	
	<211> 29	
30	<212> ADN	
00	<213> secuencia artificial	
	<220>	
	<223> Cebador	
	<400> 98	
25		
35	cagtaaattc acacattccg tatcttccc 29	
	<210> 99	
	<211> 27	
	<212> ADN	
	<213> secuencia artificial	
40	<220>	
	<223> Cebador	
	<400> 99	
	attgtatagc caaagttgca ggtaggg 27	
	<210> 100	
45	<211> 23	
10	<212> ADN	
	<213> secuencia artificial	
	<220>	
	<223> Cebador	
50	<400> 100	
	agaccgtttg taccgaattc tgc 23	
	<210> 101	
	<211> 23	
	<212> ADN	
55	<213> secuencia artificial	
	<220>	
	<223> Cebador	
	<400> 101	
	gcagtgaaag ccatatccaa agc 23	
60	<210> 102	

	<211> 21
	<212> ADN
	<213> secuencia artificial
	<220>
5	<223> Cebador
Ū	<400> 102
	tcccttgact ttaataccct c 21
	<210> 103
	<211> 22
10	
10	<212> ADN
	<213> secuencia artificial
	<220>
	<223> Cebador
	<400> 103
15	tcgttccatt cgtgaagaat gc 22
	<210> 104
	<211> 26
	<212> ADN
	<213> secuencia artificial
20	<220>
	<223> Cebador
	<400> 104
	gagggtaagc ctcaataaca gactgg 26
	<210> 105
25	<211> 25
	<212> ADN
	<213> secuencia artificial
	<220>
	<223> Cebador
30	<400> 105
	gaaccattaa acacttgagt catgc 25
	<210> 106
	<211> 21
	<212> ADN
35	<213> secuencia artificial
00	<220>
	<223> Cebador
	<400> 106
40	ttgatgaacg acaaggaacc g 21 <210> 107
40	<210> 107 <211> 19
	<212> ADN
	<213> secuencia artificial
	<220>
45	<223> Cebador
	<400> 107
	tcgacagcgc ttacgaacg 19
	<210> 108
	<211> 21
50	<212> ADN
	<213> secuencia artificial
	<220>
	<223> Cebador
	<400> 108
55	tcccttgact ttaataccct c 21
	<210> 109
	<211> 22
	<212> ADN
	<213> secuencia artificial
60	<220>

	<223> Cebador		
	<400> 109		
	tgcaattgaa tttagctcat ct	22	
	<210> 110		
5	<211> 26		
	<212> ADN		
	<213> secuencia artificial		
	<220>		
	<223> Cebador		
10	<400> 110		
10	attcatgatt gtgacctttg taatcc	26	
	<210> 111	20	
	<211> 21		
4-	<212> ADN		
15	<213> secuencia artificial		
	<220>		
	<223> Cebador		
	<400> 111		
	gacagagggc ccaagttaag g	21	
20	<210> 112		
	<211> 20		
	<212> ADN		
	<213> secuencia artificial		
	<220>		
25	<223> Cebador		
	<400> 112		
	agcaaaccat tcgtccatcc	20	
	<210> 113		
	<211> 21		
30	<212> ADN		
	<213> secuencia artificial		
	<220>		
	<223> Cebador		
	<400> 113		
35		21	
•	<210> 114		
	<211> 24		
	<212> ADN		
	<213> secuencia artificial		
<b>4</b> 0	<220>		
10	<223> Cebador		
	<400> 114		
	aataatggat cagtcacggc ttcc	24	
	<210> 115	24	
15	<211> 27		
40	<212> ADN		
	<213> secuencia artificial		
	<220>		
<b>-</b> 0	<223> Cebador		
50	<400> 115		07
	aatccatcag attttcaacc agaga	gg	27
	<210> 116		
	<211> 28		
	<212> ADN		
55	<213> secuencia artificial		
	<220>		
	<223> Cebador		
	<400> 116		_
	tgtcagccaa ccattcgtcc atccta	ac	28
60	<210> 117		

```
<211> 28
   <212> ADN
   <213> secuencia artificial
   <220>
 5 <223> Cebador
   <400> 117
                                     28
   ggcttcccgg agatgaccca gattttat
   <210> 118
   <211>38
10 <212> ADN
   <213> secuencia artificial
   <223> Cebador
   <400> 118
15 ttgttatttt catgactatt accaccagct tcctctta
   <210> 119
   <211>30
   <212> ADN
   <213> secuencia artificial
20 <220>
   <223> Cebador
   <400> 119
   agtggaggag gcacaaaagt taggatggac
                                          30
   <210> 120
25 <211>29
   <212> ADN
   <213> secuencia artificial
   <220>
   <223> Cebador
30 <400> 120
   ccatgtctga taaatacggg tcggtgttc
                                      29
   <210> 121
   <211>36
   <212> ADN
35 <213> secuencia artificial
   <220>
   <223> Cebador
   <400> 121
   ttgttgataa ggacgactaa gaataagcag aagata
                                                36
40 <210> 122
   <211> 25
   <212> ADN
   <213> secuencia artificial
   <220>
45 <223> Cebador
   <400> 122
   acgattctgt catcatcatt ttcgc 25
   <210> 123
   <211> 24
50 <212> ADN
   <213> secuencia artificial
   <220>
   <223> Cebador
   <400> 123
55 agtcgtgtat cgttcgctta atgc
                                24
   <210> 124
   <211> 29
   <212> ADN
   <213> secuencia artificial
60 <220>
```

	<223> Cebador			
	<400> 124			
	catgcctatc tatttcctcc cttgccct	tc	29	
	<210> 125			
5	<211> 28			
J	<212> ADN			
	<213> secuencia artificial			
	<220>			
	<223> Cebador			
10	<400> 125			
	tgtcagccaa ccattcgtcc atccta	aac	28	
	<210> 126			
	<211> 31			
	<212> ADN			
15	<213> secuencia artificial			
10	<220>			
	_			
	<223> Cebador			
	<400> 126			
	tgttcgatca cgttgtctct ttttgccat	a a	31	
20	<210> 127			
	<211> 38			
	<212> ADN			
	<213> secuencia artificial			
	<220>			
25	<223> Cebador			
	<400> 127			
	taacaataaa agtactgata atggi	anton a	2002022	38
		iggicg a	ayyayaa	30
	<210> 128			
00	<211> 20			
30	<212> ADN			
	<213> secuencia artificial			
	<220>			
	<223> Cebador			
	<400> 128			
35	tattgatgtg gaccagtacc	20		
	<210> 129			
	<211> 20			
	<212> ADN			
	<213> secuencia artificial			
40	<220>			
40	<223> Cebador			
	<400> 129			
		20		
	3	20		
	<210> 130			
45	<211> 20			
	<212> ADN			
	<213> secuencia artificial			
	<220>			
	<223> Cebador			
50	<400> 130			
	cgcgtacttg acatttaacg	20		
	<210> 131			
	<211> 20			
	<212> ADN			
55	<213> secuencia artificial			
55				
	<220>			
	<223> Cebador			
	<400> 131	0.0		
	ggatcatcgc caaaagaaac	20		
60	<210> 132			

	<211> 27	
	<212> ADN	
	<213> secuencia artificial	
	<220>	
5	<223> Cebador	
_	<400> 132	
	caaagagtca atctgactca agctagc	27
	<210> 133	21
	<211> 26	
40		
10	<212> ADN	
	<213> secuencia artificial	
	<220>	
	<223> Cebador	
	<400> 133	
15	tgaaatgcct gagatcacta aaatcg	26
	<210> 134	
	<211> 28	
	<212> ADN	
	<213> secuencia artificial	
20	<220>	
	<223> Cebador	
	<400> 134	
	tcaaaccctg ctactaacac ttacttgc	28
	<210> 135	
25	<211> 24	
	<212> ADN	
	<213> secuencia artificial	
	<220>	
	<223> Cebador	
30	<400> 135	
00	tgtaaagaca cttcattgat gggc	24
	<210> 136	27
	<211> 31	
	<212> ADN	
25	<213> secuencia artificial	
33		
	<220>	
	<223> Cebador	
	<400> 136	24
40	ttcgatttgt gtaaacatta atgatatttg g	31
40	<210> 137	
	<211> 27	
	<212> ADN	
	<213> secuencia artificial	
	<220>	
45	<223> Cebador	
	<400> 137	
	gagatgatca agtggtttaa ccattcc	27
	<210> 138	
	<211> 18	
50	<212> ADN	
	<213> secuencia artificial	
	<220>	
	<223> Cebador	
	<400> 138	
55	cgagtgccca tgcagtgg 18	
- •	<210> 139	
	<211> 26	
	<212> ADN	
	<213> secuencia artificial	
60	<2213> Secuencia artificial	
UU	~~~~	

	<223> Cebador	
	<400> 139	
	aataaaaatc caacaatggc agatcc	26
	<210> 140	
5	<211> 24	
	<212> ADN	
	<213> secuencia artificial	
	<220>	
	<223> Cebador	
10	<400> 140	
		24
	<210> 141	<u> </u>
	<211> 28	
	<211> 20 <212> ADN	
1 =		
15	<213> secuencia artificial	
	<220>	
	<223> Cebador	
	<400> 141	
	ggttaatcga gagatgtttt gtggtagg	28
20	<210> 142	
	<211> 23	
	<212> ADN	
	<213> secuencia artificial	
	<220>	
25	<223> Cebador	
	<400> 142	
	cgatgacaca gagcaagaac gac	23
	<210> 143	
	<211> 23	
30	<212> ADN	
	<213> secuencia artificial	
	<220>	
	<223> Cebador	
	<400> 143	
35	cgcgggtata tgtgtagcaa tcg	23
•	<210> 144	
	<211> 17	
	<212> ADN	
	<213> secuencia artificial	
4٥	<220>	
70	<223> Cebador	
	<400> 144	
	cggcaacgcc agttccc 17 <210> 145	
15	<210> 145 <211> 26	
40		
	<212> ADN	
	<213> secuencia artificial	
	<220>	
	<223> Cebador	
50	<400> 145	
	ctaacaggca aacaataaca ggttgc	26
	<210> 146	
	<211> 24	
	<212> ADN	
55	<213> secuencia artificial	
	<220>	
	<223> Cebador	
	<400> 146	
	ggaagatgtg agccacctta aagc	24
60	<210> 147	

	<211> 26
	<212> ADN
	<213> secuencia artificial
	<220>
5	<223> Cebador
J	<400> 147
	aaaggtactg acagaaagag cttgcc 26
	<210> 148
	<211> 23
10	<212> ADN
	<213> secuencia artificial
	<220>
	<223> Cebador
	<400> 148
1 =	
15	agatacactg ggaggaggat ggg 23
	<210> 149
	<211> 22
	<212> ADN
	<213> secuencia artificial
20	<220>
	<223> Cebador
	<400> 149
	cggcaaaatt cattccttga gc 22
	<210> 150
0.5	
25	<211> 24
	<212> ADN
	<213> secuencia artificial
	<220>
	<223> Cebador
30	<400> 150
	aacatatagc caaaggactc ttcg 24
	<210> 151
	<211> 20
0.5	<212> ADN
35	<213> secuencia artificial
	<220>
	<223> Cebador
	<400> 151
	aggatacaca atgacccaac 20
40	<210> 152
	<211> 27
	<212> ADN
	<213> secuencia artificial
	<220>
45	<223> Cebador
	<400> 152
	ttttatcgac cttgaggaac aattagg 27
	<210> 153
	<211> 20
50	<212> ADN
00	<213> secuencia artificial
	<220>
	<223> Cebador
_	<400> 153
55	tgttcactag gtggaaagag 20
	<210> 154
	<211> 26
	<212> ADN
	<213> secuencia artificial
60	<220>

	<223> Cebador	
	<400> 154	
	agtacaatac cgagaaatcc gacaa	g 26
	<210> 155	
5	<211> 27	
	<212> ADN	
	<213> secuencia artificial	
	<220>	
	<223> Cebador	
10	<400> 155	
10	gctcaattaa tggaacagta gttaccc	27
		21
	<210> 156	
	<211> 19	
4-	<212> ADN	
15	<213> secuencia artificial	
	<220>	
	<223> Cebador	
	<400> 156	
	cgtgttgttt ggtccctcg 19	
20	<210> 157	
	<211> 23	
	<212> ADN	
	<213> Secuencia artificial	
	<220>	
25	<223> Cebador	
	<400> 157	
	gcacactgtc tttttcttcc acc 23	
	<210> 158	
	<211> 27	
30	<212> ADN	
00	<213> Secuencia artificial	
	<220>	
	<223> Cebador	
	<400> 158	
25		27
33	gcaactgttt cattaacagg cacatcc	21
	<210> 159 <211> 24	
	<212> ADN	
40	<213> secuencia artificial	
40	<220>	
	<223> Cebador	
	<400> 159	
	gccagcgcta atacaaggat gtgg	24
	<210> 160	
45	<211> 23	
	<212> ADN	
	<213> secuencia artificial	
	<220>	
	<223> Cebador	
50	<400> 160	
	gcagtgaaag ccatatccaa agc	23
	<210> 161	
	<211> 22	
	<212> ADN	
55	<213> secuencia artificial	
	<220>	
	<223> Cebador	
	<400> 161	
	tcgttccatt cgtgaagaat gc	22
60	<210> 162	

	<211> 23	
	<212> ADN	
	<213> secuencia artificial	
	<220>	
5	<223> Cebador	
·	<400> 162	
	gctacgaaag ataatggtgc agc	23
		23
	<210> 163	
	<211> 20	
10	<212> ADN	
	<213> secuencia artificial	
	<220>	
	<223> Cebador	
	<400> 163	
15	agcaaaccat tcgtccatcc 20	
	<210> 164	
	<211> 24	
	<212> ADN	
	<213> secuencia artificial	
20	<220>	
	<223> Cebador	
	<400> 164	
	atgtggaaaa cggtaagcaa gtgg	24
	<210> 165	24
25		
25	<211> 25	
	<212> ADN	
	<213> secuencia artificial	
	<220>	
	<223> Cebador	
30	<400> 165	
	acgattctgt catcatcatt ttcgc	25
	<210> 166	
	<211> 26	
	<212> ADN	
35	<213> secuencia artificial	
	<220>	
	<223> Cebador	
	<400> 166	
	tgaaatgcct gagatcacta aaatcg	26
40	<210> 167	
	<211> 27	
	<212> ADN	
	<213> secuencia artificial	
	<220>	
45	<223> Cebador	
	<400> 167	
	ggaatggtta aaccacttga tcatctc	27
	<210> 168	۷.
	<211> 27	
ΕO	<211> 27 <212> ADN	
50		
	<213> secuencia artificial	
	<220>	
	<223> Cebador	
	<400> 168	
55	atgccagttt aagagcaata gaaatgg	27
	<210> 169	
	<211> 17	
	<212> ADN	
	<213> secuencia artificial	
60	<220>	

	<223> Cebador		
	<400> 169		
	gggaactggc gttgccg 17		
	<210> 170		
5	<211> 23		
	<212> ADN		
	<213> secuencia artificial		
	<220>		
	<223> Cebador		
10	<400> 170		
10	gaagatgtga gccaccttaa agc 23		
	<210> 171		
	<211> 22		
	<211> 22 <212> ADN		
15	<213> secuencia artificial		
13			
	<220>		
	<223> Cebador		
	<400> 171		
	gctcaaggaa tgaattttgc cg 22		
20	<210> 172		
	<211> 21		
	<212> ADN		
	<213> secuencia artificial		
	<220>		
25	<223> Cebador		
	<400> 172		
	tcccttgact ttaataccct c 21		
	<210> 173		
	<211> 25		
30	<212> ADN		
	<213> secuencia artificial		
	<220>		
	<223> Cebador		
	<400> 173		
35	ggaacataag atttaactcc gcctc 25		
	<210> 174		
	<211> 34		
	<212> ADN		
	<213> secuencia artificial		
40	<220>		
	<223> Cebador		
	<400> 174		
	aaactcgaga agcttggtca taatcatcaa tcag		34
	<210> 175		J
45	<211> 31		
70	<212> ADN		
	<213> secuencia artificial		
	<220>		
	<223> Cebador		
50	<400> 175		
50		31	
	aaaggtaccc atgtactact acatcatctc c	31	
	<210> 176 <211> 33		
	<212> ADN		
၁၁	<213> secuencia artificial		
	<220>		
	<223> Cebador		
	<400> 176		
60	aaactcgaga agcttgtgta actaagccag cgc		33
υo	<210> 177		

	<211> 27	
	<212> ADN	
	<213> secuencia artificial	
	<220>	
5	<223> Cebador	
	<400> 177	
	aaaggtacca cttgaatata tcaccgc 27	
	<210> 178	
	<211> 29	
10	<212> ADN	
10	<213> Secuencia artificial	
	<220>	
	<223> Cebador	
	<400> 178	
15	aaaggatcct ttgagtaatg gtgaaaaga 29	
	<210> 179	
	<211> 30	
	<212> ADN	
	<213> secuencia artificial	
20	<220>	
	<223> Cebador	
	<400> 179	
	aaaggtacca acatctactc tcgaggattg 30	
	<210> 180	
25	<211> 33	
20	<212> ADN	
	<213> secuencia artificial	
	<220>	
20	<223> Cebador	
30	<400> 180	
	aaactcgaga agctttagga gggtatgtcc ggc	33
	<210> 181	
	<211> 28	
	<212> ADN	
35	<213> secuencia artificial	
	<220>	
	<223> Cebador	
	<400> 181	
	aaaggtacct taactccgcc tcggctcc 28	
40	<210> 182	
	<211> 27	
	<212> ADN	
	<213> secuencia artificial	
	<220>	
45	<223> Cebador	
	<400> 182	
	aaaggatcct tcagttcatt catggcg 27	
	<210> 183	
<b>-</b> 0	<211> 33	
50	<212> ADN	
	<213> secuencia artificial	
	<220>	
	<223> Cebador	
	<400> 183	
55	aaaggtaccg ttcatagtaa ataataacag gcg	33
	<210> 184	
	<211> 37	
	<212> ADN	
	<213> secuencia artificial	
60	<220>	

	<223> Cebador <400> 184	
	aaactcgaga agcttatgat catgagtaac ttatgga	37
_	<210> 185 <211> 28	
Э	<211> 26 <212> ADN	
	<213> secuencia artificial	
	<220>	
	<223> Cebador	
10	<400> 185 aaaggtaccc caacaggcca ttccgttg 28	
	<210> 186	
	<211> 30	
	<212> ADN	
15	<213> secuencia artificial	
	<220> <223> Cebador	
	<400> 186	
	aaaggatcct ggcagatcct tatgaattcc 30	
20	<210> 187	
	<211> 32	
	<212> ADN <213> secuencia artificial	
	<220>	
25	<223> Cebador	
	<400> 187	
	aaaggtacct tatgatagga agcagcttat tc 32 <210> 188	
	<210> 188 <211> 30	
30	<212> ADN	
	<213> secuencia artificial	
	<220>	
	<223> Cebador <400> 188	
35	aaaggatccg aaattgacga gacaatatgg 30	
	<210> 189	
	<211> 32	
	<212> ADN <213> secuencia artificial	
40	<220>	
	<223> Cebador	
	<400> 189 aaaggtaccc attcaaaaac gaatatgtgt gc 33	2
	aaaggtaccc attcaaaaac gaatatgtgt gc 32 <210> 190	۷
45	<211> 31	
	<212> ADN	
	<213> secuencia artificial	
	<220> <223> Cebador	
50	<400> 190	
	aaaggatccc ctaagagaga tcctccaact g 31	l
	<210> 191	
	<211> 36 <212> ADN	
55	<213> secuencia artificial	
	<220>	
	<223> Cebador	
	<400> 191	26
60	aaaggtacca atacaagtat gaaaacaaga gaataa <210> 192	36

```
<211> 22
   <212> ADN
   <213> secuencia artificial
   <220>
 5 <223> Cebador
   <400> 192
   gaggtgttca ttgccatgtc aa
                                 22
   <210> 193
   <211> 22
10 <212> ADN
   <213> secuencia artificial
   <223> Cebador
   <400> 193
15 gtttcgcaag ctcctgcata gt
                                 22
   <210> 194
   <211>39
   <212> AND
   <213> Secuencia artificial
20 <220>
   <223> Cebador
   <220>
   <221> misc_feature
   <222> (12)_(12)
25 <223> n is a, c, g, o t
   <220>
   <221> misc_feature
   <222> (38)..(38)
<223> V = A, C or G
30 <222>(39)(39)
   <223> N = A/T \text{ or } C/G
   <400> 194
   attctagatc cracatgttt ttttttttt ttttttvn
                                           39
35
```

#### REIVINDICACIONES

- 1. Una molécula de ácido nucleico aislada que comprende un grupo de genes que codifica dos o más polipéptidos implicados en la biosíntesis de alcaloides opiáceos o intermedios, en donde uno de dichos dos 5 genes comprende una secuencia de nucleótidos seleccionada del grupo que consiste en:
  - i) una secuencia de nucleótidos como se expone en la SEQ ID NO: 9;
  - ii) una secuencia de nucleótidos donde dicha secuencia está degenerada como resultado del código genético de la secuencia de nucleótidos definida en (i);
- 10 iii) una molécula de ácido nucleico cuya cadena complementaria se hibrida en condiciones de hibridación rigurosas con la secuencia en la SEQ ID NO: 9 y que codifica un polipéptido que tiene actividad deshidrogenasa/reductasa de cadena corta; y
- iv) una secuencia de nucleótidos que codifica un polipéptido que comprende una secuencia de aminoácidos como se expone en la SEQ ID NO: 19 o una secuencia de nucleótidos que codifica un polipéptido que tiene una
   15 identidad de secuencia de aminoácidos del 46% a través de la secuencia de aminoácidos de longitud completa expuesta en la SEQ ID NO: 19 donde dicho polipéptido tiene actividad deshidrogenasa/reductasa de cadena corta.
  - 2. Un polipéptido aislado seleccionado del grupo que consiste en:

20

30

- i) un polipéptido que comprende o que consiste en una secuencia de aminoácidos como se representa en SEQ ID NO: 19; o
- ii) un polipéptido modificado que comprende o consiste en una secuencia de aminoácidos modificada donde dicho polipéptido se modifica por adición, deleción o sustitución de al menos un residuo de aminoácido de la 25 secuencia presentada en la EQ ID NO: 19 y que ha retenido o mejorado la actividad de deshidrogenasa/reductasa de cadena corta; o
  - iii) un polipéptido modificado que comprende o consiste en una secuencia de aminoácidos que es al menos un 46% idéntica a la secuencia de aminoácidos de longitud completa en la EQ ID NO: 19 y que codifica un polipéptido con actividad deshidrogenasa/reductasa de cadena corta.
  - 3. La molécula de ácido nucleico aislada de acuerdo con la reivindicación 1, donde la molécula de ácido nucleico incluye además una o más secuencias de nucleótidos seleccionadas del grupo que consiste en:
  - i) una secuencia de nucleótidos representada por la secuencia en la SEQ ID NO: 1, 2, 3, 4, 5, 6, 7, 8 o 10;
- 35 ii) una secuencia de nucleótidos donde dicha secuencia está degenerada como resultado del código genético de la secuencia de nucleótidos definida en (i);
- iii) una molécula de ácido nucleico cuya cadena complementaria se hibrida en condiciones de hibridación rigurosas con la secuencia en la SEQ ID NO: 1, 2, 3, 4, 5, 6, 7, 8 o 10 donde dicha molécula de ácido nucleico codifica polipéptidos implicados en la biosíntesis de alcaloides opiáceos de *P. somniferum* o intermedios en la 40 biosíntesis de alcaloides opiáceos:
  - iv) una secuencia de nucleótidos que codifica un polipéptido que comprende una secuencia de aminoácidos como se representa en SEQ ID NO: 11, 12, 13, 14, 15, 16, 17, 18 y 20.
- v) una secuencia de nucleótidos que codifica un polipéptido que comprende una secuencia de aminoácidos donde dicha secuencia de aminoácidos se modifica por adición, deleción o sustitución de al menos un residuo de aminoácido como se representa en iv) anterior y que ha retenido o mejorado la actividad biosintética del alcaloide opiáceo.
- 4. La molécula de ácido nucleico de acuerdo con cualquiera de las reivindicaciones 1 o 3, donde dicha molécula de ácido nucleico incluye la SEC ID NO: 9 y además incluye una o más secuencias de 50 nucleótidos seleccionadas del grupo que consiste en: SEQ ID NO. 1, 2, 3, 4, 5, 6, 7, 8 y 10.
  - 5. La molécula de ácido nucleico de acuerdo con la reivindicación 1 o 3, donde dicha molécula de ácido nucleico incluye 3, 4, 5, 6, 7, 8, 9 o 10 secuencias de nucleótidos seleccionadas del grupo que consiste en: SEQ ID NO: 1, 2, 3, 4, 5, 6, 7, 8, 9 y 10.
  - 6. La molécula de ácido nucleico de acuerdo con la reivindicación 5, donde dicha molécula de ácido nucleico incluye cada una de las secuencias de nucleótidos como se representa en la SEC ID NO: 1, 2, 3, 4, 5, 6, 7, 8, 9 y 10.
- 60 7. Un vector que comprende la molécula de ácido nucleico de cualquiera de las reivindicaciones1, 3-

6.

8. Una célula transgénica transformada o transfectada con un vector de acuerdo con la reivindicación 7.

\_

- 9. La célula transgénica según la reivindicación 8, donde dicha célula es una célula vegetal o célula microbiana.
- 10. Una molécula de ácido nucleico que comprende un casete de transcripción donde dicho casete lo incluye la secuencia de nucleótidos SEQ ID NO: 9 y está adaptado para la expresión mediante la provisión de al menos un promotor unido operativamente a dicha secuencia de nucleótidos de modo que las moléculas sentido y antisentido se transcriban a partir de dicho casete.
  - 11. Un proceso para la modificación de uno o más alcaloides opiáceos que comprende:

15

- i) proporcionar una célula vegetal transgénica según 9;
- ii) cultivar dicha célula vegetal para producir una planta transgénica; y opcionalmente
- iii) cosechar dicha planta transgénica, o parte de la misma.
- 20 12. Un proceso para la modificación de uno o más alcaloides opiáceos o metabolitos intermedios de alcaloides opiáceos que comprende:
- i) proporcionar una célula microbiana transgénica según la reivindicación 9 que expresa una o más moléculas de ácido nucleico de acuerdo con la invención en cultivo con al menos un alcaloide opiáceo o un metabolito 25 intermedio de alcaloide opiáceo;
  - ii) cultivar la célula microbiana en condiciones que modifican uno o más alcaloides opiáceos o alcaloides opiáceos intermedios; y opcionalmente
  - iii) aislar dicho alcaloide opiáceo o intermedio alcaloide opiáceo de la célula microbiana o cultivo celular.
- 30 13. El uso de un gen codificado por una molécula de ácido nucleico que comprende o que consiste en la secuencia de nucleótidos SEQ ID NO: 9, o una molécula de ácido nucleico que se hibrida en condiciones de hibridación rigurosas con la secuencia de nucleótidos en la SEQ ID NO: 9 y codifica un polipéptido con actividad de deshidrogenasa/reductasa de cadena corta como un medio para identificar un locus donde dicho locus está asociado con la expresión o actividad alterada de dicha actividad biosintética del alcaloide opiáceo.

- 14. Una planta de *P. somniferum* que tiene una expresión alterada de un polipéptido de deshidrogenasa/reductasa de cadena corta según la reivindicación 2, que comprende los pasos de:
- i) mutagénesis de semillas de tipo silvestre de una planta de *P. somniferum* que expresa dicho polipéptido de 40 deshidrogenasa/reductasa de cadena corta:
  - ii) cultivo de la semilla en i) para producir las primeras y posteriores generaciones de plantas;
  - iii) obtener semilla de la planta de la primera generación y las siguientes generaciones de plantas; y
- iv) determinar si la semilla de dicha primera y siguientes generaciones de plantas tiene una secuencia de nucleótidos alterada y / o una expresión alterada de dicho polipéptido de deshidrogenasa/reductasa de cadena 45 corta.
  - 15. Un procedimiento para el análisis de una planta, que comprende
- i) obtener una muestra de la planta de acuerdo con la reivindicación 14 y analizar la secuencia de ácido nucleico 50 de una molécula de ácido nucleico seleccionada del grupo que consiste en:
  - a) una molécula de ácido nucleico que comprende una secuencia de nucleótidos como se representa en 9;
  - b) una molécula de ácido nucleico que se hibrida con la molécula de ácido nucleico en a) bajo condiciones de hibridación rigurosas y que codifica un polipéptido con actividad biosintética de alcaloides; y opcionalmente
- 55 c) comparar la secuencia de nucleótidos de la molécula de ácido nucleico en dicha muestra con una secuencia de nucleótidos de una molécula de ácido nucleico de la planta original de tipo salvaje y donde la molécula de ácido nucleico se analiza mediante un método que comprende los pasos:
  - ii) extraer ácido nucleico de dichas plantas mutadas;
- 60 iii) amplificación de una parte de dicha molécula de ácido nucleico mediante una reacción en cadena de la

## ES 2 648 967 T3

## polimerasa;

- iv) formar una preparación que comprende el ácido nucleico amplificado y el ácido nucleico extraído de la semilla de tipo silvestre para formar ácido nucleico heterodúplex;
- v) incubar dicha preparación con una nucleasa monocatenaria que corta en una región de ácido nucleico 5 heterodúplex para identificar la falta de coincidencia en dicho heterodúplex; y
  - vi) determinar el sitio del desapareamiento en dicho heterodúplex de ácido nucleico.
  - 16. Un vector viral que comprende una molécula de ácido nucleico según la reivindicación 1.

Figura 1

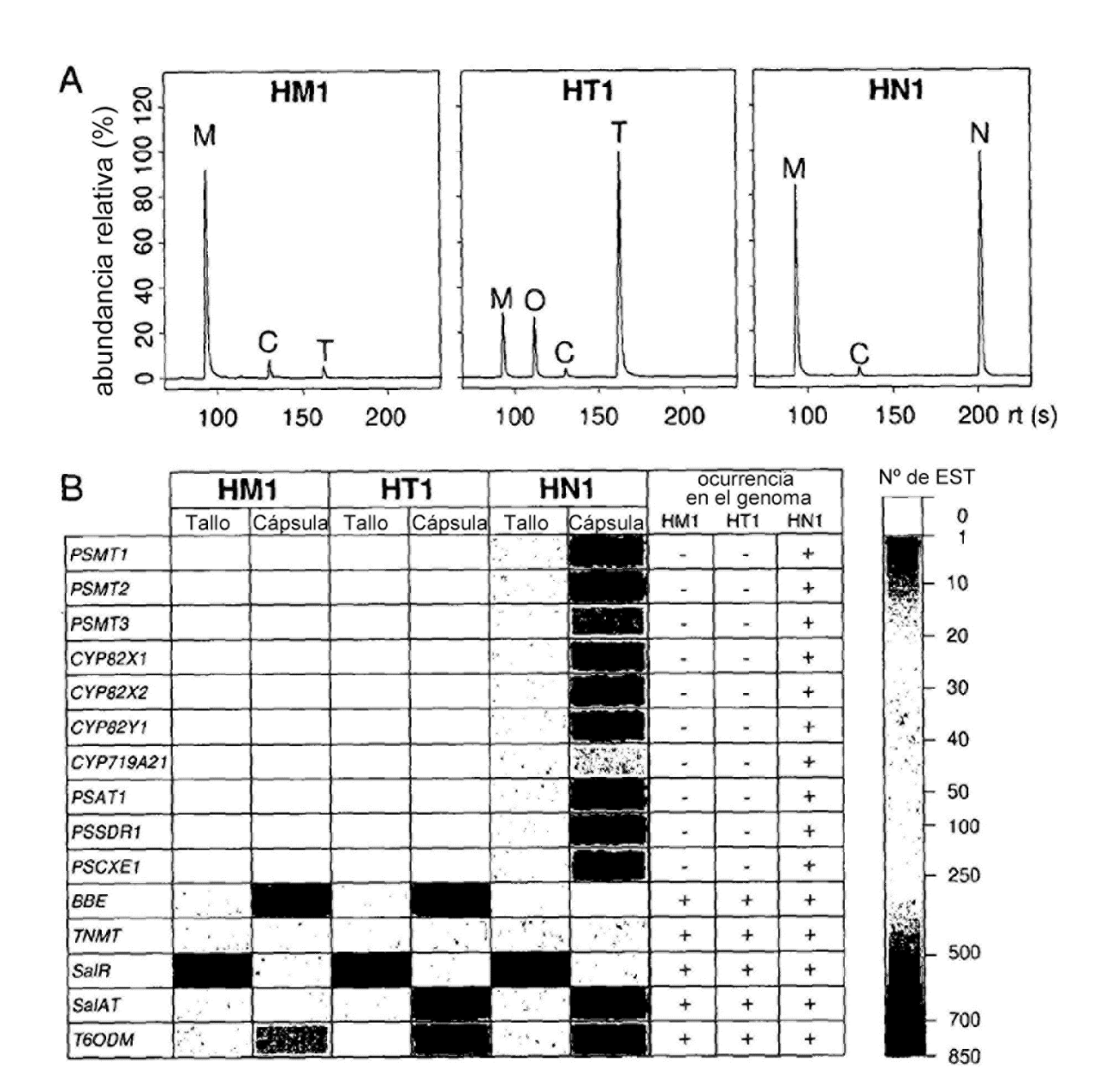


Figura 2

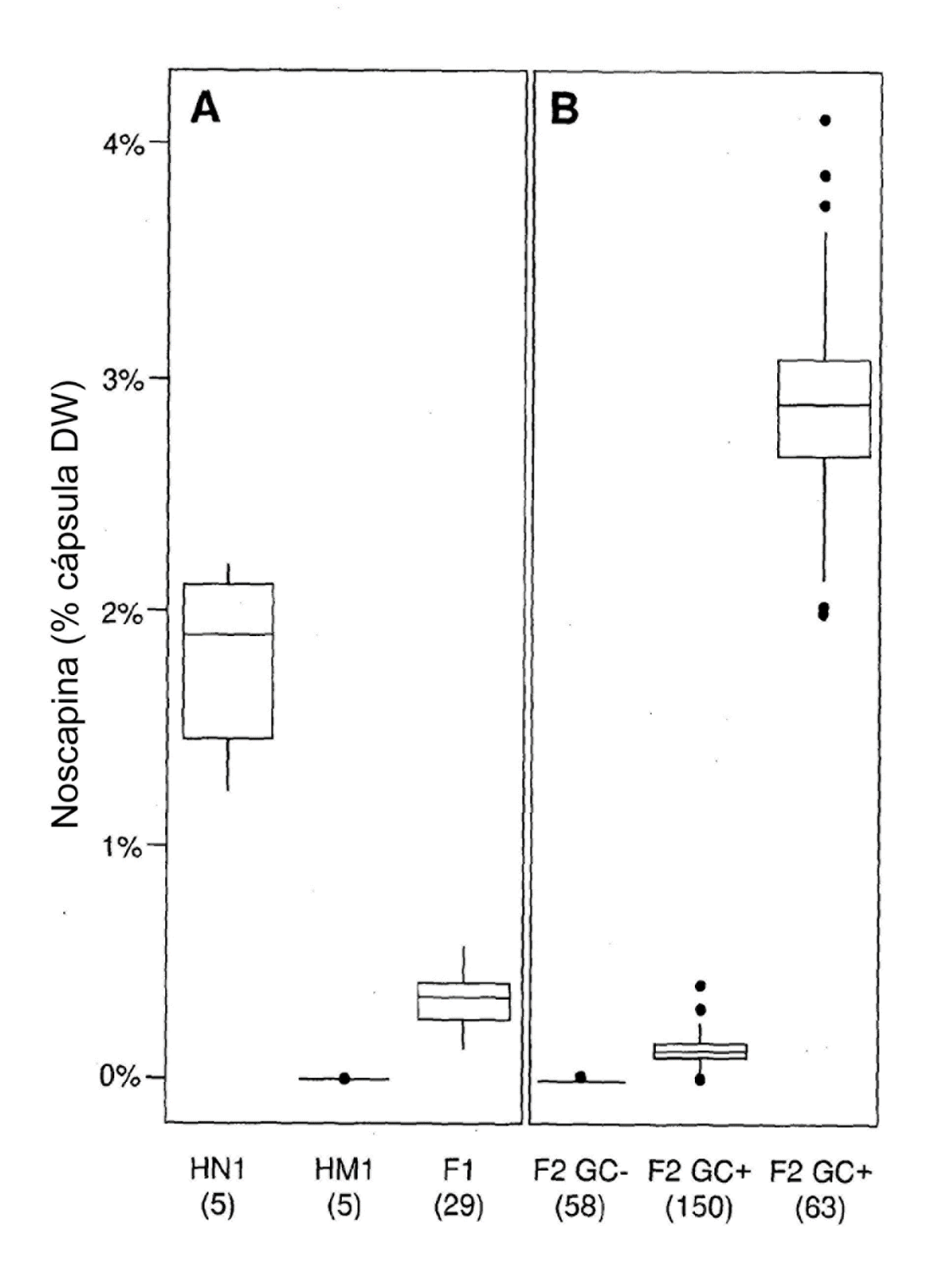


Figura 3

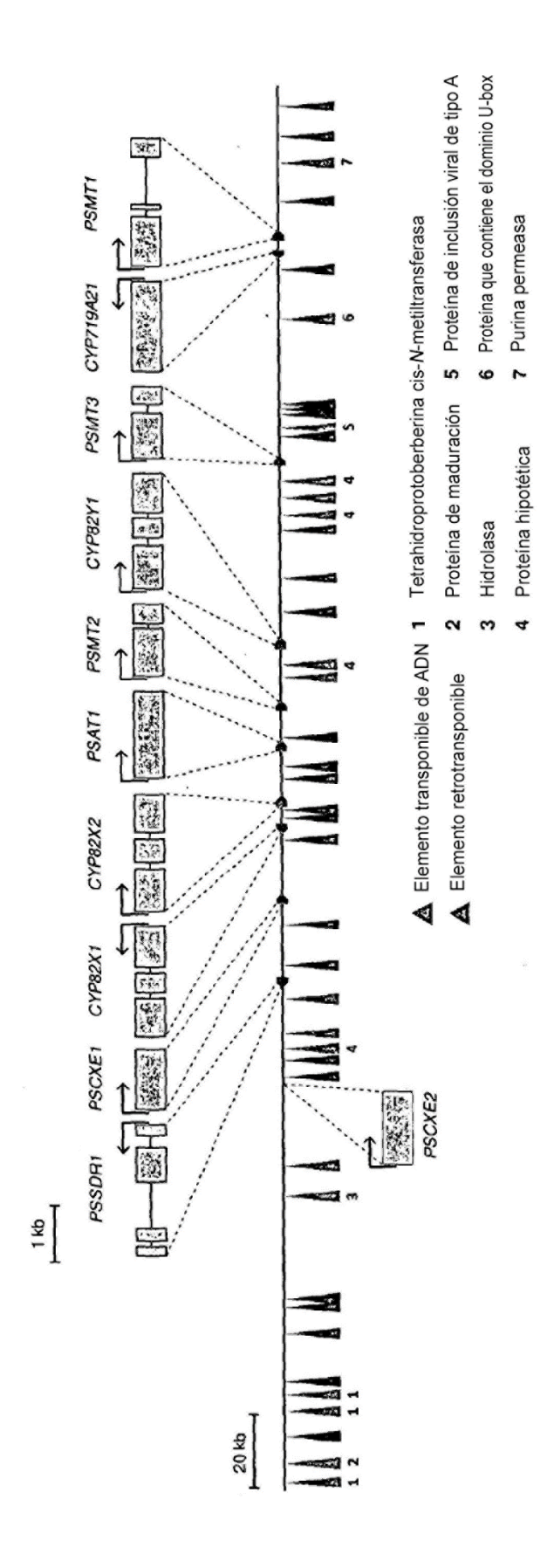


Figura 4

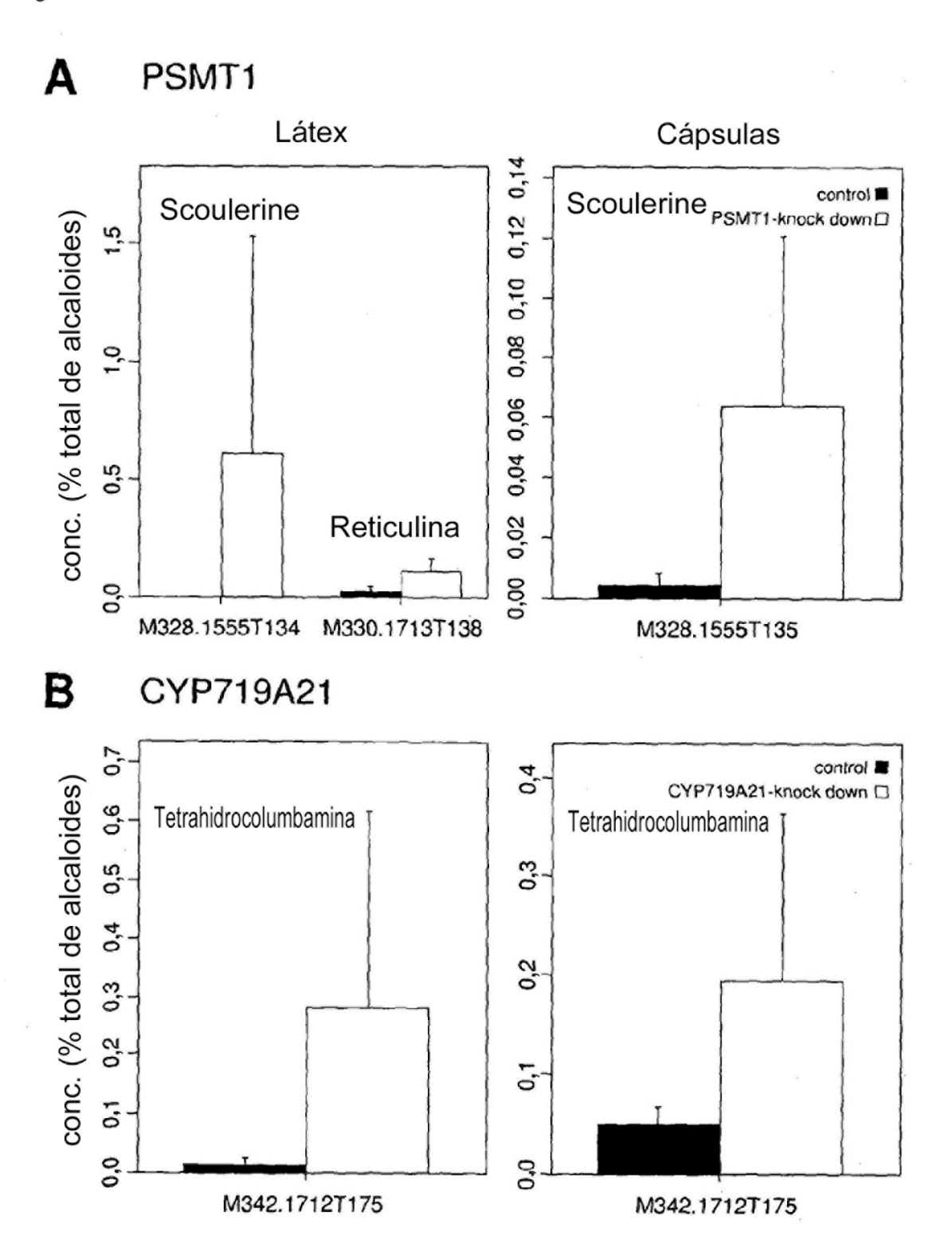
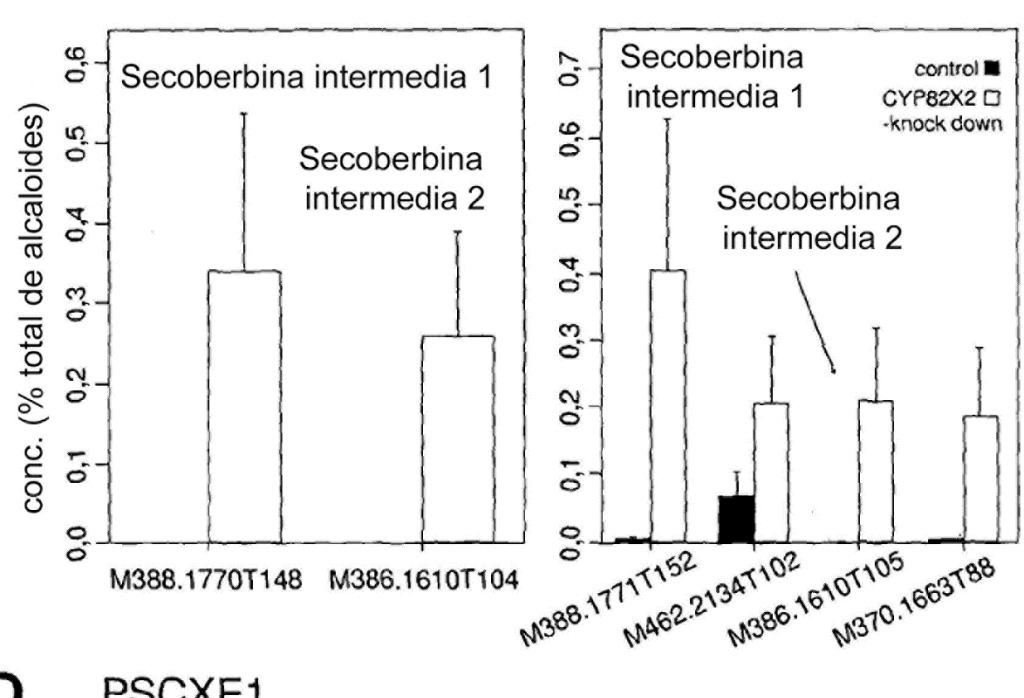


Figura 4 (cont 1)







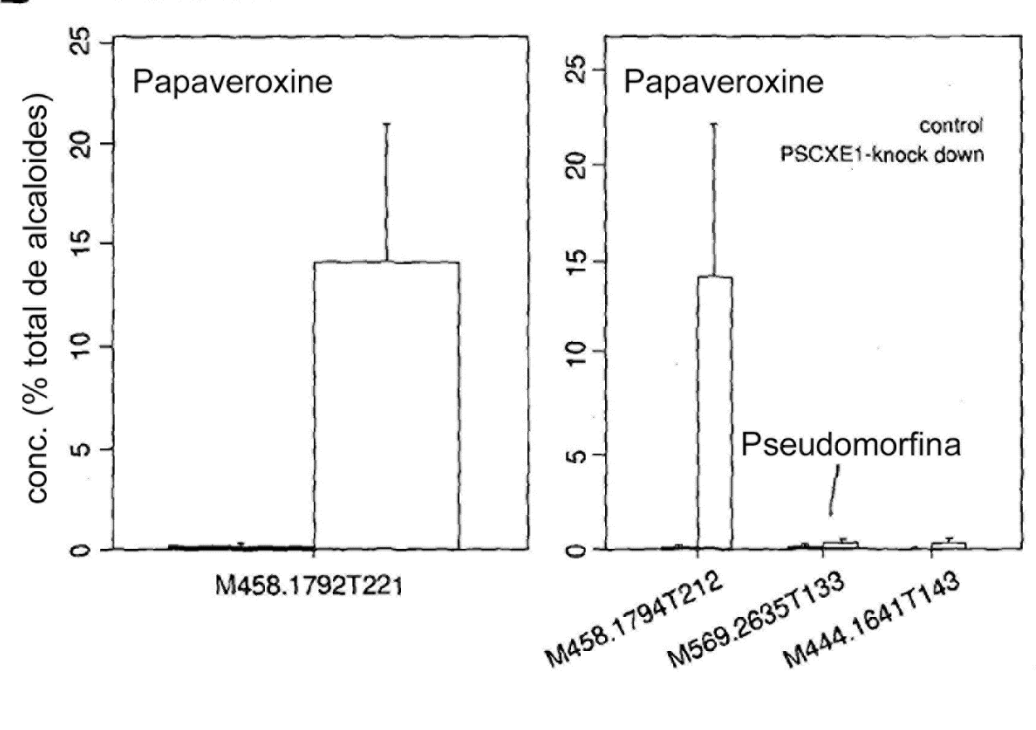


Figura 4 (cont 2)

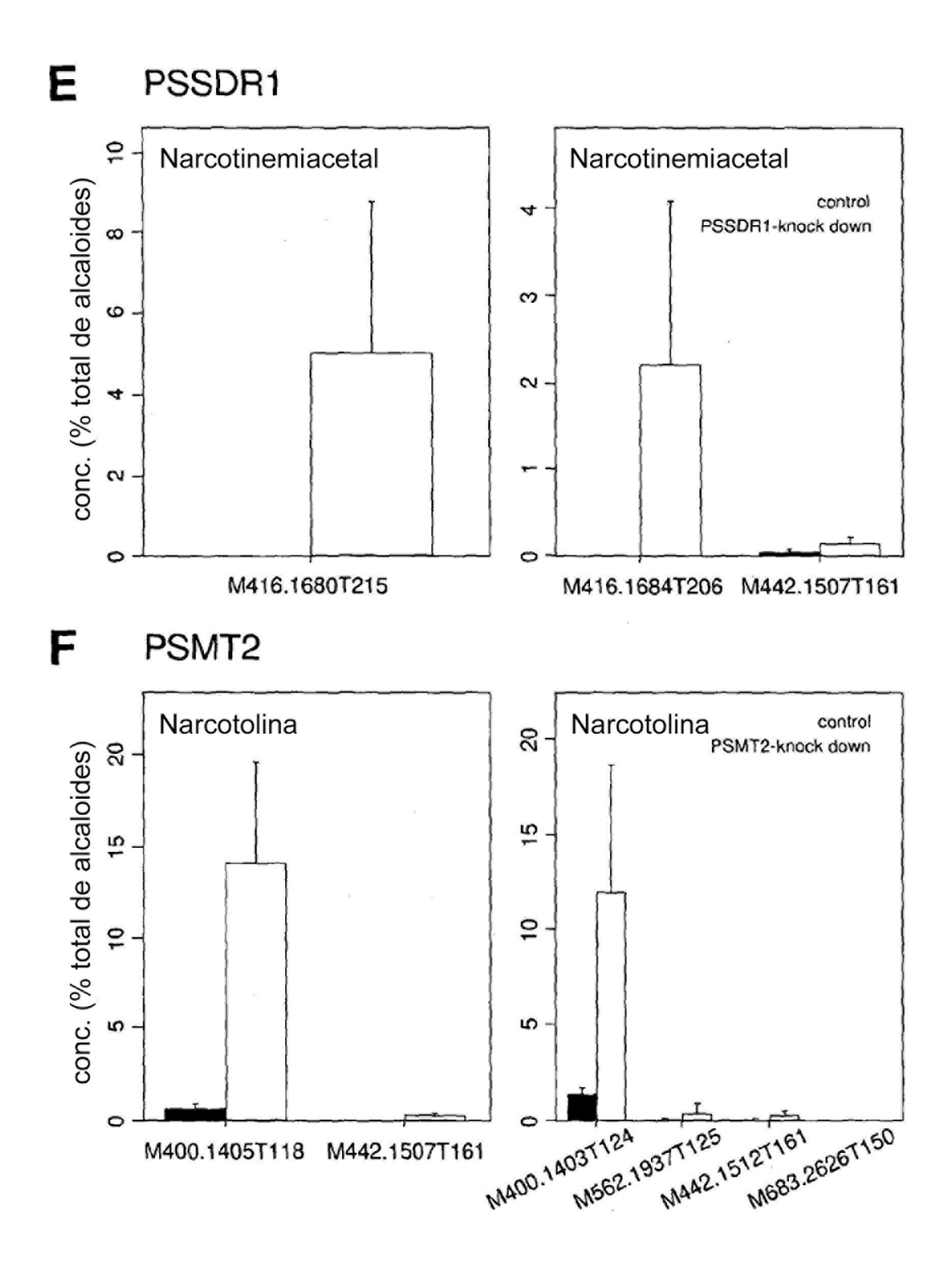


Figura 4 (cont 3)

G H3CO. Hun Scoulerine H3CO Him Tetrahidrocolumbamina OCH<sub>3</sub> CYP719A21 OCH3 Hw OCH<sub>3</sub> Canadina N-metilcanadina OCH3 OCH<sub>3</sub>

## Figura 4 (cont 4)

# Figura 4 (cont 5)

Figura 5

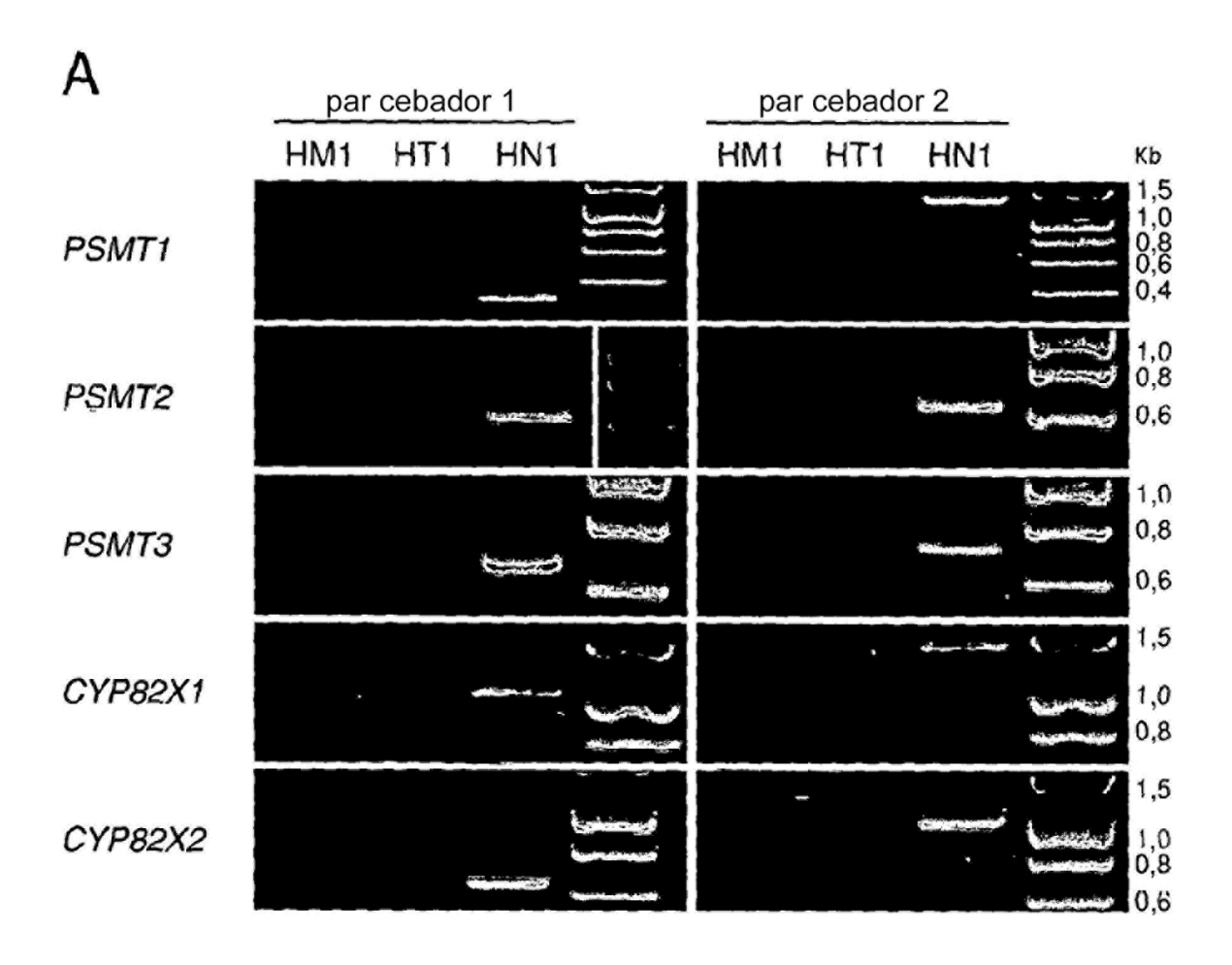


Figura 5 (cont 1)

CYP82Y1		a-dware	السيا	1,5 1,0 0,8 0,6
CYP719A21		Succession Anna		1,5 1,0 0,8 0,6
PSAT1	اليوندونية اليوندونية اليوندونية المدادونية	Secretary St.		0,8 0,6 0,4
PSCXE1	Cantificationing	- China manifest		0,6
PSSDR1	الرويدونونون (الرويدونونونونونونونونونونونونونونونونونونو	Spenneystade		0,8 0,6 0,4

Figura 5 (cont 2)

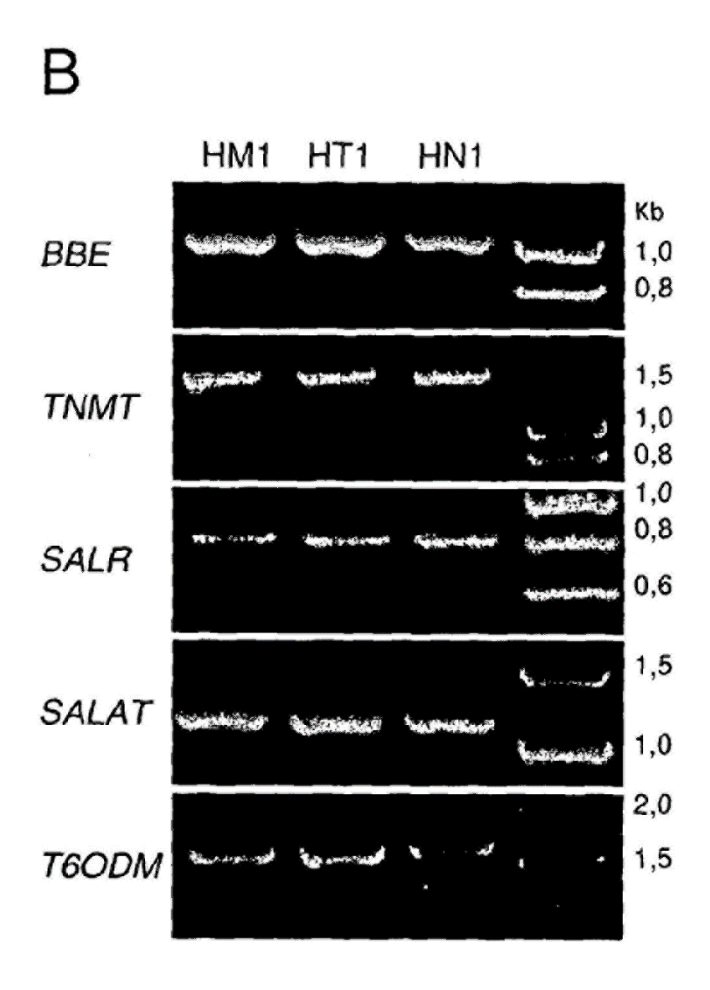
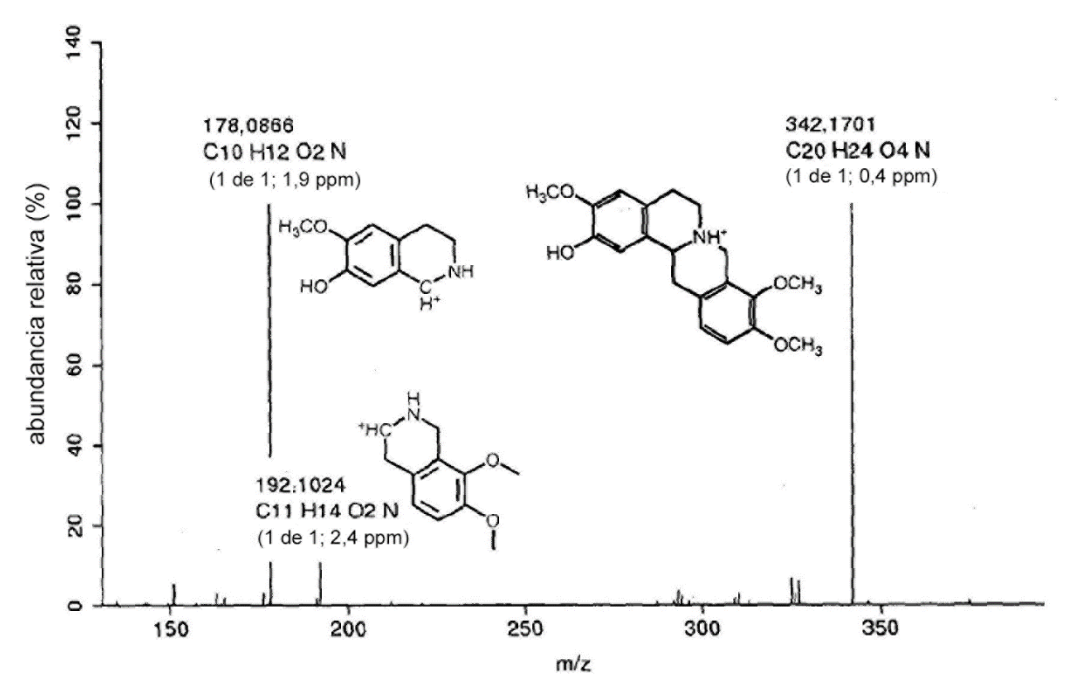
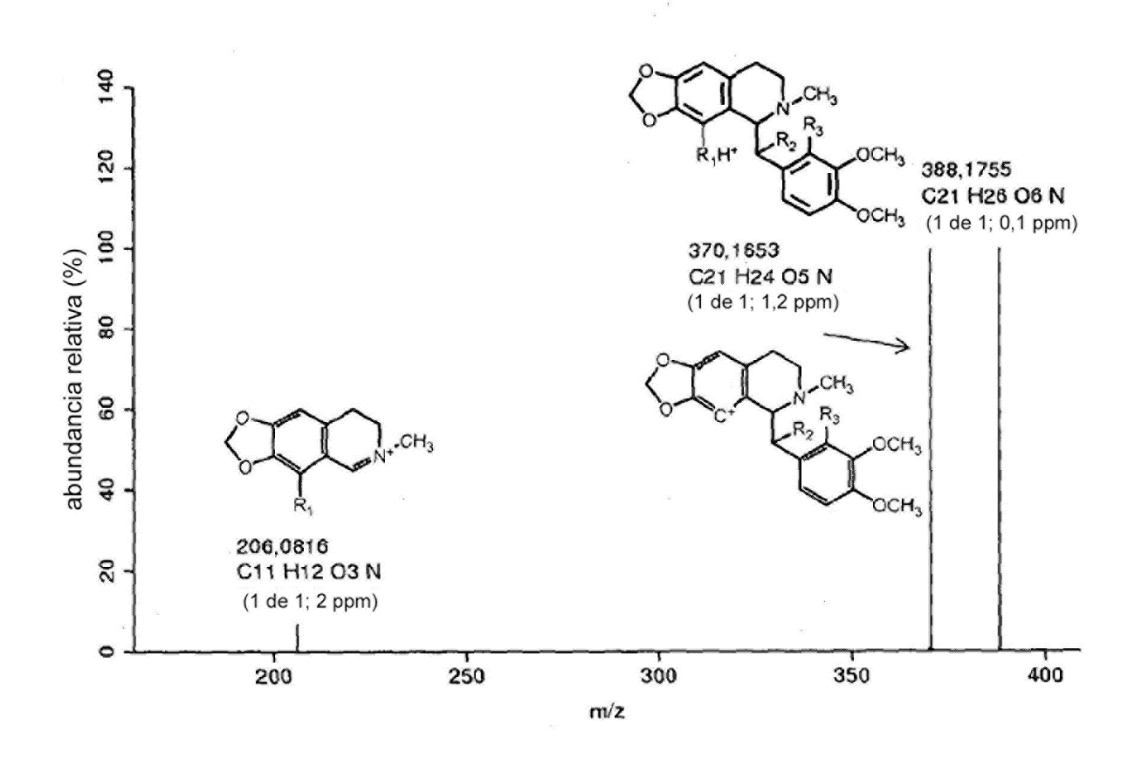


Figura 6

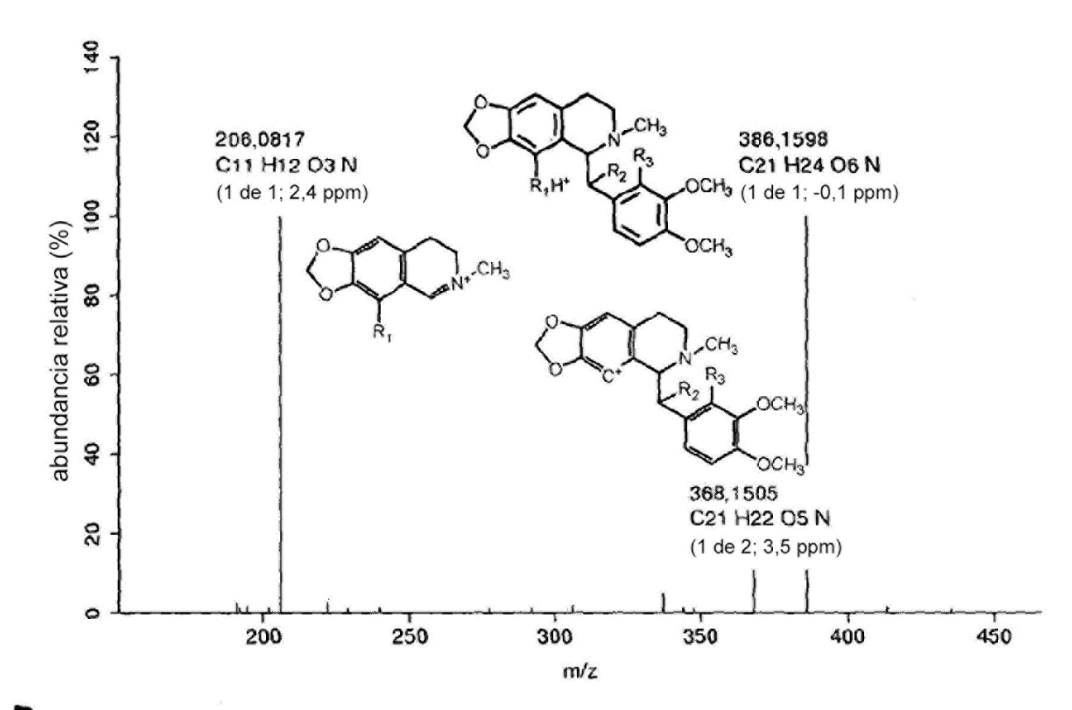
Α

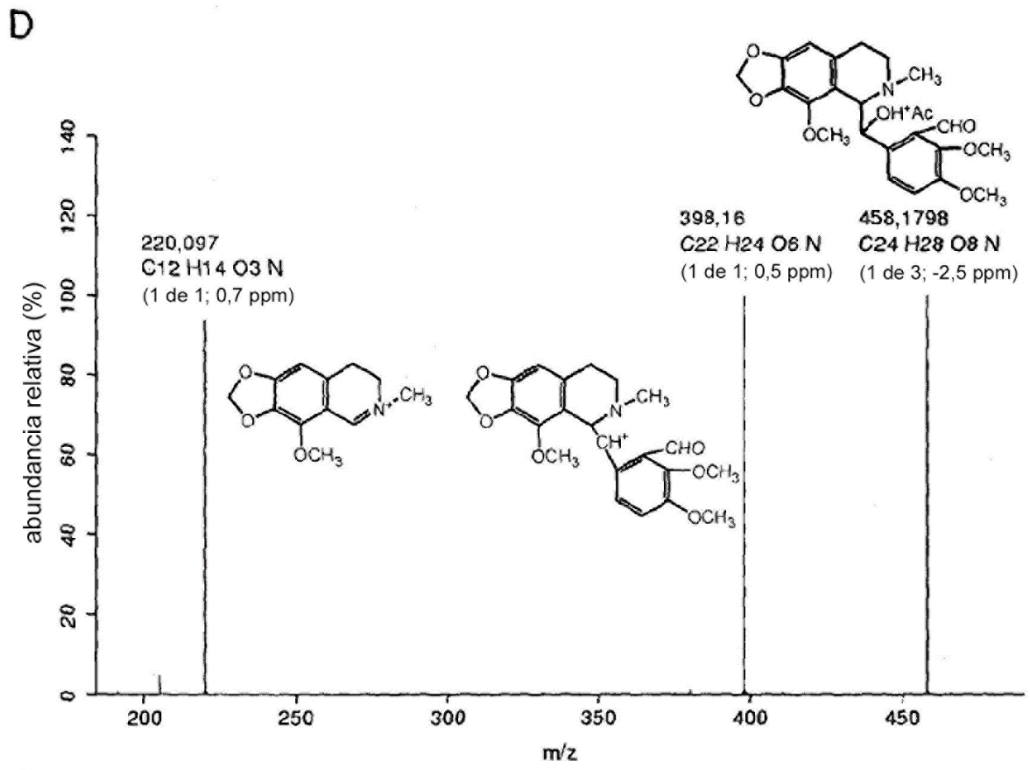


В

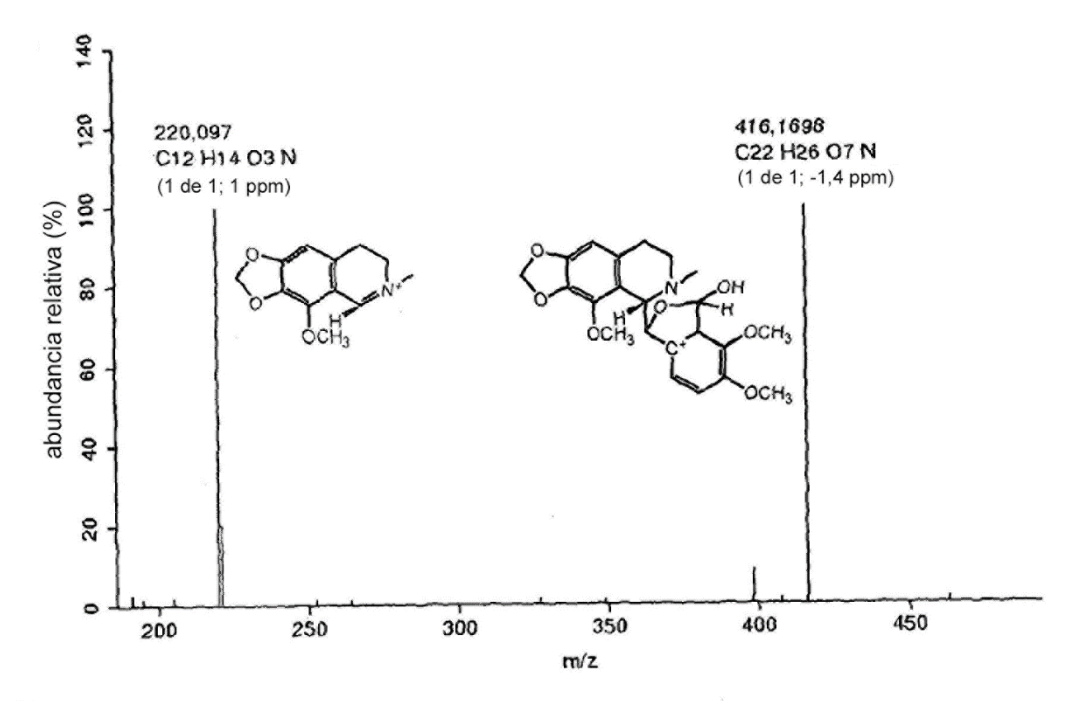


# Figura 6 (cont 1)

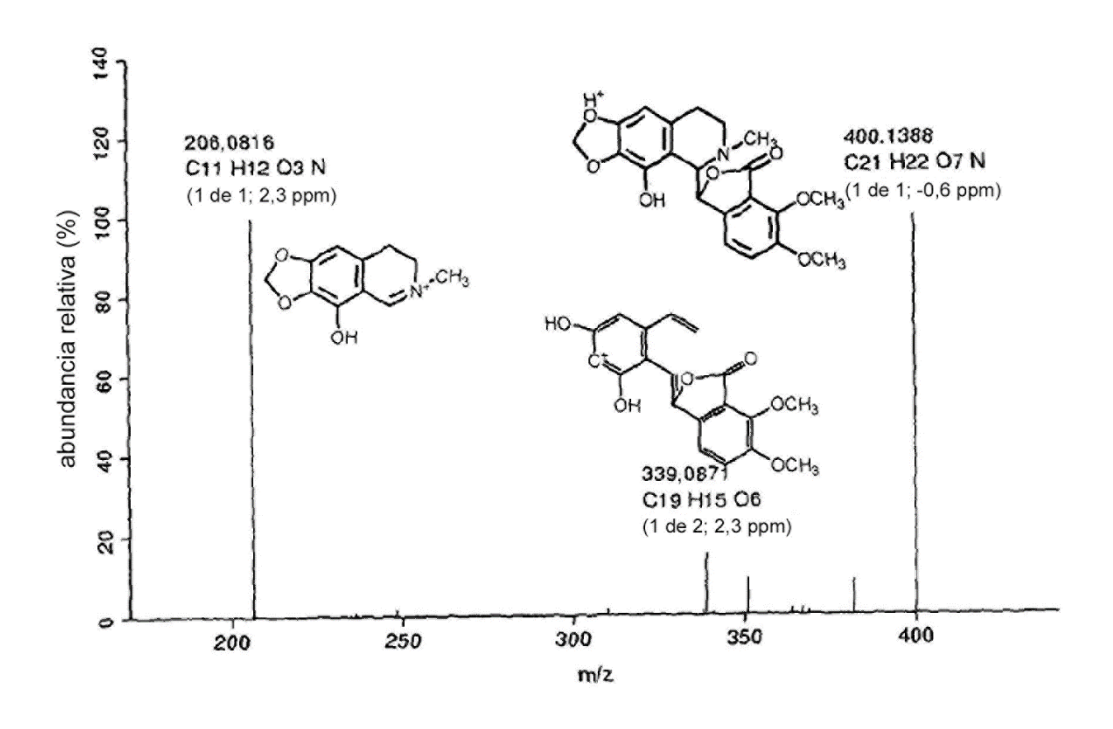




# Figura 6 (cont 2)



F



## SEQ ID NO: 1 PSMT1

Comienzo	Fin	Característica
1	66	región no traducida 5'
67	877	exon 1
878	993	intrón 1
994	1058	exon 2
1059	1841	intrón 2
1842	2138	exon 3
2139	2306	región no traducida 3'

#### > PSMT1

AGCAGCAATGGTGTCTGTTATCTTTCAGAAACGGCTAACTTGGGGAAGTTAATATGCATTCCAATGGCACTAAGA GCTGCGATGGAGCTAAATGTGTTCCAACTTATCTCAAAGTTCGGAACTGACGCAAAAGTTTCGGCTTCTGAAATT GCCTCTAAAATGCCAAACGCGAAGAATAATCCTGAAGCAGCTATGTATTTGGATAGAATTCTTCGACTGCTCGGG AAGCTTTATGGGTTAACAAATTCGTCGTGTTGTTTGGTCCCTCGACAAGAAGACGGGGTGTCATTAGTCGAAGAA TTGCTATTCACATCTGACAAGGTTGTTGTGGATAGTTTTTTCAAACTGAAATGTGTGGTGGAAGAAAAAGACAGT AACGATGGAATGGCAGTTTTCTCTATTGTTGTTTTTTGAGGCTGTTTTTAGAGTTTACGATGGATTTCTTGATATG AAAGAATTGTTAGATGTTGGTGGTATTGGTACTTCGGTTAGTAAGATTGTTGCTAAATACCCTTTGATTCGC GGTGTCAACTTCGACTTGCCTCATGTTATTTCTGTTGCCCCTCAATACCCAGGTATACCTTCTTCTTCTTTTTTC TGAAAAGAACGGGTTCGAATTTTTACAGAATTTTTTTTTCTCATTCGATACTCAAGCAACTCTATTAAAGTATACT GTGTAATAATGCATGCAGGTGTAGAGCATGTTGCAGGAGATATGTTCGAGGAAGTCCCAAAGGGTCAAAACATGT TGCTAAAAGTAAGCTAACCATACTCAATTTTCTTAATAATTAGGAAAATTGCAAAAAACCGTCACAATATTATAAA GGCATCTGAAGTGCCATCACTCAGATACCGATGCTATGTACTCTATACATTGACAAAATTCCATGGTATCAAGTC ATATTGGAGAAAAGTGCAGATCTTGCTACATTAAAATTTATAATAATAAAAACATTTGTTTATGGTTGTTTGAA AAAAAAATCTCATTGTTAATGCATCTTTCTAAGTTAATGGTGATTAATGGTGAATAATATGATATCTTATTACC GTCTTGACACTTTTTTTTTTTGTCGTAGACAAATATTTCCAACTTTTCTATATTAATAAAATCAGAAATATTTCA TTTATATGAATATTAAAATAAGAAGGTGCATGAGTAATATTCCAAATTTCTTAAAGCGTTTTTTATAGCAGTACG GCGTTTTCTCAAATCTTATTAACCCATAATTAAAGGGTTTCCGTAAATTAAATTGAGGGATATCAAAACAAAAAC AAAAAATAGGGTTATTTTGCAGTAAAATCAATAACCCCTTATCATATGAAAAGGATAACTTAGTCTACCCCAATT TGGAGAGATATGGGCAATTATTGTATTACTAGTTCGTTTGAGCATTGATAATATTTTTCATTAGATTTATACTCA ATAAAATATATGAACTATATTGATAAAGATTAATAATGCAGTGGGTACTGCACGATTGGGGGTGATGAACGATGTG ATGAACTTGGTAACAATGCTGAATCATTCAATGCGTTGATTCCCGATTTACTCCTGATGGCTCTGAATCCAGGCG GTAAAGAGCGAACGATTTCCGAATACGATGATTTAGGCAAAGCAGCTGGATTCATAAAAACTATACCTATCCCTA GGTGTGAACTAGTTGTGTTGAGTGGACAAAAGTAAGTAATCGTATTTTGTGTT

## SEQ ID NO: 2 PSMT2

Comienzo	Fin	Característica	
1	74	región no traducida 5	í
75	851	exon 1	
852	938	intrón	
939	1232	exon 2	
1233	1440	región no traducida 3	•

#### > PSMT2

GAATCAGAAACTTTCTTCTAAAATCTTTCAATACCAGTACTGTTAGTTTCCGATAAGAGCCACACTAATCCATTA TTGATACCTCTGTTCTGAGATGTGCAATTCAATTAGGTATATTTGATGCCATTCATAACTCTGGCAAACCAATGA TTACCTTAACCGAATTATCAAGCATTGTTTCATCACCCTCTTCATCTTCAATCGAACCTTGCAACTTGTATAGAT TGGTTGTTGTTTGGCACGAACTAAGTAGCTCTGTTTCAACTCCTGCGGATGAGCCTCCAATCTTCCAGAAGGTTC ATGGTAAAAATGCTTTAGAATTAGCAGGGGAATTTCCAGAATGGAATGATCTGATCAACAATGCTATGACTAGTG ATACTAGTGTAACTAAGCCAGCGCTAATACAAGGATGTGGCAAAATCCTGAACGGAGTTACATCGTTAATTGATG TCGGTGGTGGTCACGGTGCCACTATGGCCTACATAGTTGAAGCTTTTCCTCACATAAAAGGTGCGGTAATCGATT TACCACATGTTGTTGAAGCCGCTCCGGAGCGTCCAGGTGTTGAGTTCATCAGCGGTGATATATTCAAGTCCATTT CTAACGCTGATGCTGTTGTTGAAGGTATGTAAAGAGTAGCTAACCTTAGTGCGTCTAATTTATTCCACAAATT TTTCTGATGCATTTTATTCTTATTTTTGGTTTTTTGCAGTATGTCCTGCACAATTGGGAAGATACGGAATGTGTGA ATTTACTGAAGAGATGTAAGGAAGCAGTTCCGGCAGACAAAGGAAAAGTGATCATAATGGATTTAGTAATAGACG ACGATGATAACAGTATTTTAACGCAGGCAAAGTTGAGCCTTGATCTCACTGTGATGAACCATGGAGGAGGTAGAG AAAGGACTAAAGAAGATTGGAGAAATCTAATTGAGATGTCTGGATTTAGTAGGCATGAAATAATTCCAATATCTG CCATGCCATCAATTATTGTTGCTTATCCTTAGTTAAGTCACCCGCATGTTTACTTGAACGGGAATAAGTTGGGGG CGTGTTGAATCTGTTAACATCGCAATTGTGCCTTTACTTTATGCATTCTCATTCCGGTAGAAACTGTTTGGGGCA CTGTTTTCAAGGCAT

## SEQ ID NO: 3 PSMT3

Comienzo	Fin	Característica	
1	120	región no traducida	5'
121	846	exon 1	
847	994	intrón	
995	1288	exon 2	
1289	1436	región no traducida	3'

#### > PSMT3

AAGTTGCAGGTAGGGTTATGAGCAAGCTCAATTATCTCTCCTATAAAAGCTAACATTAGAAAAACTAATAAGCAC ACAAACCGTAAAAGTTCTGAAGATAGACAAAACAAGAGAAAAAAGATGGAAGTAGTAAGATTGATCAAGAA AACCAAGCAAAAATTTGGAAACAAATTTTTGGTTTTGCAGAATCATTAGTTCTAAAATGTGCAGTTCAGTTAGAG ATTGCTGAAACACTTCATAATAATGTAAAACCCATGTCTTTATCCGAGTTAGCATCTAAACTTCCGGCTCAACCC GTTAATGAAGACCGTTTGTACCGAATTCTGCATTTCTTAGTTCACATGAAACTCTTCAACAAAGATGCTACCACA CAGAAATATTCATTAGCTCCACCAGCAAAGTATTTGCTAAAAGGCTGGGAAAAATCAATGGTTCCTTCAATATTA AGCGTGACTGATAAAGATTTTACAGCTCCATGGAATCATCTTGGGGACGGTTTAACCGGTAACTGTAACGCTTTT GAGAAAGCGTTAGGAAAGGGCATTCGGGTTTATATGAGAGAAAATCCTGAAAAAGATCAATTGTTTAATGAAGGA ATGGCTTGTGATACTAGATTATTTGCTTCAGCATTGGTTAACGAGTGCAAAAGTATTTTCAGTGACGGGATCAAT ACACTTGCCGGTGTTGGCCGTGGTACTGGTACTGCAGTGAAAGCCATATCCAAAGCTTTTCCGGATATTAAGTGC ACAATCCATGATCTTCCTGAAGTTACCAGTAAAAATAGTAAAATTCCAAGAGATGTTTTTAAGTCCGTTCCTAGT GCAGACGCCATCTTTATGAAGGTAACTTCTAAGAAATTTTGTTTTAGAATATTCGTTGCAACTCTAATTGACAAC ATTCATAAAAATATGTTAATGGTCTTAATTTATTAATTCTAGTAGAGTTACTTAAATGATATACAAAAATTCAA AATCATATAACATTTGCAGAGCATTCTTCACGAATGGAACGATGAGGAATGTATTCAAATCTTGAAACGATGCAA AGAAGCAATACCAAAAGGGGGCAAAGTTATCATTGCGGATGTCGTAATAGACATGGACTCGACTCATCCGTATTC AAAATCTAGACTCGCAATGGATTTGGCTATGATGCTCCACACGGGTGGAAAAGAGAGAACTGAAGAAGATTGGAA AAAACTTATTGATGCTGCAGGTTTTGCTAGCTGTAAAATTACTAAACTATCTGCTCTCCAGTCTGTTATTGAGGC TTACCCTCATTGAGGATAATTTTTATCCTTCTGTTTTCCCTTTGGTTAATTGTTGCCTTCTCTTTTGGATCATGGT TGCGTTTATAATAAATGCAGCGTTTCTTTCCTGGCGGTAAGTGCAAGAAAAAAAGCTTCCAGAAACTTCCTTG AGTATGCCTGG

## SEQ ID NO: 4 CYP82X1

Comienzo	Fin	Característica
1	130	región no traducida 5'
131	800	exon 1
801	881	intrón 1
882	1216	exon 2
1217	1298	intrón 2
1299	1916	exon 3
1917	1921	región no traducida 3'

CTTGAGTCATGCCTTGATATGCTCATATTTTAGTTTGTCATATTCACTATAACTATAAATTTCAATACAATTTCT AAAACTCATCATCATCAAGAGAGATACAAATACCTTGATATCCTTTTATCATCAATGGAGTTATTCATAAAGTT ACCATTTATCCAACCAATTCCTTTCAGTATTATTCTTGTTACTACAGTTTCGATTGTTCTATTATACAGTGTCTT CTTCTGGGTTACTGATAAGAAAAGAGAGAAGAAGACAAATGCTGCAGGGGCATGGCCGTTAATAGGTCA TCTCCGTCTATTGATGAACGACAAGGAACCGTTGTATAGAGCACTAGGGAGCATGGCTGATAAGTACGGACCTGC attcaacatccgattaggtaaccaagaagttcttgttgtgagtaactgggagatggtaaaacagtgttttggtaa TCAAAATGATAAGCTATTTTCGAATCGTCAAACTACATTAGCTGCAAAATACATGCTTAATCAAACAACTTCTAG CGGATTCGCACCATATGGACCATATTGGAGAGAGCTACGAAAGATAATGGTGCAGCAATTACTCTCTAAACAATC CAACGGTACTGGAACAGCTACCCTAATTAGGATGGACGAATGGTTTGCTGAGTTGACGTTCAACGTGATCGCAAG AAATGTCTTTGGCTACCAAAGTGGCGGAAGGTCGACAGCGCTTACGAACGGTAATATGATCATACTCCCTCAATC TGTATCAATTTAAGGAAATCATTTTGGTCTTGTTATTAACTTGAATTTTCTATTAGGAGATACGGAATCAAAGGG CGAGAGGTACAAGAAAACATTGGAAGAAGCACTTCATCTTATGTCAATTTTTGCAGTTTCAGACATATTTCCAAG TCTAGAGTGGGTAGATCGGTTAAGAGGCCTTATAAGGAATATGAAACGCTTTGGAGATGAGCTAAATTCAATTGC agggtgtcttattgaagagcaccgccaaaagagattacaatccgtatctaaaagtgataaaggagttggtgatga ACAAGACTTCGTTGATGTTCTCTTATCGGTTGCTGAAAAATCGCAACTTCCTGGAGATGACCCTGATTTGGTCAT CAAGTCTATGATTCTGGTTAGGCTATTGATACCAAGTCTATTGCAATTTTGGTTTATGTGCTTGTTCTAACTTTC GTTTACTGCATATGGATGTGCAGGAAATCGTATCAGGTGGGAGTGAGACCACATCGTCAACCTTAACTTGGGCCC TCTGTCTGTTACTGAACCATCCGCATGTGTTAAAGAAGGCAAAAGAGGCAATTAGATACGCACGTAGGAAAAGATA GGCATGTAGAAGAGTCAGATACCCCTAAGCTCGTGTACATTAATGCAATTATCAAAGAATCAATGCGATTGTATC GCTTATTTGTCAATGTTTGGAAGATTCAGAGAGATCCGAGTGTTTGGGAGAATCCTCTGGAGTTTAAACCAGAGA GGTGGTTTTTGAGTAATGGTGAAAAGATGGATGTGGATTACAAAGGTCACAATCATGAATTCATACCATTTGGGA TAGGTCGGAGGATGTGCGCTGGTATGCTTTGGGCATCGGAGGTGATTCATTTGGTGCTGCCCCGTCTTATTCATG AGAAGACACCTCTTGAAGTTATGGTCAATCCTCGAGAGTAGATGTT

## SEQ ID NO: 5 CYP719A21

Comienzo	Fin	Característica	
1	69	región no traducida 5	ť
70	1530	ORF	
1531	1688	región no traducida 3	٢

AACAATCGCACAATGCTGAAAGTCGAAGACGTCAACAAATTACCATATTTACAAGCTGTTGTTAAAGAAACAATG
AGGATGAAACCAATTGCACCACTGGCGATTCCTCATAAAGCTTGTAAAGACACTTCATTGATGGGCAAGAAAGTT
GATAAGGGAACTAAAGTTATGGTTAACATTCATGCTTTACATCCTGAAAAGGTTTGGAAAAGAACCTTACAAA
TTCATACCAGAGAGGTTTCTGCAGAAGCACGATAAGGCGATGGAACAATCACTATTACCATTTAGTGCAGGTATG
AGAATTTGTGCAGGAATTGGAATTAGGAAAACTTCAGTTTAGTTTTTCTCTTGCTAATCTTGTTAATGCTTTTAAA
TGGTCTTGTGTGTCTGATGGAGTGCTTCCTGATATGAGTGATTTACTGGGGTTTTGTTCTTCTTCATGAAAACCCCA
CTCGAAGCACGTATAGGTTCCTCGTTTGTAGTGATGAAAATTCATCTCATGTTGTTTCTCTTCATGTTTACC
ATTTCGTACTCGTTTTGGTGTAAAAAAATAAGATCTAAACTTCCAAATATCATTAATGTTTACACAAATCG
AAATCAATCAACTATGTTATGAAAAATTAGTGTTTTCTC

#### SEQ ID NO: 6 CYP82X2

Comienzo 1	Fin 7 <b>8</b> 3	Característica secuencia promotora	
784	893	región no traducida S	5 <b>'</b>
894	1581	exon 1	
1582	1694	intrón 1	
1695	2050	exon 2	
2051	2170	intrón 2	
2171	2791	exon 3	
2792	2918	región no traducida 3	3'

#### >CYPB2X2

CATGCATTTAGATGAACAAGATACACCAAATGTAGTGACTGAACAAGATGCTCGATCCTAACCCCACCTGCAACT ATATCATATATCTTTGCTTTTTCTTCAATCATTTAGATGAACAAAAAACACAATAAGTGTAGTGGTTGTTCATAA CCCCACCTTCAACTCATTCTTCCCTTTAATAACAAATATCTTTGCTTTTTCTCCAATCATTTACTTGAACAACCA ACACTAGTAAGTGTAGTGGTTTCTCATAACCCCACCTGCAATTTTTGCTTACCTTTAATAACATATATCTTTGAT TTTCTTCGATCATTTTAGCTACCAATGGATGCTGATCCAAAAAGTTATGGCAAAAAGAGACAACGTGATCGAACA CGAGCCTCTCGTGCACCACAGCATCAAGGTTTGTGGAAATTAACCGCTTGTAAAAAATGGAGTGCGTGATCATAA TGAGGTATTGCTAAGATATAGTATCAACTTTAGTGAACTGGGCCAACAAAACTCACGAGTTGTTGAAAATTGGAG AACCTCAATCTAGCTAGAGTCGTGAAAAAGTTTTGTGCGACTGTTATTTAGTTAATTATAAAATTTCAATGAAGT CGTTAATGATGAACAAGTTATTATTTCTCCAACGGATTACTGATTCTCCTTCGACCACCATTATCAGTACTTTTA TTGTTACAATAATATCCATTGTTTTCTCTACACTGTCTTGTTGATAAGGACGACTAAGAATAAGCAGAAGATAA CAGCACCAAAAGCATCGGGGGGGGGGCGTTCATAGGTCATCTCAAACTATTCATGAAACAAGATACTCAGTTTT ACAGAACTCTAGGAACCATGTCTGATAAATACGGGTCGGTGTTCACACTTCGATTAGGAAACCAAGCAATCCTAG TTGTGAGCAACTGGGAGATGGTAAAAGAATGTTTCACAACAAACGACAAGTCATTCTCGAATCGTCCAAGTACGT TAAGCACTAAATACATGCTGAATGACACTAATTCTGTCGTGTTTTTCACCTTACGGAACGTATTGGAGAGAAATGC TCGACAACTCGTTTGTAAAGCTTAATGATTTATGCAACAACGATGTCAGTGGAGGAGGCACAAAAGTTAGGATGG ACGAATGGTTGGCTGACATGATGTTCAACATTATTGCTAGGATTACATTTGGTTACCAAAGCGGAGGAGGCGATG CACCTGGTATGTGATCATCAAATTTTCGTTAAAACCAAATTAACTTGTACTATATCTTATGTTTACATGTTATAT TGATCACTTTGACACGTTCTGATCATTTTCACAAATCGAATTAGGCGCTTCTACAACATCCAAGAATGTCGAGAG ATACAAGAAAACGTTGGACGAGATGTTTGTTGTTTTAGCGACGAGGTTTGCAGTTTCAGATATATTTCCATCTCT GGAGTTTATAGACCGATTGAGAGGTCTTGTAAAGGATATGAAAATCTTGGGAGACGAATTAAACTCCATTGCTGG ATGTTTTATTGAAGAACATCGTCAAAAGAGACGAGAATCATTATCCTCATTGTTATCTTTGTCAAATGAATCCGT TGGTGATGAACAAGATTTCATTGATGTTCTCTTGTCAATAATGGATCACGTCACGGCTTCCCGGAGATGACCCAGA TTTTATTATCAAAATTATGATCCTGGTAACATATATTACAACAGTATTTCTTTAAGTTATGGATTAATGGATGTC GTAACCATGAATATTTTTCTGATCTGGATAAATGTAATCCGGAACTAATATATGAATATTTGTTGACGCAGGAAGC GTTAAAGAGGGCAAGGGAGGAAATAGATAGGCATGTGGAAAACGGTAAGCAAGTGGAAGTGTCTGATATTCCGAA GCTCGGATACATTGATGCAATAATCAAAGAGACGATGAGATTGTATCCAGTCGGAGCATTAAGCGAACGATACAC GACTGAAGAATGCGAGGTTGGTCGGTTTAACGTACCCGCTGGCACACGCTTACTGGTGAATATATGGAAGATCCA 

#### SEQ ID NO: 7 CYP82Y1

Comienzo	Fin	Característica	
1	12	región no traducida	5'
13	718	exon 1	
719	815	intrón 1	
816	1153	exon 2	
1154	1237	intrón 2	
1238	1864	exon 3	
1865	1915	región no traducida	3'

#### > CYP82Y1

ACTCTTATACTTGCTTTTCTGCTGACACTTTCGCCTGTTATTATTTACTATGAACAGAAGAAGAGGGGTTTGAGG CGAAATCGCACCGCAATTACAACGACTCCATTACCAGAGGCATCAGGTGCATGGCCAGTGATAGGTCATCTTCTT CTTTTCATGAACGAAAACGATCTAAATCATGTAACTCTTGGTCACATGGCTGATAAATATGGACCTATTTTCAGC TTAAGATTCGGTAGACATAGAACTCTAGTTGTTAGTAGTTGGGAGATGGTAAAGGAGTGTTTTACAGGTACCAAT GACAAGTTGTTCTCAAATCGTCCTTCCTCCTTGGCGGTTAAACTTATGTTTTATGACACTGAATCTTATGGTTTT GCACCTTATGGGAAATACTGGAGAGAGTTGCGAAAGATATCTACACACAAACTCCTCTCTAATCAGCAATTAGAG AAGTTCAAGCACTTGCGGATTTCTGAAGTCGATAACTCCTTTAAAAAGCTTCATGAGTTATGCAGCAACAACAAA CAGGGAGGTGATACTACATATGTGGCTAGTCTTGTGAGAATGGATGATTGGTTCGCGTACTTGACATTTAACGTA ATAGGACGGATCGTCAGCGGATTCCAATCAAATGCAGTGGCAGGTGAGCTCATATAGCTAGGTTTTTATATGTTT GGTTTGTACACACACACCTCATTCATATTCTAAACTGAATTATATGTTATAATTGAACAACATAGGTGCCACAAA CAGCCAGGAAAAATACAAGCTTGCAATCGATGAAGTGTCAAATCTTATGGCAACGTTTGCCGTTTCAGATGTGGT TCCACGGCTTGGGTGGATTGATCGATTGACTGGTCTTACAGGAAAGATGAAGAATTGTGGTAAAAAATTAGATGC AGTAGTTGGGGATGCAGTGGAGGATCATCGCCAAAAGAAACTCAAAATTTCTAGAAATAACACAGGAGCACTTAC GGAGCACGAAGAAGAAGACTTTATCGATGTTTGCTTGTCGATTATGGAGCAGTCACAGATTCCGGGAAACCACCC TTACATATTATTTTTTATCAATCACACATATGTGCAGGACATGTTATCGGGTGGGAGTGACACTACAAAATTGAT AATGACATGGACCCTTTCTTTGCTGTTGAACCATCCAGACATATTGGACAAGGCTAAAGAAGAAGTAGATACATA CTTCGGGAAGAAAAAGATATCGGATAACACACCTGTGGTTGATGCTGCCGATGTTCCTAACCTCGTCTACATCCA AGCAATCATCAAAGAATCAATGCGGTTATACCCTGCTAGCACATTGATGGAGCGAATGACAAGTGATGATTGTGA TGTTGGTGGCTTCCACGTACCAGCTGGGACACGATTATGGGTTAACGTATGGAAGATGCAACGGGACCCAAGGGT GTGGAAAGATCCACTGGTATTTCTACCTGAGAGATTCTTGAGCAATGACAAAGGGATGGTAGATGTGAAGGGTCA GAATTATGAACTGATACCATTTGGAACAGGCAGGCGGATATGTCCTGGTGCATCTTTTGCCTTGGAAGTCTTGCA TTTGGTTCTTACTCGTCTTATTCTTGAGTTCGAGATGAAGGCACCAGAGGGGAAAATTGACATGAGGGCAAGACC AGGTTTTTTCCACAACAAGGTGGTGCCACTAGATGTTCAACTCACCCCACGCACACTAGATTAAGATTCCTATAT ATGCTAATTAATTAGATGAATAAAATCTGTGGTCGAGTAA

#### SEQ ID NO: 8 PSCXE1

Comienzo	Fin	Característica	
1	15	región no traducida 5'	
16	978	ORF	
979	1333	región no traducida 3'	

#### >PSCXEI

AATAAAAATCCAACAATGGCAGATCCTTATGAATTCCTAATGTGCATTCACAATCCTGAAGAAGATACCCTAACA AGAAATTTTCCGATTCCTGCTACTCCCTTAGATCAAAACACCAAAGACATTTCTTTAAATCCTGATAGGAAAACC TCACTTCGAATCTTTCGGCCACCAACCAAGAACCTCCTGTAACAAAGAATAAGCTGCTTCCTATCATAATTTAT TTCCATGGTGGAGGTTTCATTCTTTTCAATGCAGATTCAACTATGAACCATGACTTTTGTCAATCGATTGCTACA CATATACCCGCGCTGGTCGTTTCTGTAGACTACCGTCTTGCTCCTGAAAACCGACTTCCCGCTGCCTATGATGAT GCTGTTGATGCTTTAAACTGGGTCAAAGACCAAGGTTTAGGCAAACTAAATAGTGAAGTATGGTTAAAAGAG TATGGTGACTTCTCAAAGTGTTTCATTATGGGGTGCAGCTCAGGTGCTAATGTTGCATATCATGCCAGTTTAAGA AGAACTGAATCAGATTCAAAAGTGATCAACAATCAGGACTTGCCGCTTGCCGTAAGGGATGTCATGTGGGAACTG GCGTTGCCGCTTGGGTCTACTCGTGATCACGTTTATTGTAATCCGAATATTGATCATGATGGATCATCATCTGGA AATATGGTGGGGTTAATCGAGAGATGTTTTGTGGTAGGATTTTTATGGGGATCCACTTATTGATCGACAAATTCAG CTGGTGAAGATGCTGGAGGAAAAAGGTGTGAAGGTTGAAACTTGGATTGAACAAGGAGGGTATCATGGGGTGCTA TGCTTTGACCCTATGATACGTGAAACCTTTTTGGAAAACTAAAACATTTTATTTTAAACGACGAATTTATATAC TAAAATATTATTAGTATTAAACAATGAAATTCTTATTTTTTCTAAAATGAGCTTTTGGACGAAACATTGTGTA TCGTTCTT

#### SEQ ID NO: 9 PSSDR1

Comienzo	Fin	Característica
1	254	región no traducida 5'
255	423	exon 1
424	635	intrón 1
636	1178	exon 2
1179	1953	intrón 2
1954	2146	exon 3
2147	2236	intrón 3
2237	2378	exon 4
2379	2488	región no traducida 3'

## >PSSDR1

CTAACAGGCAAACAATAACAGGTTGCACCTACAACATTCAATTTTATTTTGGTAAATGAAGTTCAGTTGGAGAGTAACCACA TCTTTGTTGTCGCCATTGCCCCCACAATACTGAGTGTTTTGGCTGAGTGTAGTCTGACTGTAGGTAAGCTACAACTGCATGTT GCAGATAATCACTAACTGATTATTCATGCATACCTAACAGTCATATTGTTATAGTTCCCQAAAAAAATTCTCGAACTATA  ${\tt ACAGGTGGAGCTGGATACTTGGCATCTTGGCTGATCATGAGATTGCTTGAACGTGGTTACTCTGTTCGGACCACCGTTCGGTC}$ TGACCCAAGTACGTAATAAATTAAATTTCCTGGCATCATTTTCTTCAATATAAATTTCTTATTATCTAGTTCATCATTCTTTA TTGTTCCAATCATGTCCCCCCAAGTCTAAAAGAAGTAGTAATCTAAAAATAGCTAATTTATGTACGAAATTGTAACAATGATC TCCTAGCTTATGAGGCTCACCTAATTTCGTTTCTATCATTTTGTGTCTTGAAAGAATTTAGGGAAGATGTGAGCCACCTTAAA GCTCTTCCTGAAGCTACAGAGAGCTTCAAATTTTTGAAGCAGATCTTGAAAACCCAGAAAGTTTCGACGATGCGATCAACGG TTGTGTCGGTGTCTTTCTCGTTGCTCAAGGAATGAATTTTGCCGAAGAATATACTCTTGAAAAAATAATCAAAACATGCGTGG AAGGAACTCTTAGAATTCTACAGTCATGCTTGAAATCTAAAACAGTGAAAAAGGTTGTGTACACATCTTCTGCTGATGCAGCA ATGATGATAAGTAATCTCAAAGCTGTTAAAGAAATTGACGAGACAATATGGTCAGAAGTTGACAATTTCATTAGCAAACCGGA ACAAGTTATTCCTGGATTGCCCTCATATGTGGTTTCAAAGGTACTGACAGAAAGAGCTTGCCTAAAGTTTTCTGAAGAACATG GTTTGGATGTTACTATACTTCCTCCGTTGGTTGTTGGACCTTTTATCACTCCCCATCCTCCCAGTGTATCTATAGCT CTTTCGATAATTTCAGGTATCCTCTCCATCCGAAAAATATGCCAATTCCTAAACTTAAAAGGCATATTGATATTTAATAATAC CTCCATACCTAAAAAAAAGAGTTGCTATATAACATTTTTAATTTTCGCCCCATTTTTAGGCCTAATTGAAAAAGTTATAATAACA TTTTAGGAAGGAGGAGAATGATTTTTGAGCAAACCTTAGAACTGTGTGAGATTTGTCCGTTATCATTGTTGGTATAACT GTGTATATCATGGTTTTTAAAAGCGCCGCTCACGCTACGCTTCGTACGGTTCGGTCTAGATTTTTTTAATTCGCTCCGAAGCG TAGTTATGAAGCTACCATGAAGCGCCGCTTCACGCTACGTTTCGTACGCTTCGCTTCAGATTTTTCAAATTCGCTCCGAGGCG AATCTACCATGAAGTGGAAGATTCCTTTAATTGATTCACTTTTTTACTTAGTCAAGTCTTTTTTAGGGGGGTTTCGAAAACTAA AGTGAACCACTGCGCCTCGCTACTGTTTTTTGAAATTAACTAGACTTATATTAAATTGATACAATTATTATATCTTCCTAAATA 

## SEQ ID NO: 10 PSAT1

Comienzo	Fin	Característica	
1	53	región no traducida S	5 <b>'</b>
54	1469	ORF	
1470	1572	región no traducida :	3'

#### > PSAT1

CGCATATAATCCAATTTGCATTGTTTATCGACCTTGAGGAACAATTAGGGGATATGGCAACAATGTCTAGTGCTG CTGTAGAAGTGATCTCGAAAGAAACGATTAAACCAAGAAATCCAACACCATATCAACTTAGAAACTACAATATGT GTACCGGAAGTAAGCACCATGATGATCTTCACTTGCTTAAGAGGTCTCTTTCTGAAACGCTAGTTCACTTTTATC CAATGGCTGGTAGGATGAAGACAACATGACTGTTGACTGTAACGACGAAGGTATTGACTTTTTCGAAGTAAGAA TCAAAGGTAGAATGTGACTTCATGATGAAATCAGATGCACACTTAAGTCTGCTTCTTCCGTCTGAAGTCGCTT CCACGAACTTCGTGAAGGAAGCACAGGTGATTGTTCAAGTGAACATGTTTGATTGCGGTGGAACTGCCATTTGTT TAGCTCGTCGTGGGAGCTCTATTGCTGCACCAACCACAAATCAGAATTTGGTTCCTTCTTTCGATTCGACATCAC TCTTTCCACCTAGTGAACAATTGGCATCTCAAGTTTCCTATCCTACACAGGATAGTACCAGCGTAGATAAACTTG TCAGCAAAAGATTTGTGTTTGATGCGGCAAAGATTACATCTGCACGTGAAAAATTGCAATCCTTGATGCATGATA AATACAAATGCCATAGGCCGACAAGGGTTGAGGTAGTTTCCGCTTTGATATGGAAGTCAGCAGTGAAATCTGCTC CGCCCGGTTCTATATCCACTGTAACCCATGCCATGAACTTTAGAAGAAAATGGATCCACCATTACAAGATGCGT CATTCGGGAATCTTTGTGTGGTTGTTACAGCAGTATTACCAGCAACAACGGCGACAACAACAACAATCCAGCAACCA AAAAAGTTAGTAGTACGAGTAATGAAGAGCAAGTGGCACTTGATGAGTTAAGTGATTTTGTAGCCCCTATTGAGGC GCGAAATAGATAAGGTAAAGGTTGATAAAGGTTGCATGGAGAAAATCATTCAAAAGTTCATCTATGGTCATGATG CTTCCGTAGCGAAAGACAGTGATGTTGAAGATAAGGTGACAGCTTTGTTTATGACTAGCTGGTGCAAGTTTGGAT TCTACGAAGCTGATTTTGGTTGGGGAACGCCAGTTTGGGTAACTACTGTTCCATTAATTGAGCCAAAGTACAAGA ACATGGTTTTCATGAACGATATGAAATGTGGTGAAGGAATTGAAGTGTGGGTGAATTTTCTGGAGGATGATATGA CCAAGTTCGAACACCACCTAAGAGAGATCCTCCAACTGTTTTGATTTTCAACCGTTTCCCTAATAGAGGTCAATT GTCGTGTTTGTCCATCTTAACTACCATCTTTATTCTCTTGTTTTCATACTTGTATTTGTCTTACTCCGGTAA

## SEQ ID NO: 11 PSMT1

MATNGEIFNTYGHNHQSATVTKITASNESSNGVCYLSETANLGKLICIPMALRAAMELNVFQLISKFGTDAKVSA SEIASKMPNÄKNNPEAAMYLDRILRLLGASSILSVSTTKKSINRGGDDVVHEKLYGI.TNSSCCLVPRQEDGVSL VEELLFTSDKVVVDSFFKLKCVVEEKDSVPFEVAHGAKIFEYAATEPRMNQVFNDGMAVFSIVVFEAVFRVYDGF LDMKELLDVGGGIGTSVSKIVAKYPLIRGVNFDLPHVISVAPQYPGVEHVAGDMFEEVPKGQNMLLKWVLHDWGD ERCVKLLKNCWNSLPVGGKVLIIEFVLPNELGNNAESFNALIPDLLLMALNPGGKERTISEYDDLGKAAGFIKTI PIPISNGLHVIEFHK.

## SEQ ID NO: 12 PSMT2

MEIHLESQEQEMKYQSQIWNQICGTVDTSVLRCAIQLGIFDAIHNSGKPMITLTELSSIVSSPSSSSIEPCNLYR LVRYLSQMDLISIGECLNEATVSLTGTSKLLLRNQEKSLIDWVLAISCEMMVVVWHELSSSVSTPADEPPIFQKV HGKNALELAGEFPEWNDLINNAMTSDTSVTKPALIQGCGKILNGVTSLIDVGGGHGATMAYIVEAFPHIKGAVID LPHVVEAAPERPGVEFISGDIFKSISNADAVLLKYVLHNWEDTECVNLLKRCKEAVPADKGKVIIMDLVIDDDDN SILTQAKLSLDLTVMNHGGGRERTKEDWRNLIEMSGFSRHEIIPISAMPSIIVAYP.

## SEQ ID NO: 13 PSMT3

MEVVSKIDQENQAKIWKQIFGFAESLVLKCAVQLEIAETLHNNVKPMSLSELASKLPAQPVNEDRLYRILHFLVH MKLFNKDATTQKYSLAPPAKYLLKGWEKSMVPSILSVTDKDFTAPWNHLGDGLTGNCNAFEKALGKGIRVYMREN PEKDQLFNEGMACDTRLFASALVNECKSIFSDGINTLAGVGRGTGTAVKAISKAFPDIKCTIHDLPEVTSKNSKI PRDVFKSVPSADAIFMKSILHEWNDEECIQILKRCKEAIPKGGKVIIADVVIDMDSTHPYSKSRLAMDLAMMLHT GGKERTEEDWKKLIDAAGFASCKITKLSALQSVIEAYPH.

## SEQ ID NO: 14 CYP82X1

MELFIKLPFIQPIPFSIILVTTVSIVLLYSVFFWVTDKKKKRKAPNAAGAWPLIGHLRLLMNDKEPLYRALGSM ADKYGPAFNIRLGNQEVLVVSNWEMVKQCFGNQNDKLFSNRQTTLAAKYMLNQTTSSGFAPYGPYWRELRKIMVQ QLLSKQSLESWKHLKIKEMDASFSKLNELCNNNGTGTATLIRNDEWFAELTFNVIARNVFGYQSGGRSTALTNGD TESKGERYKKTLEEALHLMSIFAVSDIFPSLEWVDRLRGLIRNMKRFGDELNSIAGCLIEEHRQKRLQSVSKSDK GVGDEQDFVDVLLSVAEKSQLPGDDPDLVIKSMILEIVSGGSETTSSTLTWALCLLLNHPHVLKKAKEELDTHVG KDRHVEESDTPKLVYINAIIKESMRLYPNGAMLDRLALEECEVGGFHVPAGGRLFVNVWKIQRDPSVWENPLEFK PERWFLSNGEKMDVDYKGHNHEFIPFGIGRRMCAGMLWASEVIHLVLPRLIHGFDMKAASANGKVDMAEMAGMVI CFKKTPLEVMVNPRE.

## SEQ ID NO: 15 CYP719A21

MIMSNLWILTLISTILAVFAAVLIIFRRRISASTTEWPVGPKTLPIIGNLHILGGTALHVVLHKLAEVYGSVMTI WIGSWKPVIIVSDFDRAWEVLVNKSSDYSAREMPEITKIGTANWRTISSSDSGPFWATLRKGLQSVALSPQHLAS QTAHQERDIIKLIKNLKDEAASGMVKPLDHLKKATVRLISRLIYGQDFDDDKYVEDMHDVIEFLIRISGYAQLAE VFYYAKYLPGHKRAVTGAEEAKRRVIALVRPFLQSNPATNTYLHFLKSQLYPEEVIIFAIFEAYLLGVDSTSSTT AWALAFLIREPSVQEKLYQELKNFTANNNRTMLKVEDVNKLPYLQAVVKETMRMKPIAPLAIPHKACKDTSLMGK KVDKGTKVMVNIHALHHTEKVWKEPYKFIPERFLQKHDKAMEQSLLPFSAGMRICAGMELGKLQFSFSLANLVNA FKWSCVSDGVLPDMSDLLGFVLFMKTPLEARIVPRL.

## SEQ ID NO: 16 CYP82X2

MKSLMMNKLLFLQRITDSPSTTIISTFIVTIISIVFLYTVLLIRTTKNKQKIAAPKASGAWPFIGHLKLFMKQDT QFYRTLGTMSDKYGSVFTLRLGNQAILVVSNWEMVKECFTTNDKSFSNRPSTLSTKYMLNDTNSVVFSPYGTYWR EMRKILVQKLLISNQRSEALKNLKTKEIDNSFVKLNDLCNNDVSGGGTKVRMDEWLADMMFNIIARITFGYQSGG GDAPGASTTSKNVERYKKTLDEMFVVLATRFAVSDIFPSLEFIDRLRGLVKDMKILGDELNSIAGCFIEEHRQKR RESLSSLLSLSNESVGDEQDFIDVLLSIMDQSRLPGDDPDFIIKIMILEAFAGGTDSLSATLTWVLSLLLNHPNV LKRAREEIDRHVENGKQVEVSDIPKLGYIDAIIKETMRLYPVGALSERYTTEECEVGRFNVPAGTRLLVNIWKIH RDPSVWENPSDFQPERFLCSDKVGVDLYGQNYELIPFGAGRRVCPAIVSSLQTMHYALARLIQGYEMKSASLDGK VNMEEMIAMSCHKMSPLEVIISFREPRRS.

## SEQ ID NO: 17 CYP82Y1

MAYLMIKKSIYLFFDQPTAVGTLILAFLLTLSPVIIYYEQKKRGLRRNRTAITTTPLPEASGAWPVIGHLLLFMN ENDLNHVTLGHMADKYGPIFSLRFGRHRTLVVSSWEMVKECFTGTNDKLFSNRPSSLAVKLMFYDTESYGFAPYG KYWRELRKISTHKLLSNQQLEKFKHLRISEVDNSFKKLHELCSNNKQGGDTTYVASLVRMDDWFAYLTFNVIGRI VSGFQSNAVAGATNSQEKYKLAIDEVSNLMATFAVSDVVPRLGWIDRLTGLTGKMKNCGKKLDAVVGDAVEDHRQ KKLKISRNNTGALTEHEEEDFIDVCLSIMEQSQIPGNHPEISVKSIALDMLSGGSDTTKLIMTWTLSLLLNHPDI LDKAKEEVDTYFGKKKISDNTPVVDAADVPNLVYIQAIIKESMRLYPASTLMERMTSDDCDVGGFHVPAGTRLWV NVWKMQRDPRVWKDPLVFLPERFLSNDKGMVDVKGQNYELIPFGTGRRICPGASFALEVLHLVLTRLILEFEMKA PEGKIDMRARPGFFHNKVVPLDVQLTPRTLD.

## SEQ ID NO: 18 PSCXE1

MADPYEFLMCIHNPEEDTLTRNFPIPATPLDQNTKDISLNPDRKTSLRIFRPPTKEPPVTKNKLLPIIIYFHGGG FILFNADSTMNHDFCQSIATHIPALVVSVDYRLAPENRLPAAYDDAVDALNWVKDQGLGKLNNSEVWLKEYGDFS KCFIMGCSSGANVAYHASLRAIEMDLEPAKINGLILHCPFFGSLERTESDSKVINNQDLPLAVRDVMWELALPLG STRDHVYCNPNIDHDGSSSGNMVGLIERCFVVGFYGDPLIDRQIQLVKMLEEKGVKVETWIEQGGYHGVLCFDPM IRETFLEKLKHFILNDEFIY.

### SEQ ID NO: 19 PSSDR1

MHGQKNISERYQKFKEMEGTGKIVCVTGGAGYLASWLIMRLLERGYSVRTTVRSDPKFREDVSHLKALPEATEKL QIFEADLENPESFDDAINGCVGVFLVAQGMNFAEEYTLEKIIKTCVEGTLRILQSCLKSKTVKKVVYTSSADAAM MISNLKAVKEIDETIWSEVDNFISKPEQVIPGLPSYVVSKVLTERACLKFSEEHGLDVVTILPPLVVGPFITPHP PPSVSIALSIISGDVSMMLGVRLENAVHIDDVALAHIFVFECEKAKGRHICSSVDFPMHDLPKFISENYPEFNVP TDLLKDIEEOEPVHLSSDKLLSMGFÖFKYDFAEIFGDAIRCAKEKGFL.

#### SEQ ID NO: 20 PSAT1

MATMSSAAVEVISKETIKPRNPTPYQLRNYNMSLLDQYSSLVYVPIILFYPAASDANSTGSKHHDDLHLLKRSLS ETLVHFYPMAGRMKDNMTVDCNDEGIDFFEVRIKGRMCDFMMKSDAHLSLLLPSEVASTNFVKEAQVIVQVNMFD CGGTAICFCISNKIADACTMITFIRSLAGTTNIARRGSSIAAPTTNQNLVPSFDSTSLFPPSEQLASQVSYPTQD STSVDKLVSKRFVFDAAKITSAREKLQSLMHDKYKCHRPTRVEVVSALIWKSAVKSAPPGSISTVTHAMNFRKKM DPPLQDASFGNLCVVVTAVLPATTATTTNPATKKVSSTSNEEQVALDELSDFVALLRREIDKVKGDKGCMEKIIQ KFIYGHDASVAKDSDVEDKVTALFMTSWCKFGFYEADFGWGTPVWVTTVPLIEPKYKNMVFMNDMKCGEGIEVWV NFLEDDMTKFEHHLREILOLF.

#### SEQ ID NO: 21 VIGS PSMT1

## SEQ ID NO: 22 VIGS PSMT2

 $\label{thm:condition} {\tt GTGTAACTAAGCCAGCGCTAATACAAGGATGTGGCAAAATCCTGAACGGAGTTACATCGTTAATTGATGTCGGTGGTGCACGGTGCCACTATGGCCTACATAGTTGAAGCTTTTCCTCACATAAAAGGTGCGGTAATCGATTTACCACATGTTGTTGAAGCCGCTCCGGAGCGTCCAGGTGTTGAGTTCATCAGCGGTGATATATTCAAGT$ 

## SEQ ID NO: 23 VIGS CYP82X1

TTTGAGTAATGGTGAAAAGATGGGTTGGATTACAAAGGTCACAATCATGAATTCATACCATTTGGGATAGGTCGGAGGATGTGCGCCTGGTATGCTTTTGGGCATCGGAGGTGATTCATTTGGTGCTGCCCCGTCTTATTCATGGGTTTGATTAGAAAGCAGCAAAGTGCCAATGGGAAAGTAGATATGGCAGAAATGGCAGCATGGTGATTTTTTAAGAAGACACCTCTTGAAGTTATGGTCAATCCTCGAGAGTAGATGTT

## SEQ ID NO: 24 VIGS CYP719A21

 $\textbf{ATGATCATGAGTAACTTATGGATTCTTACGCTCATTTCTACCATATTAGCAGTCTTTGCTGCTGTTTAATCATTTCAGGAGAAGAATATCAGCATCCACAACGGAATGGCCTGTTGG$ 

## SEQ ID NO: 25 VIGS CYP82X2

## SEQ ID NO: 26 VIGS CYP82Y1

## SEQ ID NO: 27 VIGS PSCXE1

## SEQ ID NO: 28 VIGS PSSDR1

## SEQ ID NO: 29 VIGS PSAT1

 $\tt CCTAAGAGAGATCCTCCAACTGTTTTGATTTTCAACCGTTTCCCTAATAGAGGTCAATTGTCGTGTTTGTCCATCTTAACTACCATCTTTATTCTCTTGTTTTCATACTTGTATTTG$ 

## SEQ ID NO: 30 VIGS PSPDS